

การพัฒนาเครื่องนับพลส์รังสีของไครอยด์อัมเบก
DEVELOPMENT OF THE THYROID UP-TAKE
MACHINE FOR COUNTING PULSES

นายธนพงษ์ เนินชัด รหัส 52361895

บัตรถูกอนุมัติพิจารณาเมื่อวันที่
วันที่รับ.....	12/07/2556
เลขที่บัตร.....	16434411
เลขเรียกหนังสือ.....	๘๔
มหาวิทยาลัยแม่ฟ้าฯ ๑๖๓๙๒	

ปริญญาในชนิดนี้เป็นส่วนหนึ่งของการศึกษาหลักสูตรปริญญาวิศวกรรมศาสตรบัณฑิต
สาขาวิชาวิศวกรรมไฟฟ้า ภาควิชาวิศวกรรมไฟฟ้าและคอมพิวเตอร์
คณะวิศวกรรมศาสตร์ มหาวิทยาลัยแม่ฟ้าฯ
ปีการศึกษา 2555



ใบรับรองปริญญาบัณฑิต

ชื่อหัวข้อโครงการ	การพัฒนาเครื่องนับพลัสรังสีของไทรอยด์อัพเกรด
ผู้ดำเนินโครงการ	นายนรุพงษ์ เนินชัย รหัส 52361895
ที่ปรึกษาโครงการ	ผู้ช่วยศาสตราจารย์ ดร. สุชาติ แย้มเม่น
สาขาวิชา	วิศวกรรมไฟฟ้า
ภาควิชา	วิศวกรรมไฟฟ้าและคอมพิวเตอร์
ปีการศึกษา	2555

คณะวิศวกรรมศาสตร์ มหาวิทยาลัยนเรศวร อนุมัติให้ปริญญาบัณฑิตชั้นนี้เป็นส่วนหนึ่ง
ของการศึกษาตามหลักสูตรวิศวกรรมศาสตรบัณฑิต สาขาวิชาชีววิศวกรรมไฟฟ้า

.....ที่ปรึกษาโครงการ
(ผู้ช่วยศาสตราจารย์ ดร. สุชาติ แย้มเม่น)

.....
(คร. พนัส นัดฤทธิ์) กรรมการ

ชื่อหัวข้อโครงการ	การพัฒนาเครื่องนับพัลส์รังสีของไทรอยด์อัพเทก
ผู้ดำเนินโครงการ	นายนัฐพงษ์ เมนชัด รหัส 52361895
ที่ปรึกษาโครงการ	ผู้ช่วยศาสตราจารย์ ดร. สุชาติ แม้มเม่น
สาขาวิชา	วิศวกรรมไฟฟ้า
ภาควิชา	วิศวกรรมไฟฟ้าและคอมพิวเตอร์
ปีการศึกษา	2555

บทคัดย่อ

โครงการนี้ได้นำเสนอการพัฒนาเครื่องนับพัลส์รังสีของไทรอยด์อัพเทก เพื่อใช้ในการนับพัลส์รังสีในงานเวชศาสตร์นิวเคลียร์ โดยเครื่องนับพัลส์รังสีของไทรอยด์อัพเทกที่พัฒนาขึ้นนี้สามารถใช้งานได้กับหัวครั้งสีชนิดผลึกสารประกอบโซเดียมไอโอดีด (ทัลเลียม) [NaI(Tl)] และหัวครั้งสีชนิดผลึกสารประกอบซีเซียมไอโอดีด (ทัลเลียม) [CsI(Tl)] ของระบบไทรอยด์อัพเทก สำหรับการพัฒนาเครื่องนับพัลส์รังสีได้ใช้ในโกรคอนไทรอลเดอร์ (เบอร์ dsPIC30F4011) เป็นตัวควบคุมและสั่งการของการนับสัญญาณพัลส์จากวงจรวิเคราะห์ความสูงของสัญญาณที่ใช้ในการคัดเลือกความสูงสัญญาณ ผลจากการนับพัลส์รังสีจะนำมาสร้างกราฟเพื่อที่จะคำนวณหาการแยกแยะพลังงาน (Energy Resolution) ในการพิจารณาใช้หัวครั้งสีชนิดผลึก NaI(Tl) และหัวครั้งสีชนิดผลึก CsI(Tl) การแยกแยะพลังงานของเครื่องนับพัลส์รังสีของไทรอยด์อัพเทกที่พัฒนาขึ้น มีค่าเท่ากับ 5.12 เปอร์เซ็นต์ และ 9.84 เปอร์เซ็นต์ตามลำดับ ในขณะเดียวกันการแยกแยะพลังงานของเครื่องนับพัลส์รังสีของไทรอยด์อัพเทกเชิงพาณิชย์ มีค่าเท่ากับ 8.62 เปอร์เซ็นต์ และ 9.58 เปอร์เซ็นต์สำหรับหัวครั้งสีชนิดผลึก NaI(Tl) และหัวครั้งสีชนิดผลึก CsI(Tl) ตามลำดับ

Project title	Development of the Thyroid up-take Machine for Counting Pulses
Name	Mr. Nattapong Nernchad ID. 52361895
Project advisor	Assistant Professor Suchart Yammen, Ph.D.
Major	Electrical Engineering
Department	Electrical and Computer Engineering
Academic year	2012

Abstract

This project presents the development of the thyroid up-take machine used for counting pulses of radiation in nuclear medicine. The developed machine of the thyroid up-take system can be applied for radiation probes of crystalline compound either sodium iodide (Tuliam) [NaI (T1)] or cesium iodide (Tuliam) [CsI (T1)]. For the development of the machine, the command in the microcontroller (dsPIC30F4011) controls and counts radiation pulses of signals obtained from height selection circuits. In experimental result, the number of pluses is used to build a graph and to calculate energy distribution (Energy Resolution), which is equal to 5.12% and 9.84% in case of using the probe type NaI (T1) and CsI (T1), respectively. In the same fashion, the energy distribution obtained from the commercial machine of thyroid up-take is equal to 8.62% percent and 9.58% in case of using the probe type NaI (T1) and CsI (T1), respectively.

กิตติกรรมประกาศ

โครงการนี้สำเร็จลุล่วงไปได้ด้วยความกรุณาจาก ผู้ช่วยศาสตราจารย์ ดร.สุชาติ แย้มเม่น อาจารย์ที่ปรึกษาโครงการ ที่ได้ให้คำปรึกษา ซึ่งแนะนำในการเขียนปริญญานิพนธ์ คณะผู้ดำเนินโครงการขอรับขอบพระคุณเป็นอย่างสูง และขอขอบพระคุณ ดร. นันทวัฒน์ อุ่ดี ที่ กรุณานำเครื่องนับพัลส์รังสีของไทรอยค์อัพเทเกทที่พัฒนาขึ้นไปใช้ประโยชน์ ตลอดจนให้ความรู้ คำแนะนำ ทางด้านรังสีเวชศาสตร์ ด้านระบบันบัวรังสีของเครื่องไทรอยอัพเทเกท ขอขอบพระคุณ ดร. พนัส นัดฤทธิ์ ซึ่งเป็นคณะกรรมการในการสอบโครงการที่ให้คำแนะนำเชิงแนวทาง และ ข้อคิดเห็นต่างๆที่เป็นประโยชน์ในโครงการนี้ ทำให้โครงการออกแบบบูรณาแบบยิ่งขึ้น ขอขอบพระคุณ ดร. ศุภวรรณ พลพิทักษ์ชัย ซึ่งเป็นอาจารย์ผู้รับผิดชอบรายวิชาโครงการ วิศวกรรมไฟฟ้า ที่ให้คำแนะนำ คำปรึกษาในการพิมพ์รูปเล่มปริญญานิพนธ์ รวมถึงแก้ไขปรับปรุง ให้รูปเล่มปริญญานิพนธ์ให้ถูกต้องตามหลักการพิมพ์และการเขียนเล่มปริญญานิพนธ์ ขอขอบพระคุณ คุณประทีป สังข์แป้น ที่ให้คำแนะนำเกี่ยวกับการต่อวงจรและอุปกรณ์ อิเล็กทรอนิกส์ และการใช้งานไมโครคอนโทรลเลอร์ dsPIC30F4011 และหนีอสิ่งอื่นใด คณะ ผู้ดำเนินโครงการขอรับขอบพระคุณคุณเพ็ชร คุณแม่ และครอบครัวอันเป็นที่รักยิ่ง ทำเป็นกำลัง หลักในการสนับสนุนการศึกษาของข้าพเจ้า และอยเป็นแรงส่งทางในยามที่ข้าพเจ้าเดินทาง ขอขอบคุณผู้อนที่มอบข้าพเจ้าและคุณอื่นๆที่ข้าพเจ้าไม่ได้กล่าวถึงไว้ ณ ที่นี่

นายนรุพงษ์ เนินชัย

สารบัญ

หน้า

ใบรับรองปริญญาบัณฑิต.....	ก
บทคัดย่อภาษาไทย.....	ก
บทคัดย่อภาษาอังกฤษ	ก
กิตติกรรมประกาศ	ก
สารบัญ	ก
สารบัญตราง.....	ก
สารบัญรูป	ก
บทที่ 1 บทนำ	1
1.1 ที่มาและความสำคัญของ โครงการ	1
1.2 วัตถุประสงค์ของ โครงการ	1
1.3 ขอบเขตของ โครงการ.....	1
1.4 วิธีการดำเนิน โครงการ	2
1.5 ระยะเวลาการดำเนิน โครงการ	2
1.6 ผลที่คาดว่าจะได้รับ	4
1.7 งบประมาณ	4
บทที่ 2 ทฤษฎีและหลักการทำงาน	5
2.1 ศึกษาระบวนการทำงานของระบบโทรศัพท์.....	5
2.2 ในโทรศัพท์.....	7
2.2.1 คุณสมบัติของ ไมโครชุดที่ใช้งาน	8
2.2.2 พอร์ตอินพุตเอาต์พุต	9
2.3 ซอฟต์แวร์พัฒนาในโทรศัพท์.....	13
2.3.1 ซอฟต์แวร์พัฒนาในโทรศัพท์.....	13
2.3.2 บอร์ด โปรแกรมในโทรศัพท์.....	14
2.4 วงจรใช้งานอปเปอเรเตอร์	15
2.4.1 วงจรขยายผู้ร่วมแบบ ไม่กลับเฟส	15
2.4.2 วงจรเบรีบันเทียบแรงดัน	15

สารบัญ (ต่อ)

หน้า

2.5 ไอซีรักมาระดับแรงดันและจอยแสดงผลแอลเซ็ค.....	17
2.5.1 ไอซีรักมาระดับแรงดัน.....	17
2.5.2 จอยแสดงผลแอลเซ็ค.....	18
2.6 ไอซีล็อกจิกเกต	19
2.6.1 ไอซีล็อกจิกวงจรรวมเบอร์ 74123	19
2.6.2 ไอซีล็อกจิกเบอร์ 7411	19
2.6.3 ไอซีฟลิปฟลопปานิคดีเบอร์ 7474	20
 บทที่ 3 วิธีการดำเนินโครงการ.....	21
3.1 ศึกษาข้อมูลและหลักการทางทฤษฎีที่เกี่ยวข้อง.....	21
3.1.1 ศึกษาระบวนการทำงานของระบบไทรอยบดี้อัพเทก	21
3.1.2 ไมโครคอนโทรลเลอร์	21
3.1.3 ซอฟต์แวร์พัฒนาไมโครคอนโทรลเลอร์และบอร์ดไปร์แกรม	21
3.1.4 วงจรใช้งานอุปกรณ์	21
3.1.5 ไอซีรักมาระดับแรงดันและจอยแสดงผลแอลเซ็ค	21
3.1.6 ไอซีล็อกจิกเกต	21
3.2 ออกแบบระบบทางด้านハードแวร์.....	22
3.2.1 ส่วนประกอบของวงจรเครื่องนับพัลส์รับสื่อของไทรอยบดี้อัพเทก	23
3.2.2 วงจรรวมเครื่องนับพัลส์รับสื่อของไทรอยบดี้อัพเทก	34
3.2.3 การประกอบเครื่องนับพัลส์รับสื่อของไทรอยบดี้อัพเทก	35
3.3 ออกแบบระบบทางด้านซอฟต์แวร์.....	37
3.3.1 การเขียนโปรแกรมควบคุมการแสดงผลออกทางจอยแสดงผลแอลเซ็ค	40
3.3.2 การเขียนโปรแกรมการแปลงແอนາลอกเป็นดิจิตอล 10 บิต.....	43
3.3.3 การเขียนโปรแกรมใช้โมดูลตรวจจับสัญญาณอินพุตบัน dsPIC30F4011	44
3.4 การทดลองเครื่องนับพัลส์รับสื่อของไทรอยบดี้อัพเทก	45
3.5 สรุปและจัดทำรูปเด่นปริญญาในพนธ์	45

สารบัญ (ต่อ)

หน้า

บทที่ 4 การทดลองเครื่องนับพัลส์รังสีของไทรอยด์อัพเทค	46
4.1 การทดลองการทำงานของเมนูบนเครื่องนับพัลส์รังสีของไทรอยด์อัพเทค	46
4.1.1 การทดลองหน้าหลักของเมนูบนเครื่องนับพัลส์รังสีของไทรอยด์อัพเทค	46
4.1.2 การทดลองเมนู Setting Mode.....	47
4.1.3 การทดลองเมนู Start Mode	49
4.2 การทดลองโปรแกรมสร้างฐานเวลาในหน่วยวินาที และ โปรแกรมนับจำนวนสัญญาณ логิกพัลส์ที่ทำงานบน ไมโครคอนโทรลเลอร์.....	51
4.3 การทดลองประสิทธิภาพเครื่องนับพัลส์รังสีที่พัฒนาขึ้นร่วมกับหัววัดรังสีชนิดผลึก NaI(T1)	54
4.3.1 การหาค่าการแยกแจงพลังงานของเครื่องนับวัดรังสีเชิงพาณิชย์ที่ต่อใช้งาน ร่วมกับหัววัดรังสีชนิดผลึก NaI(T1)	55
4.3.2 การหาค่าการแยกแจงพลังงานของเครื่องนับพัลส์ที่พัฒนาขึ้นต่อร่วมกับหัววัด รังสีชนิดผลึก NaI(T1).....	57
4.4 การทดลองประสิทธิภาพเครื่องนับพัลส์รังสีที่พัฒนาขึ้นร่วมกับหัววัดรังสีชนิดผลึก CsI(T1).....	59
4.4.1 การหาค่าการแยกแจงพลังงานของเครื่องนับพัลส์เชิงพาณิชย์ต่อร่วมกับหัววัด รังสีชนิดผลึก CsI(T1)	60
4.4.2 การหาค่าการแยกแจงพลังงานของเครื่องนับพัลส์ที่พัฒนาขึ้นต่อร่วมกับหัววัด รังสีชนิดผลึก CsI(T1)	62
4.5 วิเคราะห์ผลการทดลอง	63
บทที่ 5 สรุป.....	66
5.1 สรุป.....	66
5.2 แนวทางในการพัฒนาโครงงาน.....	67
5.3 ปัญหาและวิธีการแก้ไขปัญหา	67
เอกสารอ้างอิง.....	68

สารบัญ (ต่อ)

หน้า

ภาคผนวก ก รายละเอียดของอปแอนป หมายเลข LM741	69
ภาคผนวก ข รายละเอียดของอปแอนปหมายเลข LM339	72
ภาคผนวก ค รายละเอียดของขอแสดงผลแล็ปซีด 16 ตัวอักษร 2 บรรทัด	75
ภาคผนวก ง รายละเอียดของ ไอซี rekku เดอร์ หมายเลข LM7805,7810,7818	78
ภาคผนวก จ รายละเอียดของ ไอซี rekku เดอร์ หมายเลข LM7918	84
ภาคผนวก ฉ รายละเอียดของ ไอซี rekku เดอร์ 74123	86
ภาคผนวก ช รายละเอียดของ ไอซี rekku เดอร์ 7474	90
ภาคผนวก ช รายละเอียดของ ไอซี rekku เดอร์ 7411	93
ภาคผนวก ญ คู่มือใช้งานเครื่องนับพัลส์รังสีของไทรอยบ์อัพเทค	96
ภาคผนวก ฎ ชอร์สโถ่คองไนโกรคอน ไทรอลเดอร์ dsPIC30F4011	103
ภาคผนวก ฏ ตารางผลการทดสอบ	122
ประวัติผู้ดำเนินโครงการ	137

สารบัญตาราง

ตารางที่	หน้า
1.1 แสดงระยะเวลาการดำเนินงาน.....	2
2.1 รายชื่อและหน้าที่ของข้าพ่อร์ที่ใช้งาน	10
2.2 แสดงเบอร์และแรงดันข้ออกร	17
3.1 หน้าตามขานวนวงจรใช้งานในโครค่อน โทรลเลอร์.....	24
3.2 การระบุตำแหน่งของข้อแยกซีดีแสดงผล.....	40
3.3 ชุดคำสั่งควบคุมการทำงานของโมดูลแยกซีดี	41
4.1 ทดลองความเป็นเชิงเส้นของการนับสัญญาณอิจิกพัลส์ใน 1 วินาที	51
4.2 ทดลองความเป็นเชิงเส้นของการนับสัญญาณอิจิกพัลส์ใน 10 วินาที	52
4.3 การสรุปค่าการแยกแข่งพลังงานของระบบที่ได้ทำการทดลอง	65



สารบัญรูป

รูปที่	หน้า
2.1 ระบบของไทรอยค์อัพเทค.....	5
2.2 สัญญาณแบบยูนิโพลาร์.....	6
2.3 แผนภาพล็อกของภาควิเคราะห์ความสูงสัญญาณแบบช่องเดียว.....	6
2.4 แผนภาพล็อกการทำงานของภาคนับวัดสัญญาณพัลส์นิวเคลียร์	7
2.5 ตัวถังของ dsPIC30F4011.....	7
2.6 โคดะแกรมการทำงานของไทรเมอร์ 1 ฐานเวลาแบบ A	8
2.7 การทำงานของไมโครแลปสัญญาณอลาออกเป็นดิจิตอล	9
2.8 การจัดขายของในโครงการ ไทรคลอน ไทรอลเลอร์ dsPIC30F4011.....	10
2.9 หน้าต่างโปรแกรมอีมพีแล็บ ไอคิว (MPLAB IDE)	13
2.10 เครื่องโปรแกรมรุ่นพีเอ็ก 200 (PX 200).....	14
2.11 วงจรขยายผลรวมแบบไม่กั๊บเพลส.....	15
2.12 วงจรเบรีบทิบบ์แรงดัน	16
2.13 โคดะแกรมของไอซีรักมาระดับแรงดัน (IC voltage regulator)	17
2.14 แมลซีดี 16 ตัวอักษร 2 บรรทัด	18
2.15 โครงสร้างภายในของไอซี 74123.....	19
2.16 โครงสร้างภายในของไอซีเบอร์ 7411	19
2.17 โครงสร้างภายในของไอซี 7474.....	20
3.1 แผนภาพกรอบการทำงานทั้งหมดบนเครื่องนับพัลส์ร่วงสีของไทรอยค์อัพเทค	22
3.2 ส่วนประกอบของเครื่องนับพัลส์ร่วงสีของไทรอยค์อัพเทค	23
3.3 ส่วนประกอบของวงจรใช้งานในโครงการ ไทรคลอน ไทรอลเลอร์	23
3.4 วงจรใช้งานในโครงการ ไทรคลอน ไทรอลเลอร์	24
3.5 การออกแบบวงจรใช้งานในโครงการ ไทรคลอน ไทรอลเลอร์	26
3.6 การประกอบอุปกรณ์อิเล็กทรอนิกส์วงจรใช้งานในโครงการ ไทรคลอน ไทรอลเลอร์	26
3.7 แผนผังการออกแบบวงจรวิเคราะห์ความสูงของสัญญาณ.....	27
3.8 วงจรวิเคราะห์ความสูงของพัลส์สัญญาณ.....	28
3.9 การออกแบบวงจรวิเคราะห์ความสูงของพัลส์สัญญาณ	28

สารบัญรูป (ต่อ)

รูปที่	หน้า
3.10 การประกอบอุปกรณ์อิเล็กทรอนิกส์วงจรวิเคราะห์ความสูงของตัวญี่ปุ่น.....	29
3.11 วงจรแหล่งจ่ายไฟฟ้ากระแสตรง	30
3.12 การออกแบบวงจรแหล่งจ่ายไฟฟ้ากระแสตรง	30
3.13 การประกอบอุปกรณ์อิเล็กทรอนิกส์วงจรแหล่งจ่ายไฟฟ้ากระแสตรง	31
3.14 การออกแบบวงจรสวิตช์ปุ่มกดใช้งาน	32
3.15 การออกแบบวงจรสวิตช์ปุ่มกดใช้งาน	32
3.16 การประกอบอุปกรณ์อิเล็กทรอนิกส์วงจรสวิตช์ปุ่มกดใช้งาน.....	33
3.17 วงจรรวมของเครื่องนับพัลส์รังสีของไทรอยด์อัปเทค	34
3.18 วงจรภายในส่วนควบคุม และประมวลผล	35
3.19 วงจรภายในส่วนตั้งค่าและแสดงผล	36
3.20 ส่วนประกอบภายในของเครื่องนับพัลส์รังสีของไทรอยด์อัปเทค	36
3.21 แผนผังการควบคุมระบบเครื่องนับพัลส์รังสีของไทรอยด์อัปเทค	37
3.22 แผนผังการทำงานโปรแกรมฐานเวลาหน่วยวินาที	38
3.23 แผนผังการทำงานของโปรแกรมนับตัวญี่ปุ่นพัลส์	39
3.24 ไฟล์เอกสาร “lcd_Rev1.h”	40
3.25 ไฟล์เอกสาร “adc10.h”	43
3.26 ไฟล์เอกสาร “incap.h”	44
4.1 หน้าที่หนึ่งของหน้าหลักเมนู	46
4.2 เป็นหน้าที่สองและหน้าที่สามของหน้าหลักเมนู	47
4.3 แสดงผลภายใน Setting Mode	47
4.4 หน้าจอการตั้งค่า LLD	47
4.5 หน้าจอภายในโหมดการตั้งค่า LLD	48
4.6 ตัวหนุนปรับค่า LLD และ DEL	48
4.7 หน้าจอโหมดการตั้งค่า Time	48
4.8 การตั้งค่า Time	49
4.9 หน้าจอการตั้งค่าใน Start Mode	49
4.10 หน้าจอในโหมด Start	49

สารบัญรูป (ต่อ)

รูปที่	หน้า
4.11 ผลลัพธ์ที่เกิดจากการเข้าสู่ใหมด Recall	50
4.12 จอยผลลัพธ์เมื่อเข้าใหมด Home	50
4.15 ความสามารถในการแยกแยะพลังงาน	54
4.16 หัววัดรังสีชนิดผลึก NaI(T1)	55
4.17 การต่อระบบทดลองของเครื่องนับวัดรังสีเชิงพาณิชย์ที่ต่อใช้งานร่วมกับหัววัดรังสีชนิดผลึก NaI(T1)	55
4.18 การแยกแยะพลังงานจากต้นกำเนิดรังสีซีเซียม 137 โดยใช้เครื่องนับวัดรังสีเชิงพาณิชย์ที่ต่อร่วมกับหัววัดรังสีชนิดผลึก NaI(T1)	56
4.19 การต่อระบบทดลองของเครื่องนับวัดรังสีที่พัฒนาขึ้นต่อใช้งานร่วมกับหัววัดรังสีชนิดผลึก NaI(T1)	57
4.20 การแยกแยะพลังงานจากต้นกำเนิดรังสีซีเซียม โดยใช้เครื่องนับพัลส์รังสีที่พัฒนาขึ้นร่วมกับหัววัดรังสีชนิดผลึก NaI(T1)	58
4.21 หัววัดรังสีชนิดผลึก CsI(T1)	59
4.22 การต่อระบบเครื่องนับพัลส์เชิงพาณิชย์ต่อร่วมกับหัววัดรังสีชนิดผลึก CsI(T1)	60
4.23 การแยกแยะจากต้นกำเนิดรังสีซีเซียม 137 โดยใช้เครื่องนับวัดรังสีเชิงพาณิชย์ที่ต่อร่วมกับหัววัดรังสีชนิดผลึก CsI(T1)	61
4.24 การต่อระบบเครื่องนับพัลส์ที่พัฒนาขึ้นต่อร่วมกับหัววัดรังสีชนิดผลึก CsI(T1)	62
4.25 การแยกแยะพลังงานจากต้นกำเนิดรังสี Cs-137 โดยเครื่องนับพัลส์รังสีที่พัฒนาขึ้นร่วมกับหัววัดรังสีชนิดผลึก CsI(T1)	62

บทที่ 1

บทนำ

1.1 ที่มาและความสำคัญของโครงการ

ปัจจุบันเครื่องนับพัลส์รังสีของระบบไทรอยด์อัพเทกถูกใช้งานร่วมกับผลึกหัววัตติ้งสีชนิดสารประกลอนโซเดียมไอโอดีน (ทัลเลียม) [NaI (T1)] โดยเป็นหัววัดรังสีที่ในปัจจุบันนิยมใช้ โดยตัวเครื่องนับพัลส์รังสีของระบบไทรอยด์อัพเทกเป็นระบบวิเคราะห์ความสูงของพัลส์แบบช่องเดียว (Single Channel Analyzer ; SCA) ซึ่งองค์ประกอบหลักที่สำคัญของระบบวิเคราะห์ความสูงของพัลส์แบบช่องเดียว ประกอบไปด้วย คิสคริมิเนเตอร์ระดับต่ำ (Lower Level Discriminator ; LLD) เคลต้าอี (ΔE) และ คิสคริมิเนเตอร์ระดับสูง (Upper Level Discriminator ; ULD) ซึ่งตัววัดระดับสัญญาณทั้งสามส่วนนี้จะนำไปวิเคราะห์และคัดเลือกสัญญาณที่เกิดจากการแผ่รังสีของสารกัมมันตรังสีมาทักษะทบทผลึกหัววัตติ้งสี ซึ่งผลึกหัววัตติ้งจะเปลี่ยนจากการแผ่รังสีไปเป็นแสง และแสงจะถูกหลอดไฟฟลามิลิติพลาร์เยอ (Photomultiplier tube ; PMT) เปลี่ยนไปเป็นสัญญาณทางไฟฟ้าต่อไป

ด้วยเหตุที่เครื่องนับพัลส์รังสีของไทรอยด์อัพเทกมีราคาที่สูงมากและยังไม่เพียงพอต่อความต้องการ ซึ่งจะมีเฉพาะโรงพยาบาลศูนย์และสถานศึกษานานาแห่ง ทางกลุ่มของข้าพเจ้าจึงได้พัฒนาเครื่องต้นแบบนับพัลส์รังสีของไทรอยด์อัพเทก โดยใช้ในโทรศัพท์เคลื่อนที่พัฒนาขึ้นใหม่นี้จะมีราคาที่ประหยัดจากเครื่องเชิงพาณิชย์มาก และบังสามารถพัฒนาต่อได้โดยการเพิ่มฟังก์ชันต่างๆให้กับเครื่องได้

1.2 วัตถุประสงค์ของโครงการ

เพื่อพัฒนาเครื่องต้นแบบ สำหรับนับพัลส์รังสีของระบบไทรอยด์อัพเทก โดยใช้ในโทรศัพท์เคลื่อนที่

1.3 ขอบเขตของโครงการ

การศึกษาวิจัยโครงการครั้งนี้เป็นการพัฒนาเครื่องนับพัลส์รังสีของไทรอยด์อัพเทกโดยใช้ในโทรศัพท์เคลื่อนที่ (เบอร์ dsPIC30F4011) ควบคุมระบบการทำงานของเครื่อง ซึ่งเครื่องที่พัฒนาขึ้นนี้จะใช้ควบคู่กับระบบหัววัตติ้งสีชนิดผลึก NaI(T1) และหัววัตติ้งสีชนิดผลึก CsI(T1)

1.4 วิธีการดำเนินโครงการ

เพื่อให้การดำเนินงานของโครงงานสำเร็จตามระยะเวลาที่วางแผนเอาไว้ จึงจำเป็นที่จะต้องมีขั้นตอนการทำงานดังต่อไปนี้

1.4.1) ศึกษาข้อมูลและหลักการทำงานทฤษฎีที่เกี่ยวข้อง

- 1) ศึกษากระบวนการทำงานของระบบไทรอยด์อัพเกรด
 - 2) ไมโครคอนโทรลเลอร์
 - 3) ซอฟต์แวร์พัฒนาไมโครคอนโทรลเลอร์และบอร์ดโปรดักชัน
 - 4) วงจรใช้งานอปเปอเรชัน
 - 5) ไอซีรักษาระดับแรงดันและขอแสดงผลแออลซีดี
 - 6) ไอซีดิจิติกเกต

1.4.2) ออกแบบระบบทางค้านชาร์ดแวร์

1.4.3) ออคแบบระบบทางค้านซอฟต์แวร์

1.4.4) การทดลองเครื่องนับพัลส์รังสีของไทรอยด์อัพเทก

1.4.5) สรุปและจัดทำรูปเล่นปริญญา尼พนธ์

1.5 ระยะเวลาการดำเนินโครงการงาน

ตารางที่ 1.1 แสดงรูปแบบการดำเนินงาน

ตารางที่ 1.1 แสดงระยะเวลาการดำเนินงาน (ต่อ)

การดำเนินงาน	พ.ศ.2555							พ.ศ.2556			
	มิ.ย.	ก.ค.	ส.ค.	ก.ย.	ต.ค.	พ.ย.	ธ.ค.	ม.ค.	ก.พ.	มี.ค.	เม.ย.
1.3) ศึกษา ซอฟต์แวร์และ การใช้บอร์ด โปรแกรม		↔									
1.4) ศึกษาวงจร ¹ ใช้งานอป แอนป		↔									
1.5) ศึกษาไอซี รักษาระดับ แรงดันและอาจ แอลตรีคี		↔									
1.6) ศึกษาไอซี ลดจิกเกต		↔									
2) ออกแบบ ระบบทางค้าน ชาร์คแวร์			↔								
3) ออกแบบ ระบบทางค้าน ซอฟต์แวร์							↔				
4) ดำเนินการ ทดลองวงจรที่ ได้พัฒนาและ แก้ไขปรับปรุง								↔			
5) สรุปและ จัดทำปริญญา นิพนธ์									↔		

1.6 ผลที่คาดว่าจะได้รับ

- 1) สามารถนำเครื่องนับพัลส์รังสีของไทรอยด์อัพเทคที่พัฒนาขึ้นไปใช้ในระบบนับวัดของงานทางเวชศาสตร์นิวเคลียร์
- 2) สามารถนำแนวทางของเครื่องต้นแบบที่ถูกพัฒนาขึ้นไปศึกษาต่อของการเขียนโปรแกรมเพื่อพัฒนาขีดความสามารถของไมโครคอนโทรเลอร์ที่ใช้ในการพัฒนาเครื่องนับพัลส์รังสีของไทรอยด์อัพเทคต่อไป
- 3) สามารถพัฒนาเครื่องนับพัลส์รังสีของไทรอยด์อัพเทคที่มีราคาประหยัดให้กับสถานศึกษาหรือหน่วยงานที่มีความสนใจ ไปใช้ประโยชน์ตามต้องการ

1.7 งบประมาณ

1) แผงวงจรไมโครคอนโทรเลอร์ psPIC30F4011	400 บาท
2) แผงวงจรวิเคราะห์ความสูงของพัลส์สัญญาณ	200 บาท
3) แผงวงจรแหล่งจ่ายไฟฟ้ากระแสตรง	200 บาท
4) อุปกรณ์ต่อพ่วงและกล้องใส่ชิ้นงาน	670 บาท
5) ค่าถ่ายเอกสารและค่าเข้าเล่มปริญญาในพันธ์ รวมเป็นเงินทั้งสิ้น(สองพันสี่ร้อยห้าสิบบาทถ้วน)	1,000 บาท
	<u>2,450 บาท</u>
แหล่งทุน: เมิกจ่ายโดยเงินสนับสนุนโครงการนิสิตระดับปริญญาตรีมหาวิทยาลัยนเรศวร	
เป็นจำนวนเงิน 2000 บาท	

บทที่ 2

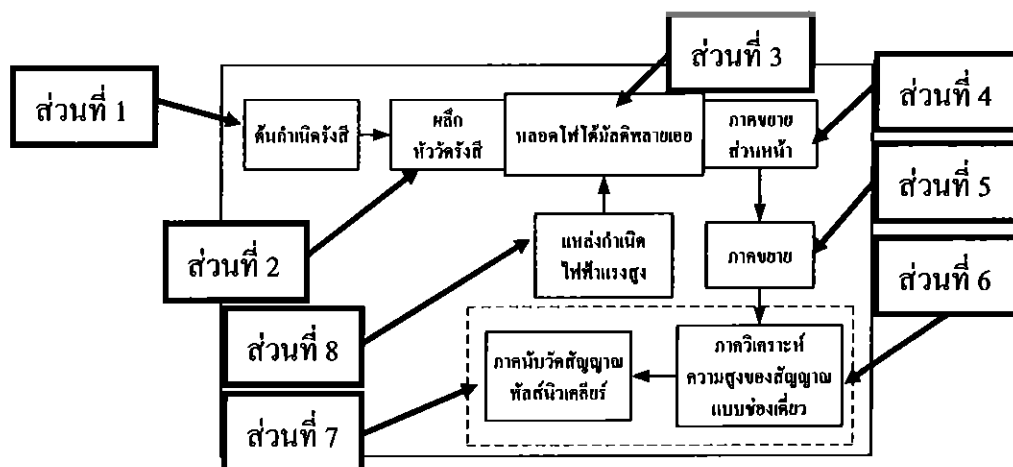
ทฤษฎีและหลักการทำงาน

2.1 ศึกษากระบวนการทำงานของระบบไทรอยด์อัพเทค

ระบบไทรอยด์อัพเทคโนโลยี ระบบที่ใช้ในการนับวัดรังสีจากการแผ่รังสีของต้นกำเนิดรังสีให้ออกในรูปการนับวัดพลังส์ของรังสี ซึ่งจำนวนพลังส์ของรังสีที่นับวัดได้นั้นจะเปรียบเทียบกับความแรงของการแผ่รังสีของต้นกำเนิดรังสี

การนับวัดรังสีของระบบไทรอยบดี้อัพเทค ได้แสดงการทำงานดังรูปที่ 2.1 เมื่อต้นกำเนิดรังสี (ส่วนที่ 1) ซึ่งในโครงงานนี้จะใช้ ซีเซียม 137 ($Cs-137$) ในการทดลอง แผ่นรังสีนาตากระยะห่าง 10 cm หัววัดรังสี (ส่วนที่ 2) และหลักหัววัดจะทำการเปลี่ยนจากการแผ่นรังสีและถูกหักเหจากหลักให้เป็นปริมาณทางแสงซึ่งความเข้มของแสงนี้จะเปรียบัตรกับความแรงของการแผ่นรังสี จากนั้นหลอดไฟโคมัลติพลาเยอ (ส่วนที่ 3) จะเปลี่ยนจากแสงให้เป็นประจุไฟฟ้า (คูลอนบ์) และประจุไฟฟ้าจะถูกเปลี่ยนให้เป็นแอมป์ลิจูด (Amplitude) ของความต่างศักย์ (โวลต์) โดยวงจราร์ซี (RC) ที่อยู่ภายในหลอดไฟโคมัลติพลาเยอ โดยมีแหล่งกำเนิดไฟฟ้าแรงสูงกระแสตรง (ส่วนที่ 8) ที่สามารถปรับค่าได้เป็นต้นกำเนิดพลังงานให้กับหลอดไฟโคมัลติพลาเยอ แต่ลักษณะรูปสัญญาณที่ออกจากการหลอดไฟโคมัลติพลาเยอขึ้นมาคือเล็กมากและไม่เหมาะสมกับการนับวัด จึงถูกภาคขยายส่วนหน้า (ส่วนที่ 4) ทำการขยายสัญญาณที่มีขนาดเล็กมากให้มากขึ้นระดับมิลลิโวลต์และปรับรูปสัญญาณเมื่อต้นด้วย

ถึงแม้ว่าจะขยายสัญญาณด้วยภาคขยายส่วนหน้าเดียว แต่ขนาดสัญญาณยังคงเดือดอยู่และข้างไม่เพียงพอสำหรับใช้งาน จึงจำต้องใช้ภาคขยาย (ส่วนที่ 5) ขยายสัญญาณที่มีระดับมิลลิโวลต์ให้อยู่ในระดับโวลต์คัวยกำลังของขยายสัญญาโนอยู่ในช่วง 1 ถึง 1000 เท่า ซึ่งสามารถปรับค่าให้เหมาะสมกับชนิดของหัววัดรังสีที่ใช้งานได้



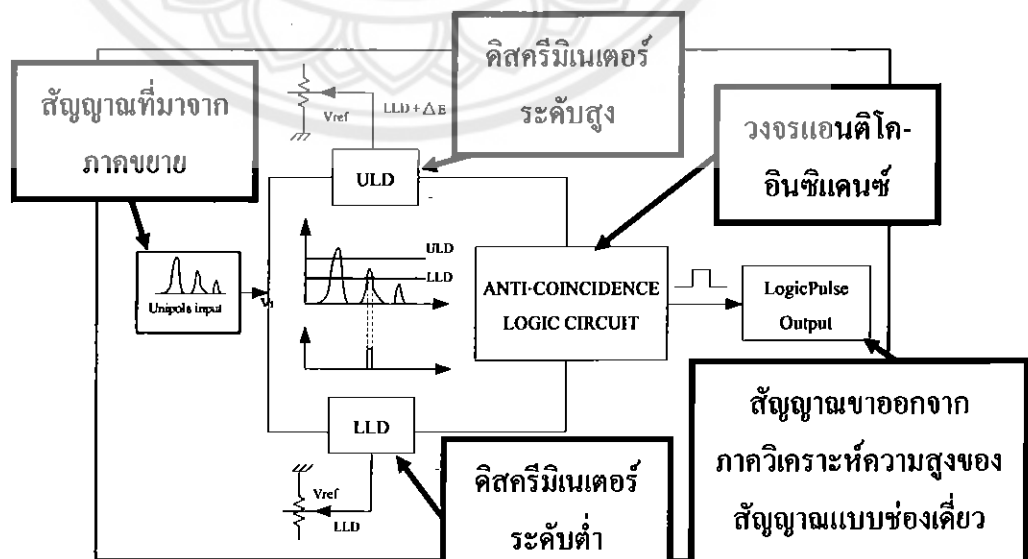
รูปที่ 2.1 ระบบของไทรอوبค้อพเทคโนโลยี

ซึ่งการปรับค่าอัตราขยายให้เหมาะสมนั้นจะต้องปรับค่าแหล่งกำเนิดไฟฟ้าแรงสูงกระแสตรงให้เหมาะสมด้วย โดยในโครงการนี้จะปรับค่าอัตราขยายของภาคขยายให้มีค่า 100 และปรับค่าแหล่งกำเนิดไฟฟ้าแรงสูงกระแสตรงให้กับหัววัดมีค่า 850 โวลต์ สำหรับหัววัดชนิดผลึก NaI(T1) และปรับอัตราขยายของภาคขยายให้มีค่า 300 และปรับค่าแหล่งกำเนิดไฟฟ้าแรงสูงกระแสตรงให้กับหัววัดมีค่า 1400 โวลต์ สำหรับหัววัดรังสีชนิดผลึก CsI(T1) และภาคขยายนี้ยังสามารถปรับรูปคลื่นสัญญาณขาออกได้สองแบบคือ บูนิโพลาร์และไบโพลาร์ สำหรับโครงการนี้จะใช้คลื่นสัญญาณแบบบูนิโพลาร์ดังรูปที่ 2.2 เก่านั้นในการทดลอง

สัญญาณขาออกที่ออกจากภาคขยายจะมีขนาดแอมป์ลิจูดที่แตกต่างกัน ซึ่งขนาดของค่า - แอมป์ลิจูดนี้จะเปลี่ยนตามพลังงานรังสีที่ตกกระทบหัววัดรังสี โดยขนาดต่ำสุดของแอมป์ลิจูดอยู่ที่ 0 โวลต์ และขนาดสูงสุดอยู่ที่ 12 โวลต์ โดยสัญญาณที่มีขนาดแอมป์ลิจูดที่แตกต่างกันเหล่านี้จะถูกภาควิเคราะห์ความสูงสัญญาณแบบช่องเดียว (ส่วนที่ 6 ของรูปที่ 2.1) คัดเลือกแอมป์ลิจูดหรือความสูงของสัญญาณ

รูปที่ 2.2 สัญญาณแบบบูนิโพลาร์

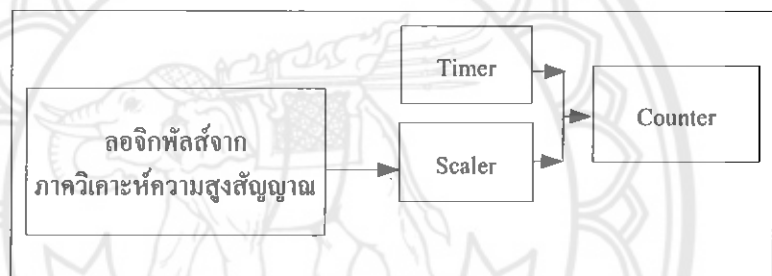
ภาควิเคราะห์ความสูงสัญญาณแบบช่องเดียว คือ วงจรที่ใช้บูนิโพลาร์สำหรับคัดเลือกความสูงของสัญญาณดังรูปที่ 2.3 โดยมีส่วนคัดเลือกสัญญาณประกอบด้วย ตัวแยกระดับความสูงสัญญาณพัลส์ 2 ชุด คือ คิสคริมินเนเตอร์ระดับต่ำ และคิสคริมินเนเตอร์ระดับสูง การแยกระดับความสูงของสัญญาณในวงจรวิเคราะห์ความสูงสัญญาณแบบช่องเดียว อาศัยการเปรียบเทียบความสูงของสัญญาณกับค่าศักย์ไฟฟ้ามาตรฐาน ที่ถูกจัดเรอไว้ระหว่างผลต่างของตัววัด คิสคริมินเนเตอร์ระดับสูง และคิสคริมินเนเตอร์ระดับต่ำ ซึ่งเรียกว่า เคลตต้อร์ เพื่อใช้เลือกช่วงสัญญาณที่ต้องการวัด



รูปที่ 2.3 แผนภาพล็อกของภาควิเคราะห์ความสูงสัญญาณแบบช่องเดียว

ภาควิเคราะห์ความสูงสัญญาณแบบซ่องเดี่ยวจะสามารถเปิดช่อง เดลต้าอี ได้ครั้งละหนึ่งช่องพังงานเท่านั้นสำหรับการนับวัดหนึ่งครั้ง ถ้าสัญญาณที่ส่งผ่านเข้ามามีความสูงอยู่ในเดลต้าอี หรืออยู่ระหว่างผลต่างของ ดิสคริมิเนเตอร์ระดับต่ำ และ ดิสคริมิเนเตอร์ระดับสูง สัญญาณจะถูกวงจรแอนติโคลินซิเดนซ์ซึ่งประกอบด้วยเกตแบบแนนด์ (NAND-gate) และเกตแบบโนท (NOT gate) สร้างเป็นสัญญาณโลจิกพัลส์ขนาด 5 伏ต์ ออกมานี้เพื่อทำการนับวัดในภาคนับวัดสัญญาณพัลส์นิวเคลียร์ (ส่วนที่ 7 ของรูปที่ 2.1)

ภาคนับวัดสัญญาณพัลส์นิวเคลียร์ คือ ระบบดิจิตอลสำหรับการนับวัดสัญญาณโลจิกพัลส์ที่ได้จากการภาควิเคราะห์ความสูงสัญญาณ โดยอุปกรณ์ที่ใช้สำหรับการนับวัดสัญญาณพัลส์ คือ สเกลเลอร์ (Scaler) และอุปกรณ์สำหรับควบคุมเวลาในการนับวัดเรียกว่า ไทเมอร์ (Timer) ซึ่งอุปกรณ์ทั้งสองจะรวมกันเป็น เกาน์เตอร์ (Counter) เพื่อแสดงผลการนับวัดสัญญาณพัลส์นิวเคลียร์ ดังรูปที่ 2.4



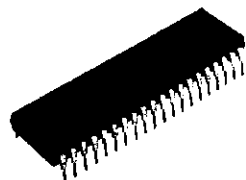
รูปที่ 2.4 แผนภาพบล็อกการทำงานของภาคนับวัดสัญญาณพัลส์นิวเคลียร์

การนำผลการศึกษาไปใช้ในโครงงาน

จากการศึกษาระบวนการทำงานของระบบไทรอยด์อัพเทก สามารถนำความรู้ไปใช้พัฒนาวงจรวิเคราะห์ความสูงของสัญญาณในด้านการออกแบบและการเลือกใช้อุปกรณ์ อิเล็กทรอนิกส์ ซึ่งอยู่ในหัวข้อที่ 3.2.1 หัวข้อย่อยที่ 2 ของบทที่ 3

2.2 ไมโครคอนโทรลเลอร์

สำหรับการพัฒนาเครื่องนับพัลส์รังสีของไทรอยด์อัพเทก จะใช้ไมโครคอนโทรลเลอร์ (เบอร์ dsPIC30F4011) ดังรูปที่ 2.5 เป็นตัวควบคุมและสั่งการเพื่อทำการนับพัลส์สัญญาณ ซึ่งหลักการทำงานของไมโครคอนโทรลเลอร์นั้น จะขึ้นอยู่กับการเลือกใช้งานฟังก์ชันในคุณที่มีอยู่ในตัวของไมโครคอนโทรลเลอร์และการเลือกใช้ขาพอร์ตซึ่งจำเป็นที่จะต้องให้สัมพันธ์กันกับโมดูลที่ใช้ด้วย โดยรายละเอียดสามารถอธิบายได้ดังนี้



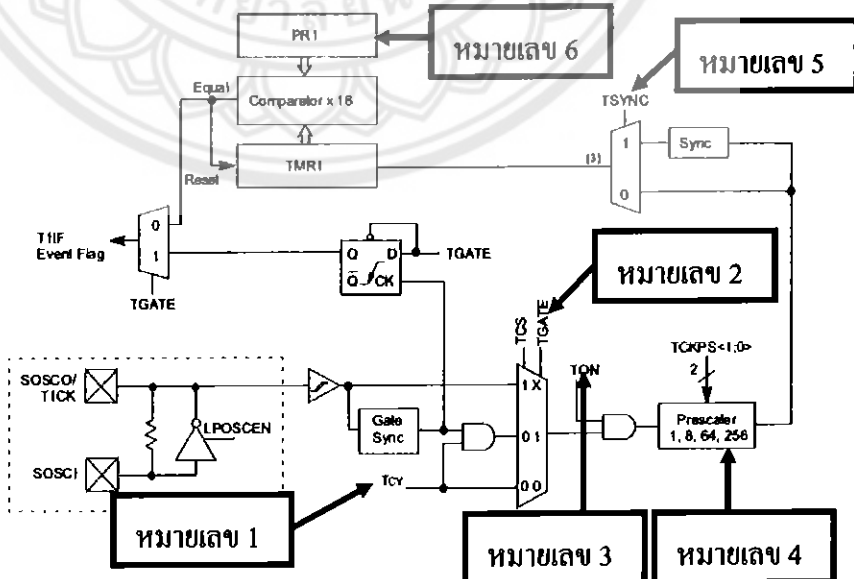
รูปที่ 2.5 ตัวถังของ

dsPIC30F4011

2.2.1) คุณสมบัติของโมดูลที่ใช้งาน

ในโครค่อนโทรลเลอร์ (เบอร์ dsPIC30F4011) ได้รวมเอาโมดูลสำหรับทำงานเฉพาะทางไว้มากนanya แต่ในที่นี่จะกล่าวถึงเฉพาะฟังก์ชันโมดูลที่ใช้ในการพัฒนาเครื่องนับพัลส์รังสีของไทรอชค์อัพเทกซึ่งมีรายละเอียดดังต่อไปนี้

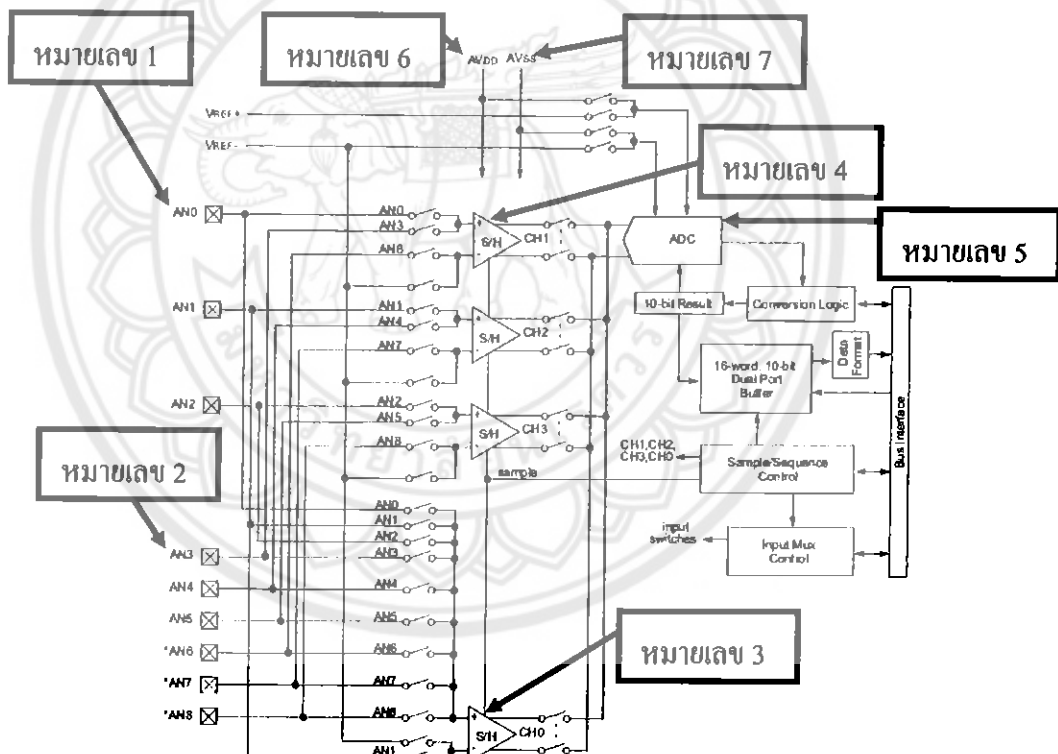
- 1) โมดูลแอลจีดีขนาด 16 ตัวอักษร 2 บรรทัด สำหรับการติดต่อโมดูลแอลจีดีกับไทรค่อนโทรลเลอร์ (เบอร์ dsPIC30F4011) จะใช้วิธีการติดต่อในโหมด 4 บิต ซึ่งมีข้อดีคือ ใช้จำนวนพอร์ตสำหรับติดต่อน้อยเพียง 6 พอร์ตเท่านั้น
- 2) ไทเมอร์ 1 ขนาด 16 บิต ซึ่งเป็นฐานเวลาแบบ A ใช้สำหรับการสร้างฐานเวลาจริงในการนับเวลาการนับพัลส์รังสี และได้อะแกรมการทำงานของไทเมอร์ 1 แสดงดังรูปที่ 2.6 เริ่มที่ Tcy (หมายเลข 1) คือ แหล่งกำเนิดสัญญาณนาฬิกาของไทรค่อนโทรลเลอร์ ซึ่งจะถูกเลือกให้ใช้งานโดยกำหนดค่าของบิต TCS (หมายเลข 2) ให้เป็น 0 ซึ่งเป็นการเลือกใช้งานสัญญาณนาฬิกาภายใน และทำการเปิดใช้งานไทเมอร์ 1 โดยการกำหนดบิต TON (หมายเลข 3) ให้เป็น 1 สำหรับ Prescaler (หมายเลข 4) เป็นการเลือกอัตราเรซเกลเลอร์สำหรับหารความถี่การนับ TSYNC (หมายเลข 5) เป็นการเลือกซึ่งไตรในซึ่งของสัญญาณนาฬิกาภายนอกกับการทำงานของไทเมอร์ ซึ่งบิตนี้จะเป็น 0 เพราะเขียนอยู่กับการกำหนดค่าบิต TCS นั้นหมายความว่าไทเมอร์เลือกใช้งานสัญญาณนาฬิกาภายนอกใน PR1 (หมายเลข 6) เป็นกลุ่มรегистเตอร์ควบเวลาที่สัมพันธ์กับไทเมอร์ ซึ่งค่าที่กำหนดให้ PR จะนำไปคำนวณฐานเวลา



รูปที่ 2.6 ไดอะแกรมการทำงานของไทเมอร์ 1 ฐานเวลาแบบ A

3) โมดูลตรวจจับสัญญาณขาเข้า โดยจะตรวจจับสัญญาณที่ขอบขาลงของสัญญาณในรูปแบบการอินเตอร์รัปต์ ซึ่งข้อมูลที่ตรวจจับได้นั้นจะมีบิต 16 บิต และมีส่วนของไทรเมอร์ที่เกี่ยวข้องกับโมดูลนี้คือ ไทรเมอร์ 2 และ ไทรเมอร์ 3

4) โมดูลแปลงสัญญาอนามัยออกเป็นคิจิต จากรูปที่ 2.7 AN0 (หมายเลข 1) และ AN3 (หมายเลข 2) เป็นขาพอร์ตของไมโครคอนโทรลเลอร์ที่มีไว้สำหรับรับค่าแรงดันขาเข้าแบบแอนalog จากภายนอกที่ไม่เกิน 5 โวลต์ หรือ 2.5 โวลต์พิกัด (V_p-p) โดยที่ S/CH0 (หมายเลข 3) และ S/CH1 (หมายเลข 4) เป็นวงจรสุ่มเก็บด้วยย่างและคงค่าก่อนที่จะส่งเข้าวงจรแปลงสัญญาอนามัยออกเป็นคิจิตอ่านนั้นคือ ADC (หมายเลข 5) สำหรับส่วน AVdd (หมายเลข 6) เป็นแรงดันอ้างอิง ค้านสูงซึ่งปกติมีค่าบวก 5 โวลต์ และ AVss (หมายเลข 7) เป็นแรงดันอ้างอิงค้านต่ำซึ่งปกติต่อลงกราวด์



รูปที่ 2.7 การทำงานของโมดูลแปลงสัญญาอนามัยออกเป็นคิจิต

2.2.2) พอร์ตอินพุตเอาต์พุต

ขาพอร์ตในไมโครคอนโทรลเลอร์ (เบอร์ dsPIC30F4011) สามารถทำงานได้มากกว่าหนึ่งหน้าที่ในขาเดียวกัน โดยการกำหนดการใช้งานพอร์ตผ่านทางรีจิสเตอร์ที่ควบคุมหน้าที่พอร์ตนั้นๆ ซึ่งสามารถแบ่งได้เป็น 2 รูปแบบคือ

1) ขาพอร์ตสำหรับใช้งานร่วมกับโมดูลฟังก์ชัน เป็นขาพอร์ตอินพุตพอร์ตเอาต์พุตให้กับโมดูลฟังก์ชันที่เปิดใช้งาน และเมื่อขาพอร์ตถูกโมดูลเรียกใช้งานจะไม่สามารถเป็นขาพอร์ตสำหรับอินพุตเอาต์พุตได้

2) ขาพอร์ตสำหรับอินพุตพอร์ตเอาต์พุต เป็นขาสำหรับรับและส่งสัญญาณเพื่อความคุณ การทำงานของอุปกรณ์ทั่วไป ซึ่งรูปแบบการทำงานของขาพอร์ตมีเพียงแค่ 2 สถานะ คือ ระดับ logic สูง (High) ระดับ logic ต่ำ (Low)

สำหรับรูปที่ 2.8 และตารางที่ 2.1 เป็นขาพอร์ตและรายชื่อขาของไมโครคอนโทรลเลอร์ เมอร์ dsPIC30F4011 ซึ่งในโครงงานเล่มนี้จะกล่าวเฉพาะขาพอร์ตที่ใช้เท่านั้น



รูปที่ 2.8 การจัดขาของไมโครคอนโทรลเลอร์ dsPIC30F4011

ตารางที่ 2.1 รายชื่อและหน้าที่ของขาพอร์ตที่ใช้งาน

ชื่อขา	ขาที่	ชนิด	หน้าที่
VDD	11,32,21	อินพุต	ต่อไฟเลี้ยงบวก ตั้งแต่ 2.5 ถึง 5.5 V
VSS	12,20,31	อินพุต	ต่อกราวด์
MCLR	1	อินพุต	รับสัญญาณรีเซ็ตหลักทำงานที่ล็อก “0”
AVDD	40	อินพุต	ต่อไฟเลี้ยงบวก 5V ให้แก่โมดูล ADC ภายใน dsPIC
AVSS	39	อินพุต	ต่อไฟลบหรือกราวด์ให้แก่โมดูล ADC ภายใน dsPIC
OSC1/CLKIN	13	อินพุต	ต่อคริสตอลภายนอก

ตารางที่ 2.1 รายชื่อและหน้าที่ของขาพอร์ตที่ใช้งาน (ต่อ)

ชื่อขา	ขาที่	ชนิด	รายละเอียดการทำงาน
ขาพอร์ต B			
AN0/EMUD3/ VREF+/CN2/RB0	2	อินพุต	อินพุตอนาคตอกรช่อง 0
AN1/EMUC3/ VREF-/CN3/RB1	3	อินพุต	อินพุตคิจิ托ลรับสัญญาณที่เกิดจากการกดสวิตช์
AN2/SSI/ CN4/RB2	4	อินพุต	อินพุตคิจิ托ลรับสัญญาณที่เกิดจากการกดสวิตช์ที่เกิดจากการกดสวิตช์
AN3/INDX/ CN5/RB3	5	อินพุต	อินพุตอนาคตอกรช่อง 3
AN4/QEA/ CN6/IC7/RB4	6	อินพุต	อินพุตคิจิ托ลรับสัญญาณที่เกิดจากการกดสวิตช์ที่เกิดจากการกดสวิตช์
AN5/QEB/ CN7/IC8/RB5	7	อินพุต	อินพุตคิจิ托ลรับสัญญาณที่เกิดจากการกดสวิตช์ที่เกิดจากการกดสวิตช์
ขาพอร์ต C			
EMUD1/SOSCI/CN1/ T2CK/U1ATX/RC13	15	อินพุต	อินพุตคิจิ托ลรับสัญญาณที่เกิดจากการกดสวิตช์ที่เกิดจากการกดสวิตช์
EMUC1/SOSCO/T1CK/ CN0/U1ARX/RC14	16	อินพุต	อินพุตคิจิ托ลรับสัญญาณที่เกิดจากการกดสวิตช์ที่เกิดจากการกดสวิตช์
OSC2/CLK0/RC15	14	อินพุต	ต่อคริสตอลภายนอก
ขาพอร์ต D			
EMCU2/OC1/IC1/INT1 /RD0	23	อินพุต	อินพุตคิจิ托ล ตรวจจับสัญญาณขาเข้าในรูปแบบอินเตอร์รัปต์
OC3/RD2	22	เอาต์พุต	เอาต์พุตคิจิ托ล ควบคุมแอลเอ็ม
OC4/RD3	19	เอาต์พุต	เอาต์พุตคิจิ托ล ควบคุมแอลเอ็ม

ตารางที่ 2.1 รายชื่อและหน้าที่ของขาพอร์ตที่ใช้งาน (ต่อ)

ชื่อขา	ขาที่	ชนิด	รายละเอียดการทำงาน
ขาพอร์ต E			
PWM1L/RE0	38	เอาต์พุต	เอาต์พุตดิจิตอล ติดต่อกับขา D4 ของไมค์ แอลซีดี
PWM1H/RE1	37	เอาต์พุต	เอาต์พุตดิจิตอล ติดต่อกับขา D5 ของไมค์ แอลซีดี
PWM2L/RE2	36	เอาต์พุต	เอาต์พุตดิจิตอล ติดต่อกับขา D6 ของไมค์ แอลซีดี
PWM2H/RE3	35	เอาต์พุต	เอาต์พุตดิจิตอล ติดต่อกับขา D7 ของไมค์ แอลซีดี
PWM3L/RE4	34	เอาต์พุต	เอาต์พุตดิจิตอล ติดต่อกับขา RS ของไมค์ แอลซีดี
PWM3H/RE5	33	เอาต์พุต	เอาต์พุตดิจิตอล ติดต่อกับขา E ของไมค์ แอลซีดี
ขาพอร์ต F			
U1RX/PGC/ EMUC/SDI1/SDA/ RF2	26	อินพุต	รับสัญญาณนาฬิกาสำหรับการโปรแกรม
U1TX/PGD/ EMUD/SDO1/SCL/ RF3-RF6	25	อินพุต	รับสัญญาณนาฬิกาสำหรับการโปรแกรม

การนำผลการศึกษาไปใช้ในโครงงาน

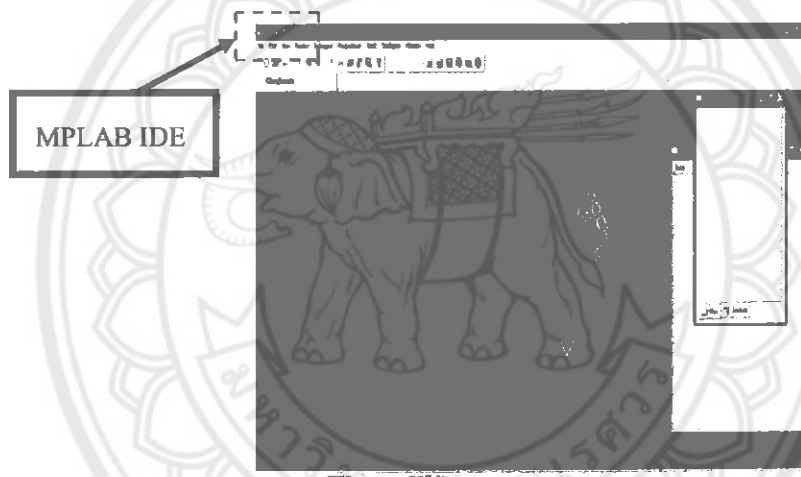
จากการศึกษามาโนคุลใช้งานและการเชื่อมต่อขาพอร์ตของในโครคونโทรลเลอร์ dsPIC30F4011 สามารถนำความรู้ไปพัฒนาวงจรใช้งานในโครคุนโทรลเลอร์ได้ดังหัวข้อที่ 3.2.1 และหัวข้อย่อยที่ 1 ของบทที่ 3 และนำความรู้เรื่องโนคุลต่างๆไปใช้ในการออกแบบโปรแกรมดังหัวข้อที่ 3.3 ซึ่งอยู่ในบทที่ 3

2.3 ซอฟต์แวร์พัฒนาในโครงการทอรอลเลอร์และบอร์ดโปรแกรม

ในการพัฒนาซอฟต์แวร์บนในโครงการทอรอลเลอร์นี้ จำเป็นที่จะต้องมีโปรแกรมในการเขียนโค้ดชิ้นและอาร์คแวร์สำหรับโปรแกรมโค้ดลงบนในโครงการทอรอลเลอร์ ซึ่งมีรายละเอียดดังต่อไปนี้

2.3.1 ซอฟต์แวร์พัฒนาในโครงการทอรอลเลอร์

สำหรับในโครงการนี้ใช้ซอฟต์แวร์ในการพัฒนาโปรแกรมคือ โปรแกรมเย็มพีเด็บ ไอเดีย (MPLAB IDE) ดังรูปที่ 2.9 เป็นชีค่อนไฟเลอร์ที่จะทำงานร่วมกับโปรแกรมเย็มพีเด็บ ซี 30 (MPLAB C30) ซึ่งเป็นคอมไฟเลอร์สำหรับใช้ในการแปลภาษาซีที่เขียนชิ้น แล้วเชื่อมต่อกับโปรแกรมเย็มพีเด็บ ไอเดีย (MPLAB IDE) เพื่อสร้างไฟล์ภาษาเครื่อง ก่อนนำไปดาวน์โหลดต่อไป



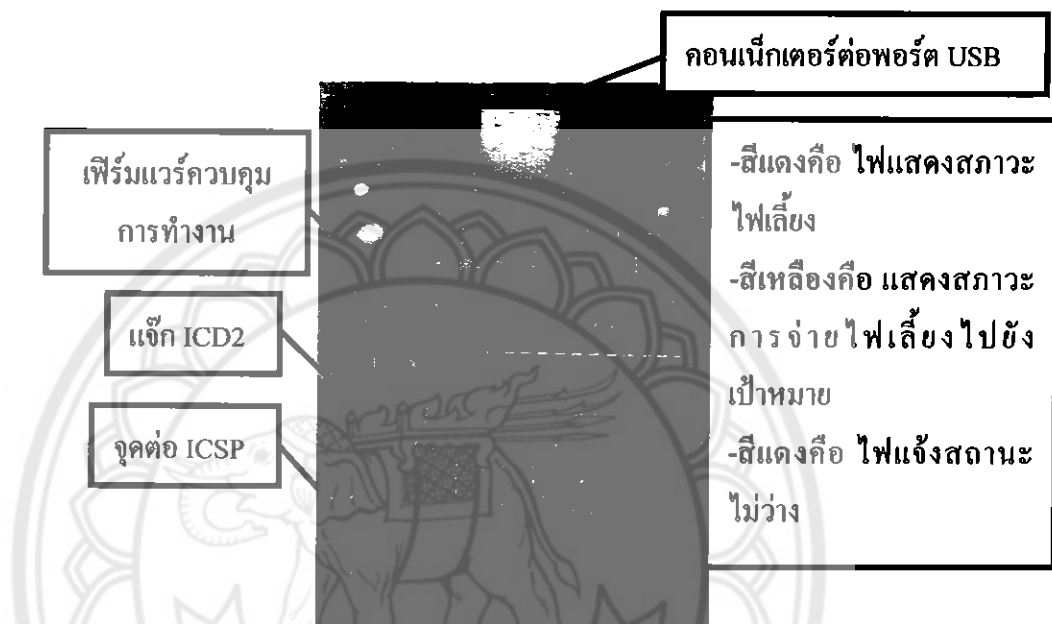
รูปที่ 2.9 หน้าต่างโปรแกรมเย็มพีเด็บ ไอเดีย (MPLAB IDE)

คุณสมบัติที่สำคัญของโปรแกรมเย็มพีเด็บ ไอเดีย (MPLAB IDE)

- 1) ประกอบด้วยไลบรารีมาตรฐาน เช่น ไลบรารีคณิตศาสตร์ หน่วยความจำโปรแกรม การแปลงข้อมูล เป็นต้น
- 2) รองรับการสร้างโค้ดในรูปแบบโนดูล เพื่อให้สามารถนำโค้ดกลับมาใช้ได้ใหม่
- 3) สามารถแทรกคำภาษาแอสเซมบลีลงในโค้ดภาษา C ได้ ตามรูปแบบที่คอมไฟเลอร์ กำหนดไว้ เมื่อต้องการความคุณค่าสั่งคำภาษาแอสเซมบลีโดยตรง
- 4) มีไลบรารีสำหรับโนดูลต่างๆภายในในโครงการทอรอลเลอร์ (เบอร์ dsPIC30F4011) เพื่อความรวดเร็วในการพัฒนาโปรแกรม
- 5) แยกหน่วยความจำโค้ดโปรแกรมและข้อมูลออกจากกันในตำแหน่งที่เฉพาะเจาะจงในหน่วยความจำหลัก

2.3.2 บอร์ดโปรแกรมในโครงการโทรศัพท์

เครื่องมือทางสำหรับพัฒนาในโครงการโทรศัพท์ทางด้าน hardware ต้องรูปที่ 2.10 ที่ใช้ร่วมกันในการพัฒนาในโครงการโทรศัพท์ เป็นเครื่องโปรแกรมรุ่นพีอีก 200 (PX 200) ของบริษัท อินโนเวติฟ เอ็กเพอริเมนต์ จำกัด ซึ่งใช้เขียนข้อมูลลงในหน่วยความจำโปรแกรมของในโครงการโทรศัพท์ (เบอร์ dsPIC30F4011)



รูปที่ 2.10 เครื่องโปรแกรมรุ่นพีอีก 200 (PX 200)

คุณสมบัติของเครื่องโปรแกรมรุ่นพีอีก 200 (PX 200)

- 1) เชื่อมต่อคอมพิวเตอร์ผ่านพอร์ตบูสต์บี (USB) ใช้ไฟเลี้ยงจากพอร์ตบูสต์บี
- 2) โปรแกรมในโครงการโทรศัพท์(เบอร์ dsPIC30F4011) บนบอร์ดเป้าหมายผ่านทางสายแจ็คไอซีดี 2 (ICD2)
- 3) มีแอลอกิคแสดงสถานการณ์ทำงาน 3 ดวง คือ POWER TARGET และ BUSY
- 4) สามารถอพเกรดเฟิร์มแวร์ได้ผ่านทางช่องตัวเร็ว
- 5) อ่านเขียนข้อมูลในหน่วยความจำข้อมูลอิหรอมภายในในโครงการโทรศัพท์ได้
- 6) ใช้งานได้กับในโครงการโทรศัพท์เบอร์ PIC และในโครงการโทรศัพท์เบอร์ dsPIC ที่รองรับการดีบักในวงจรและการ โปรแกรมแบบไอซีอีสพี (ICSP)

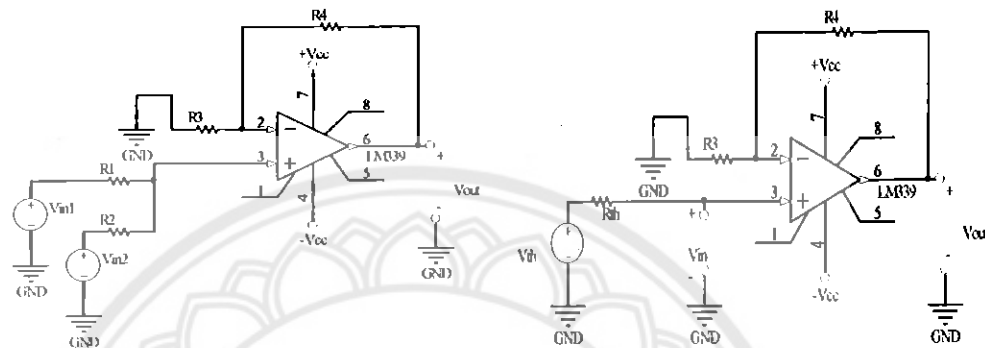
การนำผลการศึกษาไปใช้ในโครงงาน

จากการศึกษาโปรแกรมที่ใช้ในการพัฒนาซอฟแวร์และบอร์ดโปรแกรม สามารถนำไปใช้ในการพัฒนาโปรแกรมที่ได้ออกแบบไว้ดังในหัวข้อที่ 3.3 ในบทที่ 3

2.4 วงจรใช้งานอปเปอเรนซ์

อปเปอเรนซ์เป็นอุปกรณ์อิเล็กทรอนิกส์พื้นฐานที่นำมาต่อใช้ได้แก่ วงจรขยายผลรวมแบบไม่กลับเฟส วงจรเปรียบเทียบแรงดัน ซึ่งมีรายละเอียดดังหัวข้อที่ 2.4.1 และหัวข้อ 2.4.2

2.4.1 วงจรขยายผลรวมแบบไม่กลับเฟส



(ก) วงจรใช้งานขยายผลรวมแบบไม่กลับเฟส

(ข) วงจรคำนวณค่าแรงดันขาออก

รูปที่ 2.11 วงจรขยายผลรวมแบบไม่กลับเฟส

จากกฎเกอร์ชอฟฟ์ (Kirchoff) โดย KVL จะได้สมการ 2.2 ของรูปที่ 2.11 (ก)

$$V_{out} = V_{in} \left(1 + \frac{R_4}{R_3} \right) \quad (2.2)$$

กำหนดให้

$$R_1 = R_2 = R$$

จากทฤษฎีเท wenin สามารถหา R_{th} ได้ดังนี้

$$R_{th} = R_1 // R_2 = R / 2$$

จากทฤษฎีการทับซ้อนสามารถหา V_{th} ได้ดังนี้

$$V_{th} = (V_1 + V_2) / 2 \quad (2.3)$$

จากสมการ (2.2) และ (2.3) สามารถเขียนเป็นวงจรใหม่ได้ดังรูปที่ 2.11 (ข) และเนื่องจาก อินพุตอินพีเดนซ์ของวงจรขยายแบบไม่กลับเฟสมีค่าสูงมาก ดังนั้น

$$V_{th} = V_{in} \quad (2.4)$$

จากสมการที่ (2.2) (2.3) และ (2.4) จะได้ดังสมการที่ (2.5) ดังนี้

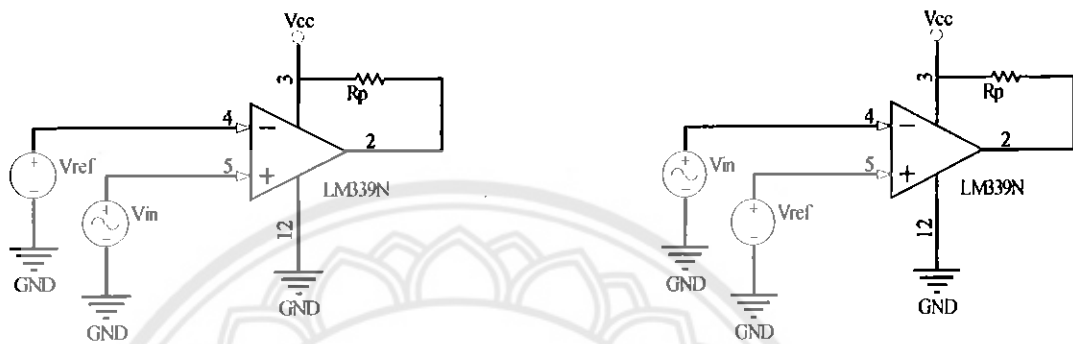
$$V_{out} = \left(1 + \frac{R_4}{R_3} \right) [(V_1 + V_2) / 2] \quad (2.5)$$

การนำผลการศึกษาไปใช้ในโครงงาน

สมการที่ได้จากการดังสมการที่ 2.5 นี้สามารถนำไปใช้ในการเลือกค่าความต้านทานที่ใช้ในการออกแบบวงจรขยายผลรวมแบบไม่กลับเฟสที่อยู่ในวงจรวิเคราะห์ความสูงของสัญญาณ

2.4.2 วงจรเปรียบเทียบแรงดัน

หน้าที่ของวงจรเปรียบเทียบแรงดันคังรูปที่ 2.12 คือ ทำการเปรียบเทียบแรงดันอินพุตที่ป้อนให้วงจรกับแรงดันอ้างอิงที่ตั้งไว้แล้ว ทำให้เกิดแรงดันเอาท์พุทของวงจรเปลี่ยนแปลงอยู่สองสถานะ คือ สถานะสูง และสถานะต่ำ ซึ่งขนาดของแรงดันเอาท์พุตจะขึ้นอยู่กับขนาดของแรงดันที่ป้อนให้กับอุปแอนป



(ก) แสดงวงจรแบบไม่กลับเฟส

(ข) แสดงวงจรแบบกลับเฟส



(ก) แสดงกราฟของวงจรแบบไม่กลับเฟส

(ข) แสดงกราฟของวงจรแบบกลับเฟส

รูปที่ 2.12 วงจรเปรียบเทียบแรงดัน

ภาพวงจร (ก) เมื่อสัญญาณอ้างอิง (V_{ref}) ต่อเข้าที่ขาลงของอุปแอนปและขาบวกต่อเข้ากับแรงดันขาเข้า (V_{in}) จะทำให้ได้สัญญาณดังภาพ (ค) ซึ่งสัญญาณขาเข้าจะตรงเฟสกับสัญญาณขาออก ภาพวงจร (ข) เมื่อสัญญาณอ้างอิง (V_{ref}) ต่อเข้าที่ขาบวกของอุปแอนปและขาลงต่อเข้ากับแรงดันขาเข้า (V_{in}) จะทำให้ได้สัญญาณดังภาพ (ง)

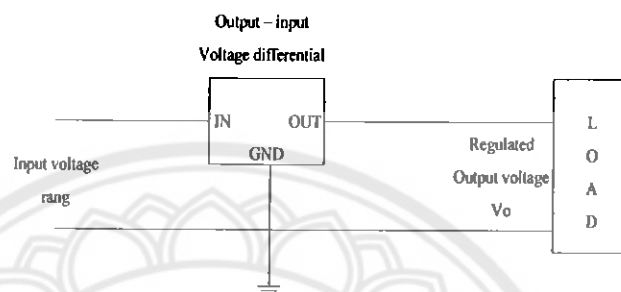
การนำผลการศึกษาไปใช้ในโครงการ

ผลของการศึกษาวงจรเปรียบเทียบแรงดัน สามารถนำไปเป็นส่วนหนึ่งในการพัฒนาวงจรวิเคราะห์ความสูงของสัญญาณซึ่งอยู่ในหัวข้อที่ 3.2.1 หัวข้อข้อที่ 2 ของบทที่ 3

2.5 ไอซีรักยาระดับแรงดันและจอแสดงผลแอลซีด

2.5.1 ไอซีรักยาระดับแรงดัน

เป็นอุปกรณ์หรือวงจรสำเร็จรูปที่ใช้ประกอบวงจรแหล่งจ่ายไฟฟ้ากระแสตรงให้คงที่ จากรูปที่ 2.13 เมื่อป้อนแรงดันไฟฟ้าไม่คงที่ เข้าที่ขาเข้า ผลกระทบการทำงานจะได้แรงดันไฟฟ้ากระแสตรงคงที่ออกที่ขาออกสำหรับโหลด



รูปที่ 2.13 ไอซีรักยาระดับแรงดัน (IC voltage regulator)

โดยที่ขนาดของแรงดันไฟฟ้าจะมีค่าเท่าๆ กัน เป็นแรงดันไฟฟ้าบวกหรือแรงดันไฟลบ ขึ้นอยู่กับการเลือกใช้งาน ซึ่งในโครงงานนี้เลือกใช้งาน ดังตารางที่ 2.2 ดังนี้

ตารางที่ 2.2 แสดงเบอร์และแรงดันขาออก

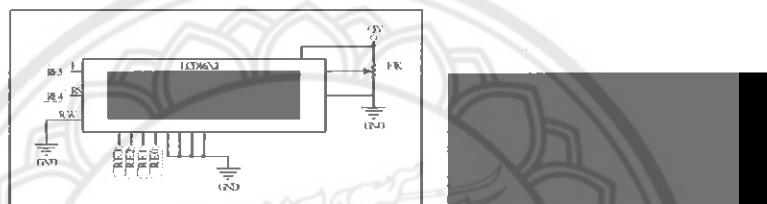
IC Part	Output Voltage(V)	Minimum Vi(v)
7805	+5	7.3
7810	+10	12.5
7818	+18	21.0
7918	-18	-21.0

การนำผลการศึกษาไปใช้ในโครงงาน

ไอซีรักยาระดับแรงดันนี้ได้ถูกนำไปใช้ประโยชน์ในการพัฒนาวงจรแหล่งจ่ายแรงดันกระแสตรงดังหัวข้อที่ 3.2.1 หัวข้อย่อยที่ 3 ในบทที่ 3 ซึ่งการต่อวงจรจะเป็นการต่อแบบ อนุกรมกัน โดยไอซีเบอร์ 7818 จะรับแรงดันขาเข้าจากหม้อแปลง 24 โวลต์ และจะได้แรงดันขาออกเป็น 18 โวลต์ จากนั้นรังดัน 18 โวลต์จะเป็นแรงดันขาเข้าให้กับไอซีเบอร์ 7810 ซึ่งจะได้แรงดันขาออกมีขนาด 10 โวลต์ และแรงดัน 10 โวลต์นี้ก็จะเป็นสัญญาณขาเข้าให้กับไอซี 7805 ซึ่งจะได้สัญญาณขาออกขนาด 5 โวลต์ และไอซี 7918 ก็จะแปลงแรงดันจาก -24 โวลต์เป็น -18 โวลต์

2.5.1 จอแสดงผลแอลซีดี

แอลซีดีังรูปที่ 2.14 จัดเป็นจอแสดงผลอิกรูปแบบหนึ่ง ซึ่งเป็นที่นิยมนำมาใช้งานกันอย่างแพร่หลายมากขึ้นในปัจจุบัน ซึ่งจอแสดงผลแอลซีดี นี้มีทั้งแบบที่แสดงผลเป็นอักระเพียงตัวเดียว และแบบที่สามารถแสดงผลเป็นรูปภาพหรือสัญลักษณ์อื่นๆตามความต้องการได้ ในโครงการเล่นนี้จะกล่าวถึงเฉพาะแอลซีดีแบบคอดแมตทริกซ์ (Dot-Matrix) ที่มีวงจรหน่วยกันทั่วไปและหาซื้อได้ง่าย โดยที่พบเห็นกันทั่วไปได้แก่ขนาด 16 ตัวอักษร และมีจำนวนบรรทัด 2 บรรทัด โดยแอลซีดีนี้อาจมีหลายผู้ผลิต แต่ส่วนมากแล้วจะมีโครงสร้างการทำงานและชุดคำสั่งที่เหมือนกันเกือบทุกประการ



(ก) สัญลักษณ์และการต่อใช้งาน (ข) จอแอลซีดีที่ใช้งาน

รูปที่ 2.14 แอลซีดี 16 ตัวอักษร 2 บรรทัด

การควบคุมการแสดงผลของแอลซีดี

ผู้ใช้งานไม่สามารถจ่ายกระแสไฟฟ้าตรงให้กับแอลซีดีถ้าไม่ต้องดูแลเวลาเพื่อให้แอลซีดีแสดงผลตามที่ต้องการ ได้เนื่องจากจะทำให้เกิดปฏิกิริยาไฟฟ้าเกมีเข็มและจะทำให้อาชญากรรมใช้งานของแอลซีดีสิ้นสุดคัวห์ เนื่องจากจะเป็นต้องป้อนสัญญาณลับระหว่างปีกดันเปิด คัวห์ความถี่ไม่น้อยกว่า 30 Hz เพื่อไม่ให้หน้างอกระพริบแอลซีดีโดยทั่วไปจะเป็นแบบที่มีส่วนควบคุม รวมไว้ในตัวอยู่แล้วผู้ใช้งานเพียงส่งรหัสคำสั่งสำหรับควบคุมการทำงานของแอลซีดีให้กับคอนโทรลเลอร์ (Controller) ว่าต้องการใช้ทำงานอย่างไร

การนำผลการศึกษาไปใช้ในโครงการ

แอลซีดีถูกนำไปใช้ในการแสดงผลที่เกิดจาก การควบคุมโดยในโครงการ โทรลเลอร์เบอร์ dsPIC30F4011 และได้ออกแบบการต่อวงจรใช้งานของแอลซีดีซึ่งอยู่ภายในวงจรใช้งานในโครงการ โทรลเลอร์ในหัวข้อที่ 3.2.1 หัวข้อข้อที่ 1 ของบทที่ 3 ซึ่งการต่อใช้งานนั้นจะเป็นการต่อสายสัญญาณข้อมูลแบบ 4 บิต โดยใช้พอร์ตของในโครงการ โทรลเลอร์เพียง 4 ขาเท่านั้นสำหรับการรับส่งสัญญาณระหว่างแอลซีดีกับในโครงการ โทรลเลอร์

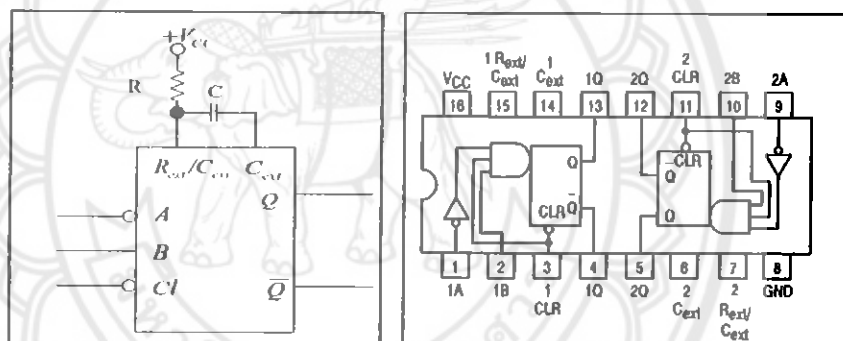
2.6 ไอซีล็อกจิกเกต

2.6.1 ไอซีล็อกจิกวงจรรวมเบอร์ 74123

เป็นวงจรหน่วงเวลาชนิดโมโนสเตเบลเมตติไวเบรเตอร์ (Monostable Multivibrator) จำนวนสองชุดอยู่ในตัวไอซีเดียวกัน โดยมีการต่อวงจรของไอซีวงจรรวมเบอร์ 74123 ดังรูปที่ 2.15 (ก) และรูปที่ 2.15 (ข) แสดงชื่อขา กับวงจรภายใน การทำงานจะขึ้นอยู่กับการเปลี่ยนแปลงของสัญญาณขาเข้า เป็นการทำงานแบบสามารถทริกต่อเนื่อง (Retriggable) ซึ่งการทำงานจะเริ่มขึ้นใหม่ทุกรั้งที่มีสัญญาณทริก ทำให้สัญญาณออกจะเป็นช่วงล็อกจิก “1” ตลอดเวลา โดยที่ช่วงล็อกจิก “1” สามารถหาได้จากสมการดังนี้

ช่วงล็อกจิก “1” (t)

$$t = 0.3RC\left(1 + \frac{0.7}{R}\right) \quad (2.5)$$



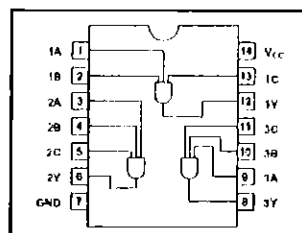
(ก) การต่อวงจรใช้งาน

(ข) โครงสร้างภายในของไอซี 74123

รูปที่ 2.15 โครงสร้างภายในของไอซี 74123

2.6.2 ไอซีล็อกจิกเบอร์ 7411

เป็นไอซีแอนด์เกตชนิดการทำงาน 3 ขา ดังรูปที่ 2.16 โดยมีหลักการทำงานคือ เมื่อมีล็อกจิก “1” เข้ามาที่อินพุตเอ (A), อินพุตบี (B) และอินพุตซี (C) จะทำให้อเอต์พุตวาย (Y) มีสถานะล็อกจิก เป็น “1” แต่ถ้ามีล็อกจิก “0” เข้ามาที่อินพุตเอ (A) หรืออินพุตบี (B) หรืออินพุตซี (C) จะทำให้อเอต์พุต วาย (Y) มีสถานะล็อกจิกเป็น “0” โดยสามารถรายละเอียดได้ที่ภาคผนวกท้ายเล่มปริญญาฯ พนธ์

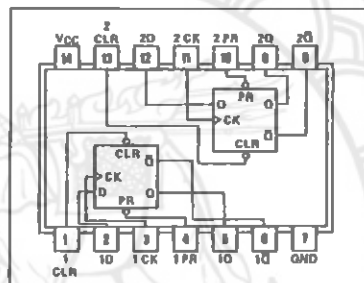


รูปที่ 2.16 โครงสร้างภายในของไอซีเบอร์ 7411

2.6.3 ไอซีพลิปฟล็อปบีนิดดีเบอร์ 7474

โครงสร้างภายในของพลิปฟล็อปบีนิดดี 7474 แสดงดังรูปที่ 2.17 จะเห็นว่าจากอินพุตดี (D) และอินพุตซีซีแอลเค (CLK) แล้ว ขั้นคงมีอินพุตอิก 2 อินพุตคือ อินพุตพรีเซต (PS) และอินพุตเคลียร์ (CLR) และมีชื่อเฉพาะว่า อะซิงไครนัสอินพุต ที่เป็นเข้นนี้เพื่อการทำงานของอินพุตทั้งสองจะทำงานทันทีเมื่อได้รับลงจิก “0” โดยไม่สนใจว่าอินพุตอื่นๆ เช่น อินพุตดี (D) หรืออินพุตซีซีแอลเค (CLK) จะมีข้อมูลอยู่หรือไม่ก็ตาม

สำหรับข้อห้ามในการใช้งานคือ ห้ามบังคับให้อินพุตพรีเซต (PS) และอินพุตเคลียร์ (CLR) ทำงานพร้อมกัน จะเป็นผลให้ เอาต์พุตคิว (Q) และเอาต์พุตคิวบาร์ (\bar{Q}) มีโลจิกเอาต์พุตเป็น “1” ทั้งสองเอาต์พุต ดังนั้น อินพุตดี (D) และอินพุตซีซีแอลเค (CLK) ของพลิปฟล็อปบีนิดดีเบอร์ 7474 นั้น จะต้องทำงานร่วมกันจึงจะทำให้พลิปฟล็อปทำงานได้



รูปที่ 2.17 โครงสร้างภายในของไอซี 7474

การนำผลการศึกษาไปใช้ในโครงงาน

ไอซีโลจิกเกตที่ได้ทำการศึกษาการทำงานและโครงสร้างภายในได้แก่ (1) ไอซีโลจิกวงจรรวมเบอร์ 74123 (2) ไอซีโลจิกเบอร์ 7411 (3) ไอซีพลิปฟล็อปบีนิดดีเบอร์ 7474 โดยไอซีทั้งสามเบอร์นี้จะถูกนำมาใช้พัฒนาเป็นส่วนหนึ่งของวงจรวิเคราะห์ความสูงของสัญญาณ ซึ่งรายละเอียดของการออกแบบอยู่ในหัวข้อที่ 3.2.1 หัวข้อข้อที่ 2 ของบทที่ 3

บทที่ 3

วิธีการดำเนินโครงการ

การพัฒนาเครื่องนับพัลส์ริงสีของไทรอยด์อัพเทค มีขั้นตอนในการดำเนินงานซึ่งแบ่งออกเป็น 5 ขั้นตอน ได้แก่ 1) ศึกษาข้อมูลและหลักการทำงานทฤษฎีที่เกี่ยวข้อง 2) ออกแบบระบบทางด้านชาร์คแวร์ 3) ออกแบบระบบทางด้านซอฟต์แวร์ 4) การทดสอบเครื่องนับพัลส์ริงสีของไทรอยด์อัพเทค 5) สรุปและจัดทำฐานข้อมูลเพื่อประยุกต์ใช้ รายละเอียดแต่ละหัวข้อนี้สามารถอธิบายได้ดังต่อไปนี้

3.1 ศึกษาข้อมูลและหลักการทำงานทฤษฎีที่เกี่ยวข้อง

การดำเนินงานในหัวข้อนี้เป็นขั้นตอนแรกสำหรับการศึกษาข้อมูลต่างๆ ที่เป็นประโยชน์ในการพัฒนาเครื่องนับพัลส์ริงสีของไทรอยด์อัพเทค โดยมีหัวข้อต่างๆ ที่ได้ทำการศึกษาดังต่อไปนี้

3.1.1) ศึกษาระบวนการทำงานของระบบไทรอยด์อัพเทค สำหรับเนื้อหาในหัวข้อนี้ได้กล่าวถึงกระบวนการการทำงานการนับวัตถุริงสีของระบบไทรอยด์อัพเทค ซึ่งรายละเอียดได้กล่าวไว้แล้วในหัวข้อศึกษาที่ 2.1 บทที่ 2

3.1.2) ไมโครคอนโทรลเลอร์ โดยเนื้อหาจะบรรยายโดยอุปกรณ์ที่ใช้ในการพัฒนาเครื่องนับพัลส์ริงสีและซอฟต์แวร์ที่เปิดใช้งาน ซึ่งรายละเอียดได้กล่าวไว้แล้วในหัวข้อศึกษาที่ 2.2 บทที่ 2

3.1.3) ซอฟต์แวร์พัฒนาไมโครคอนโทรลเลอร์และบอร์ดโปรแกรม ในเนื้อหาจะเป็นการกล่าวถึงส่วนประกอบต่างๆ ของตัวโปรแกรมและหัวบอร์ดโปรแกรม ซึ่งรายละเอียดได้กล่าวไว้แล้วในหัวข้อศึกษาที่ 2.3 ของบทที่ 2

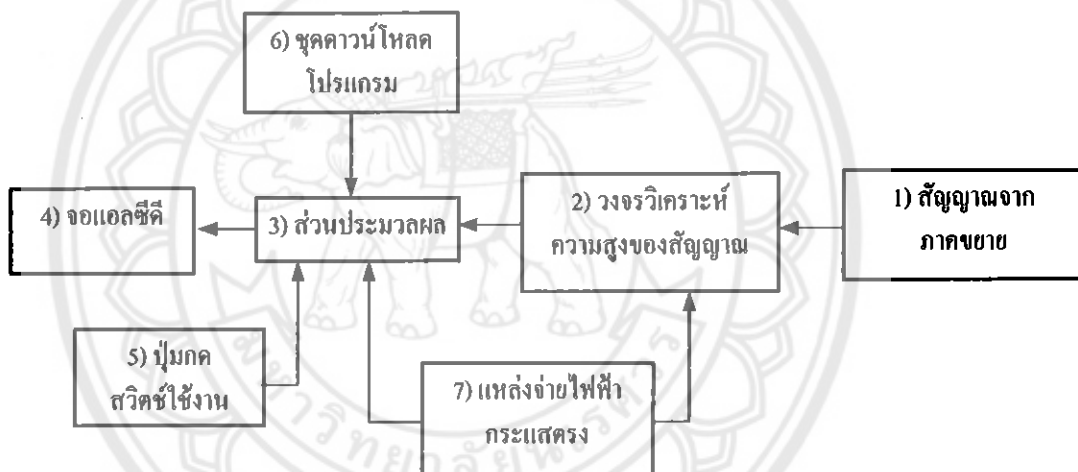
3.1.4) วงจรใช้งานอปเปอเรนซ์ โดยเนื้อหาจะเป็นการกล่าวถึงการใช้อปเปอเรนซ์ต่อเป็นวงจรขยายผู้รวมแบบไม่กั๊บเฟสและวงจรเปรียบเทียบแรงดัน ซึ่งรายละเอียดได้กล่าวไว้แล้วในหัวข้อศึกษาที่ 2.4 ของบทที่ 2

3.1.5) ไอซีรักนายระดับแรงดันและจอดสูดผลแอ็ลซีดี ภายในเนื้อหาจะเป็นการกล่าวถึงเบอร์ไอซีรักนายระดับแรงที่ใช้และการเลือกใช้งานของแอ็ลซีดี ซึ่งรายละเอียดได้กล่าวไว้แล้วในหัวข้อศึกษาที่ 2.5 ของบทที่ 2

3.1.6) ไอซีล็อกจิกเกต ในเนื้อหาจะบรรยายถึงการใช้งานและคุณสมบัติที่ควรทราบของไอซีล็อกจิกเกตแต่ละเบอร์ และ หน้าที่ของอุปกรณ์อิเล็กทรอนิกส์ที่สำคัญ ซึ่งรายละเอียดได้กล่าวไว้แล้วในหัวข้อศึกษาที่ 2.6 ของบทที่ 2

3.2 ออกแบบระบบทางด้านอาร์ดแวร์

การออกแบบเครื่องนับพัลส์รังสีของไทรอยค์อัพเทกที่ถูกต้อง ควรทราบขั้นตอนการทำงานของเครื่อง ซึ่งการทำงานของเครื่องนับพัลส์รังสีของไทรอยค์อัพเทกแสดงดังรูปที่ 3.1 โดยเริ่มจากส่วนที่ 1 คือสัญญาณจากภาคขยายมีรูปคลื่นแบบบันโนโลาร์เข้ามาในส่วนที่ 2 คือวงจรวิเคราะห์ความสูงของพัลส์สัญญาณ ซึ่งสัญญาณที่มีความสูงอยู่ในช่วงพลังงานเดดค่าอี จะถูกสร้างเป็นพัลส์ก่อนส่งสัญญาณพัลสนีเข้าไปส่วนที่ 3 คือส่วนประมวลผล และส่วนนี้จะทำการนับพัลส์ที่เข้ามาก่อนที่จะส่งไปแสดงผลในส่วนที่ 4 ซึ่งก็คือจอยแอลซีดีบนาค 16 ตัวอักษร 2 บรรทัดสำหรับแสดงผลการนับ ส่วนที่ 5 คือปุ่มกดสวิตช์ใช้งานมีหน้าที่เลือกโหมดการทำงานและตั้งค่าเวลาในการนับพัลส์ และส่วนที่ 6 คือชุดความโน๊ลค์โปรแกรม โปรแกรมที่พัฒนาขึ้นเพื่อควบคุมการทำงานของไมโครคอนโทรลเลอร์ (เบอร์ dsPIC30F4011)

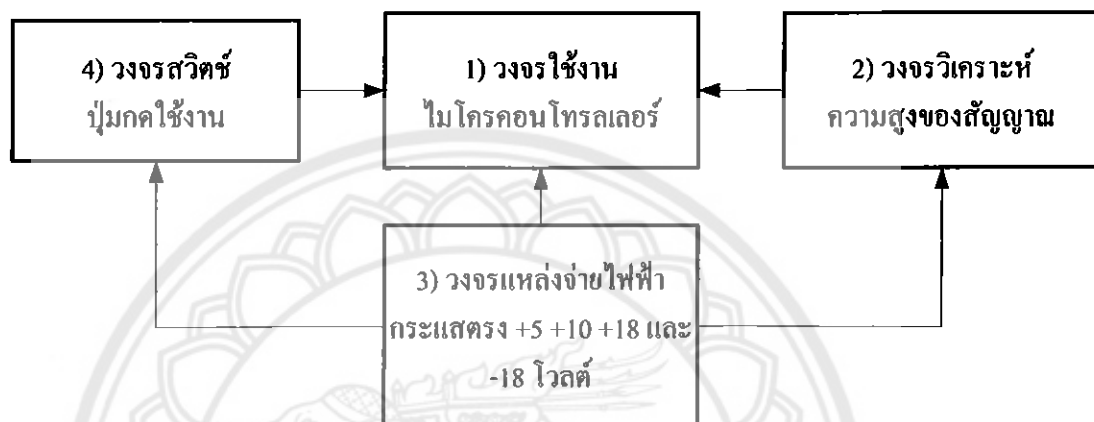


รูปที่ 3.1 แผนภาพกรอบการทำงานทั้งหมดบนเครื่องนับพัลส์รังสีของไทรอยค์อัพเทก

จากໄโคะแกรมการทำงานทั้งหมดของระบบเครื่องนับพัลส์รังสี สามารถแยกอธินายสำหรับการพัฒนาวงจรต่างๆ ได้ดังนี้ หัวข้อที่ 3.2.1 จะเป็นการอธินายการพัฒนาวงจรทั้งหมด โดยเริ่มจากการออกแบบบนสเก็มเมติกໄโคะแกรม (Schematic Diagram) การออกแบบลายวงจร และการลงอุปกรณ์เป็นวงจรใช้งานจริง หัวข้อที่ 3.2.2 จะเป็นแผนภาพวงจรรวมเครื่องนับพัลส์รังสีของไทรอยค์อัพเทก นั้นคือนำแต่ละวงจรในหัวข้อที่ 3.2.1 มารวมกันเพื่อบอกให้ทราบถึงการต่อสายเชื่อมของแต่ละวงจรเข้าด้วยกัน หัวข้อที่ 3.2.3 เป็นการประกอบเครื่องนับพัลส์รังสีของไทรอยค์อัพเทก นั้นคือการนำวงจรที่ได้ออกแบบไว้มีใส่ในกล่องพลาสติก (Plastic) เพื่อความเรียบร้อยและยังสามารถป้องกันสัญญาณลบกวนอีกด้วย ซึ่งรายละเอียดของแต่ละหัวข้อสามารถอธินายได้ดังหัวข้อต่อไปนี้

3.2.1 ส่วนประกอบของวงจรเครื่องนับพัลส์รังสีของไทรอยด์อัพเทก

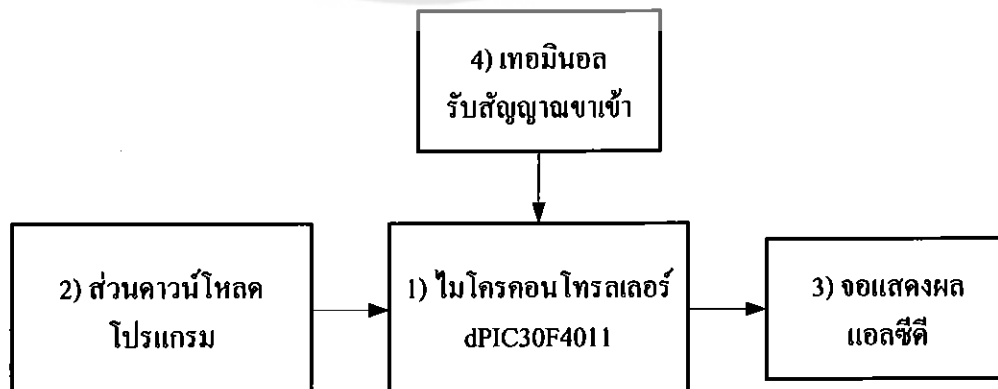
การออกแบบเครื่องนับพัลส์รังสีของไทรอยด์อัพเทกคั่งรูปที่ 3.2 ถูกออกแบบให้มีส่วนประกอบบางชุดหลักทั้งหมด 4 ส่วนที่สำคัญ คือ ส่วนที่ 1 คือวงจรใช้งานในโครค่อนโถรเลอร์ ส่วนที่ 2 คือวงจรวิเคราะห์ความสูงของสัญญาณ ส่วนที่ 3 คือวงจรแหล่งจ่ายไฟกระแสตรง และส่วนที่ 4 คือวงจรสวิตซ์ปุ่มกดใช้งาน ซึ่งลายละเอียดของแต่ละวงจรจะอธิบายในหัวข้อต่อไปนี้



รูปที่ 3.2 ส่วนประกอบของเครื่องนับพัลส์รังสีของไทรอยด์อัพเทก

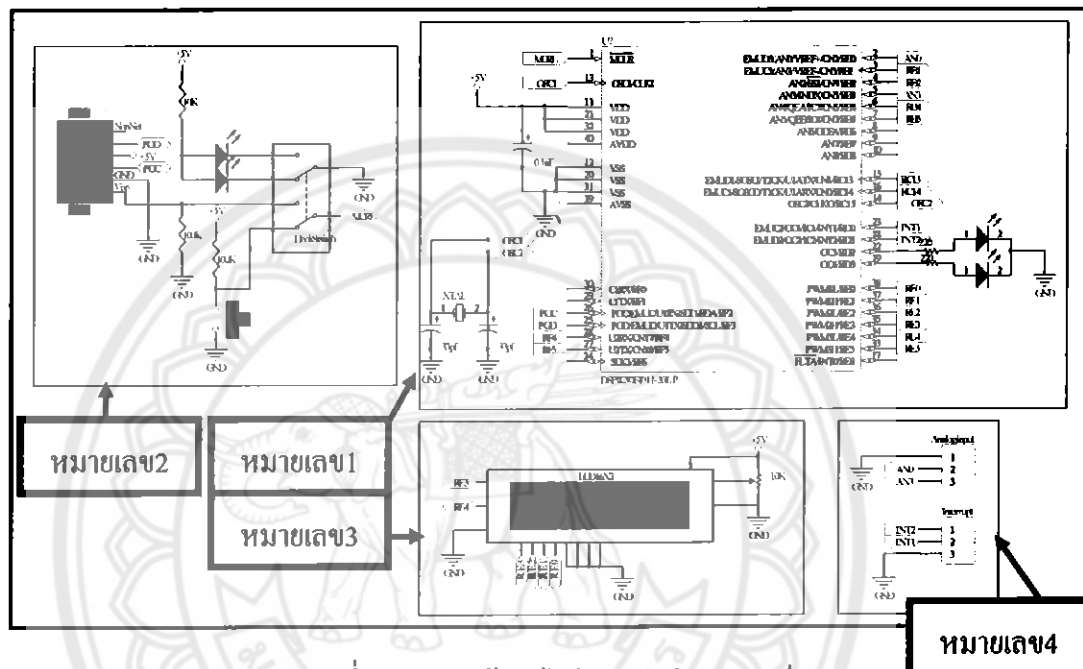
1) ออกแบบวงจรใช้งานในโครค่อนโถรเลอร์

สำหรับรูปที่ 3.3 เป็นการออกแบบส่วนประกอบของวงจรใช้งานในโครค่อนโถรเลอร์ มีทั้งหมด 5 ส่วน คือ ส่วนที่ 1 คือในโครค่อนโถรเลอร์ (เบอร์ dsPIC30F4011) ส่วนที่ 2 คือชุด ดาวน์โหลดโปรแกรมลงบนในโครค่อนโถรเลอร์ ส่วนที่ 3 คือ จอยสเต็ปผลแอลซีดี และส่วนสุคท้ายคือส่วนที่ 4 คือชุดเซ็นเซอร์สำหรับรับสัญญาณที่เข้ามาประมวลผลบนในโครค่อนโถรเลอร์



รูปที่ 3.3 ส่วนประกอบของวงจรใช้งานในโครค่อนโถรเลอร์

สำหรับวงจรดังรูปที่ 3.4 เป็นวงจรที่ได้ออกแบบบนสกีมเมติกໄคอะแกรน (Schematic Diagram) เพื่อที่จะพัฒนาชิ้นงานจริง โดยเริ่มจากหมายเลข 1 คือ ไมโครคอนโทรลเลอร์ (เบอร์ dsPIC30F4011) หมายเลข 2 คือ วงจรความโน๊ลต์โปรแกรมลงบนไมโครคอนโทรลเลอร์ หมายเลข 3 คือ จอยสติ๊กขนาดหน้าจอ 16x2 และหมายเลข 4 คือ พอร์ตเทอโนินอล (Terminal Port) ขนาด 3 ขาที่ใช้ในการรับสัญญาณและออกจากการปรับค่าแรงดัน และใช้ในการรับสัญญาณพัลส์



รูปที่ 3.4 วงจรใช้งานในไมโครคอนโทรลเลอร์

หน้าที่ของวงจรใช้งานในไมโครคอนโทรลเลอร์ สามารถแยกการใช้งานตามข้างของ ไมโครคอนโทรลเลอร์ (เบอร์ dsPIC30F4011) ได้ดังตารางที่ 3.1 ดังนี้

ตารางที่ 3.1 หน้าตามข้างของวงจรใช้งานในไมโครคอนโทรลเลอร์

หมายเลขขา	ชื่อขา	หน้าที่
1	MCRL	รีเซ็ต โปรแกรม ต่อกับสวิตช์รีเซ็ตที่อยู่บนวงจรสวิตช์ปุ่มกด
2,5	AN0,AN3	แปลงสัญญาณและออกให้เป็นดิจิตอล โดยสัญญาณ แนะนำลอกเกิลจากการปรับค่าแรงดัน LLD และ DEL

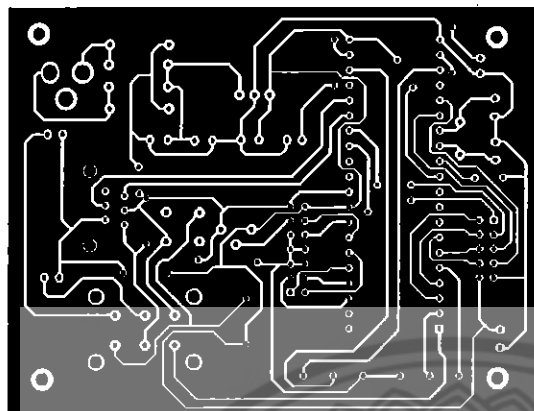
ตารางที่ 3.1 หน้าตามขับบวนวงจรใช้งานในโครค่อน โทรลเลอร์ (ต่อ)

หมายเลขขา	ชื่อขา	หน้าที่
3,4,6,7,15, 16,27,28	RB1,RB2,RB4,R BS,RC13,RC14, RF4,RF5	เป็นอินพุตติดต่อกับวงจรสวิตช์ปุ่มกดใช้งาน
11,21,32	VDD	รับไฟเต็มในโครค่อน โทรลเลอร์ dsPIC30F4011 ต่อกับไฟ +5 โวลต์
12,20,31	VSS	เป็นกราวด์ให้ในโครค่อน โทรลเลอร์ dsPIC30F4011
13,14	OSC1/CLK1, OSC2/CLKO	รับสัญญาณนาฬิกาจากคริสตัลความถี่ 4 เมกะเฮิรตซ์
19,22	RD2, RD3	เป็นเอาต์พุตติดต่อกับหลอดแอลอีดี เพื่อเป็นไฟแสดงสถานะ การเปิดปิดวงจรใช้งานในโครค่อน โทรลเลอร์
23	INT1/RD0	รับสัญญาณการอินเตอร์รัปต์ โดยต่อกับวงจรวิเคราะห์ความสูงของพัลส์สัญญาณ
25	PGD	มีหน้าที่สื่อสารกับโปรแกรม Pickit2 เพื่อดาวน์โหลดโปรแกรม
26	PGC	มีหน้าที่สื่อสารกับโปรแกรม Pickit2 เพื่อดาวน์โหลดโปรแกรม
33,34,35, 36,37,38	RES,RE4,RE3, RE2,RE1,RE0	(1) RE5 ต่อกับขา E ของแอลซีดี (2) RE4 ต่อกับขา RS ของแอลซีดี (3) RE3 ต่อกับขา D4 ของแอลซีดี (4) RE2 ต่อกับขา D5 ของแอลซีดี (5) RE1 ต่อกับขา D6 ของแอลซีดี (6) RE0 ต่อกับขา D7 ของแอลซีดี

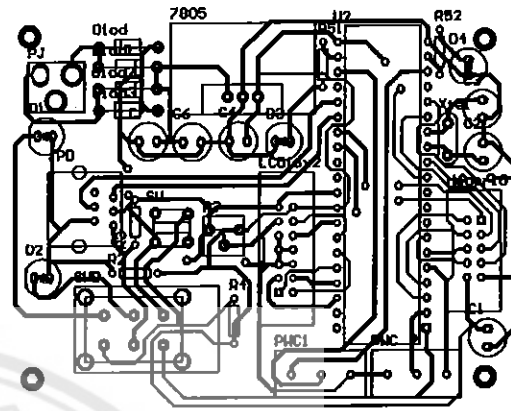
โดยหน้าที่หลักของวงจรใช้งานในโครค่อน โทรลเลอร์มีดังต่อไปนี้คือ

- 1) รับสัญญาณและอ่านจากวงจรวิเคราะห์ความสูงของสัญญาณที่เกิดจากการปรับค่าแรงดัน เพื่อแปลงเป็นข้อมูลดิจิตอลและแสดงเป็นตัวเลข 0-10 โวลต์
- 2) รับสัญญาณลองจิจิกพัลส์จากวงจรวิเคราะห์ความสูงสัญญาณ เพื่อทำการนับพัลส์
- 3) รับสัญญาณจากการกดสวิตช์บนวงจรสวิตช์ปุ่มกด เพื่อใช้งานเมนูต่างๆ
- 4) ส่งสัญญาณต่างๆที่เกิดจากการประมวลผลบนในโครค่อน โทรลเลอร์ เพื่อนำแสดงผลบนหน้าจอแอลซีดีเพื่อแสดงค่าจำนวนการนับพัลส์ และการใช้งานเมนูต่างๆ
- 5) รับโปรแกรมที่เกิดจากการพัฒนาเป็น เชิญไฟล์ ลงบนในโครค่อน โทรลเลอร์

วงจรใช้งานในโครค่อน โทรลเลอร์ ถูกออกแบบตามจรรยาและจัดอุปกรณ์ได้ดังรูปที่ 3.5 ดังต่อไปนี้



(ก) ออกแบบลายทางเดิน



(ข) ตำแหน่งอุปกรณ์ของวงจร

รูปที่ 3.5 การออกแบบวงจรใช้งานในโครค่อน โทรลเลอร์

จากนั้นทำการสร้างวงจรใช้งานจากลายทางเดินข้างต้นและประกอบอุปกรณ์อิเล็กทรอนิกส์ลงบนแผ่นวงจรดังรูปที่ 3.6



รูปที่ 3.6 การประกอบอุปกรณ์อิเล็กทรอนิกส์วงจรใช้งานในโครค่อน โทรลเลอร์

หมายเลข 1 คือ ไมโครคอนโทรลเลอร์ dsPIC30F4011

หมายเลข 2 คือ พอร์ตที่ใช้ติดต่อกับวงจรสวิตช์ปุ่มกด มีทั้งหมด 10 ขา คือ RB1 RB2 RB4 RB5 RF4 RF5 RC13 และ RC14

หมายเลข 3 คือ พอร์ตที่ใช้ติดต่อกับแอลซีดีแสดงผล

หมายเลขอ 4 คือ เทอมินอลสามขา สำหรับเชื่อมต่อสัญญาณแอนาลอกที่มาจากการวิเคราะห์ความสูงพัลส์สัญญาณเข้ากันในโครค่อนโถรเลอร์

หมายเลขอ 5 คือ เทอมินอลสามขา สำหรับรับสัญญาณลอจิกพัลส์ที่มาจากการวิเคราะห์ความสูงพัลส์สัญญาณ

หมายเลขอ 6 คือ ชุกสวิตช์ (Hook switch) ใช้เป็นสวิตช์ในขั้นตอนการโปรแกรมเช็คไฟล์ลงบันในโครค่อนโถรเลอร์

หมายเลขอ 7 คือ สายเชื่อมติดต่อกับสวิตช์สำหรับการกรีเซ็ตโปรแกรม

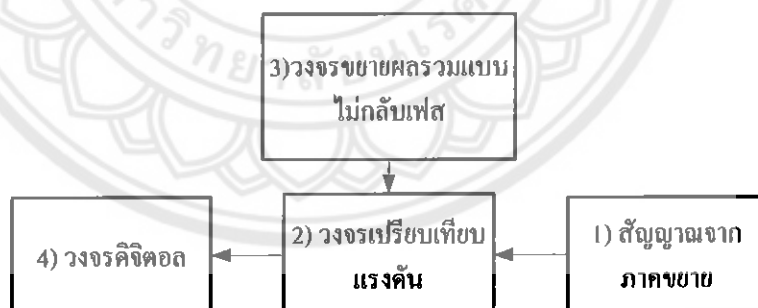
หมายเลขอ 8 คือ หัวเสียบตัวรับสำหรับการโปรแกรมเช็คไฟล์ลงบันในโครค่อนโถรเลอร์

หมายเลขอ 9 คือ หัวเสียบตัวรับต่อ กับแดปเตอร์กระแสตรง 9 ดีซี 16 โวลต์

หมายเลขอ 10 คือ ไอซีเบอร์ LM7805 พร้อมกับตัวขยายความร้อน โดยหน้าที่ของ LM7805 คือการทำให้แรงดันคงที่ตามคุณสมบัติของมันคือคงที่ +5 โวลต์

2) ออคแบบวงจรวิเคราะห์ความสูงของพัลส์สัญญาณ

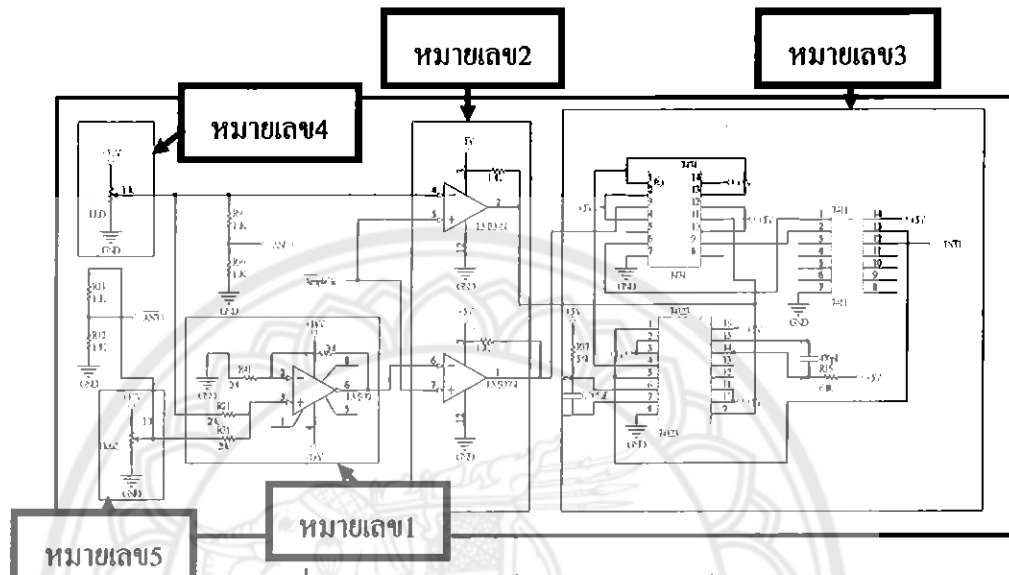
แผนภาพดังรูปที่ 3.7 แสดงการออคแบบวงจรวิเคราะห์ความสูงของสัญญาณ โดยส่วนที่ 1 คือสัญญาณที่มาจากการขยาย ส่วนที่ 2 คือวงจรเปรียบเทียบแรงดันซึ่งจะใช้อปแอมป์เบอร์ LM339 สร้างเป็นวงจรเปรียบเทียบแรงดัน โดยจะเปรียบเทียบแรงดันขาเข้า (สัญญาณที่มาจากการขยาย) กับระดับสัญญาณแรงดันอ้างอิงที่เกิดจากการปรับคิสครีนเนเตอร์ระดับต่ำ หรือปรับค่าเคลต้าอี โดยผลของการเปรียบเทียบจะได้สัญญาณขาออกที่มีระดับลอจิกพัลส์ถูกจำกัดอยู่ที่แรงดันไฟเดี่ยงของอปแอมป์



รูปที่ 3.7 แผนผังการออคแบบวงจรวิเคราะห์ความสูงของสัญญาณ

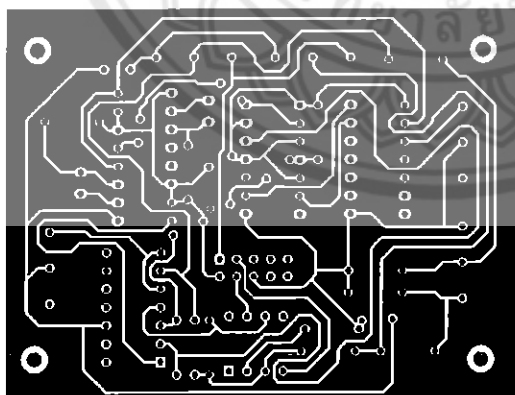
ส่วนที่ 3 คือวงจรขยายผลรวมแบบไม่กลับเฟสโดยใช้อปแอมป์เบอร์ LM741 จะสร้างเป็นวงจรขยายผลรวมแบบไม่กลับเฟส ซึ่งมีหน้าที่รวมสัญญาณที่เกิดจากการปรับคิสครีนเนเตอร์ระดับต่ำ หรือปรับค่าเคลต้าอี ผลลัพธ์จะได้สัญญาณขาออกเป็นบวก ซึ่งจะใช้เป็นระดับแรงดันอ้างอิงให้กับอปแอมป์เบอร์ LM339 สำหรับส่วนที่ 4 คือวงจรคิจitolที่สร้างจากวงจรฟลิปฟล๊อปเบอร์ 7474 วงจรหน่วยเวลาชนิดโนโนสเตเบล มัลติไวเบอร์เบอร์ 74123 และไอซีคิจitolเบอร์ 7411 เพื่อสร้างสัญญาณพัลส์สื่อกลางพัลส์ออกมาน

สำหรับวงจรดังรูปที่ 3.8 เป็นวงจรที่ได้ออกแบบบนสchematic diagram (Schematic Diagram) เพื่อที่จะพัฒนาชิ้นงาน โดยที่หมายเลข 1 คือวงจรขยายผลรวมแบบไม่กลับเฟส หมายเลข 2 คือวงจรเปรียบเทียบแรงดัน หมายเลข 3 คือวงจรคิจิตอล หมายเลข 4 คือดิสครีมิเนเตอร์ระดับต่ำ หมายเลข 5 คือเดลต้าอี

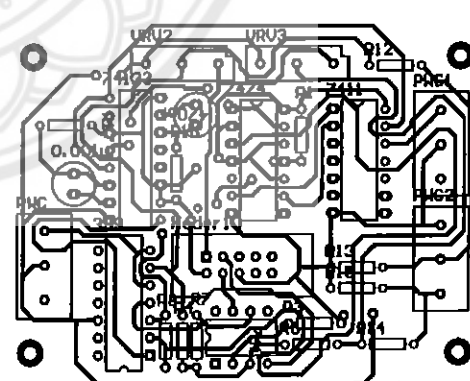


รูปที่ 3.8 วงจรวิเคราะห์ความสูงของพัลส์สัญญาณ

วงจรวิเคราะห์ความสูงของพัลส์สัญญาณ ถูกออกแบบแบบลายวงจรและจัดอุปกรณ์ดังรูปที่ 3.9 ดังนี้



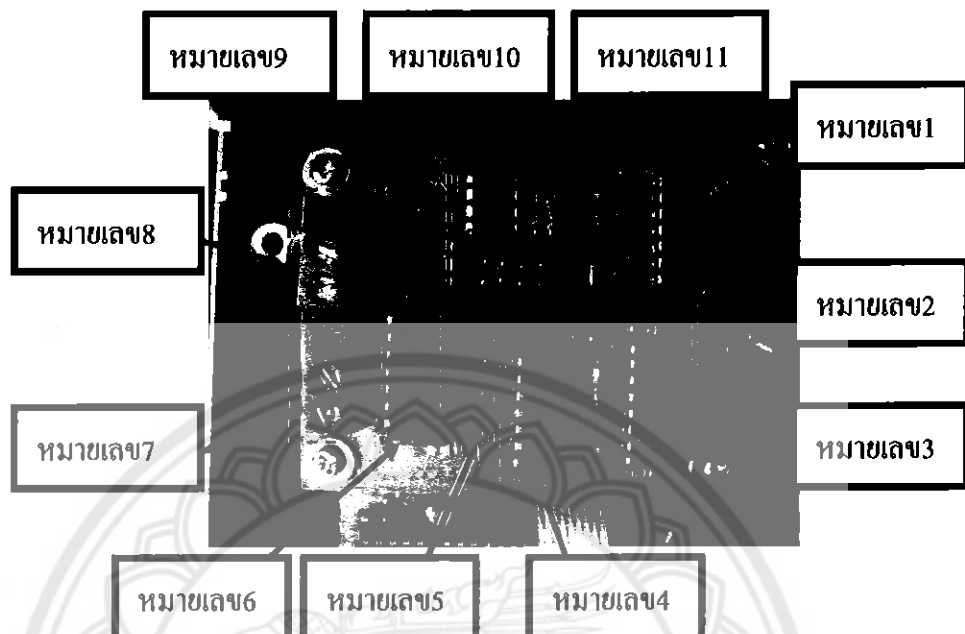
(ก) ออกแบบลายทางคงแตง



(ข) ตำแหน่งอุปกรณ์ของวงจร

รูปที่ 3.9 การออกแบบวงจรวิเคราะห์ความสูงของพัลส์สัญญาณ

จากนั้นทำการสร้างวงจรใช้งานจากลายทองแดงข้างต้นและประกอบอุปกรณ์
อิเล็กทรอนิกส์ลงบนแผ่นวงจรค้างรูปที่ 3.10



รูปที่ 3.10 การประกอบอุปกรณ์อิเล็กทรอนิกส์วงจรviเคราะห์ความสูงของสัญญาณ

หมายเลข 1 คือไอซีเบอร์ LM339 มีหน้าที่เป็นวงจรเปรียบเทียบแรงดัน

หมายเลข 2 คือเทอมินอลสามขาสำหรับรับสัญญาณอินพุตที่มาจากการเชื่อมต่อ

หมายเลข 3,4,6 คือไอซีเบอร์ 74123,7474 และ 7411 โดยทั้งสามเบอร์นี้จะต้องกันเป็นวงจรดิจิตอล
เพื่อทำหน้าที่สร้างสัญญาณลอจิกพัลส์สำหรับเป็นสัญญาณอินเตอร์รัปต์ให้กับ^{รับ}
ในโกรคอนโทรลเลอร์

หมายเลข 5 คือขาเชื่อมต่อสามขา มีไว้สำหรับเชื่อมต่อกับแรงดันปรับค่าได้โดยในโครงงานนี้
เรียกว่า DEL

หมายเลข 7 คือเทอมินอลสามขาสำหรับเป็นสัญญาณลอจิกพัลส์ขาออก

หมายเลข 8 คือเทอมินอลสามขา มีไว้สำหรับเป็นสัญญาณแอนาลอกที่เกิดจากการปรับค่าของ LLD
และ DEL

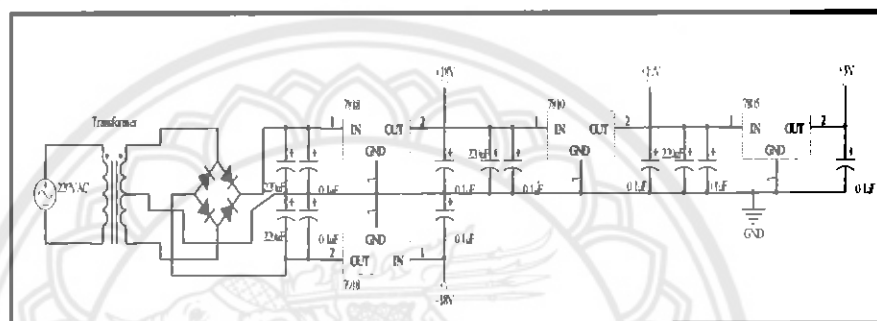
หมายเลข 9 คือไอซีเบอร์ LM741 สำหรับใช้เป็นวงจรรวมสัญญาณแบบไม่กัลบ์เฟส

หมายเลข 10 คือพอร์ตสิบขา เป็นจุดรับแรงดันกระแสตรงสำหรับเป็นไฟเลี้ยงวงจรviเคราะห์ความ
สูงของสัญญาณ

หมายเลข 11 คือพินสามขา มีไว้สำหรับเชื่อมต่อกับตัว้านทานแบบปรับค่าได้โดยในโครงงานนี้
เรียกว่า LLD

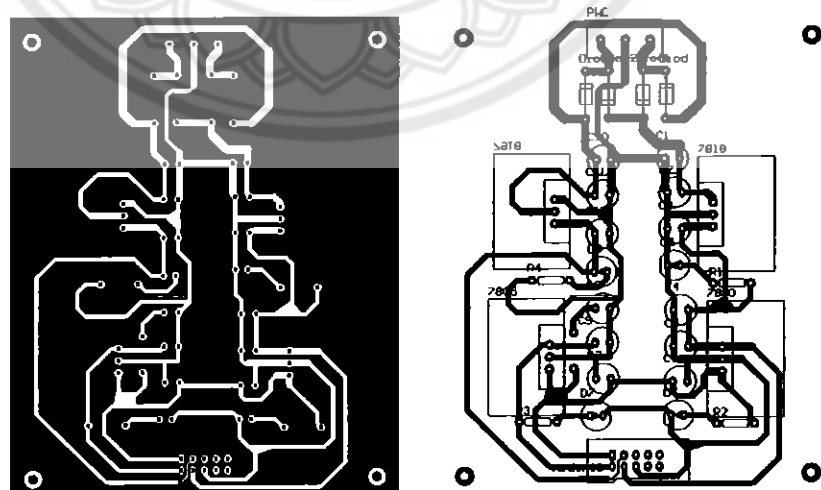
3) ออกรูปแบบวงจรแคลงจ่ายไฟฟ้ากระแสสัมภาร +5 +10 +18 และ -18 โวลต์

หน้าที่เป็นแหล่งจ่ายไฟฟ้าให้กับวงจรต่างๆ วงจรแคลงจ่ายไฟฟ้ากระแสสัมภาร +5 +10 +18 และ -18 โวลต์ ใช้หน้มือแปลงไฟฟ้ากระแสสัมภาร 220-24 โวลต์ ต่อ กับ วงจรเรียงกระแสแบบ บริจจ์ เป็นวงจรเรียงกระแสแบบเต็มคู่ (Full wave rectifier circuit) โดยใช้ตัวเก็บประจุเป็นตัวกรอง และใช้ไอซี LM7805 รักษาระดับแรงดัน 5 โวลต์ ใช้ไอซี LM7810 รักษาระดับแรงดัน 10 โวลต์ ใช้ไอซี LM7818 และ LM7918 รักษาระดับแรงดัน 18 และ -18 โวลต์ สามารถออกแบบวงจรได้ดังรูปที่ 3.11



รูปที่ 3.11 วงจรแคลงจ่ายไฟฟ้ากระแสสัมภาร

วงจรแคลงจ่ายไฟฟ้ากระแสสัมภาร ถูกออกแบบตามวงจรและขั้นตอนการอุดต้องได้ดังรูปที่ 3.12 โดยที่รูป (ก) แสดงลายทางแดงเพื่อที่จะทำเอาไปทำแผ่น PCB และรูป (ข) เป็นการจัดเรียงตำแหน่งอุปกรณ์ เพื่อความสะดวกในการต่อสาย เช่น สายไฟ สายสัญญาณ สายสัญญาณ PLC ฯลฯ

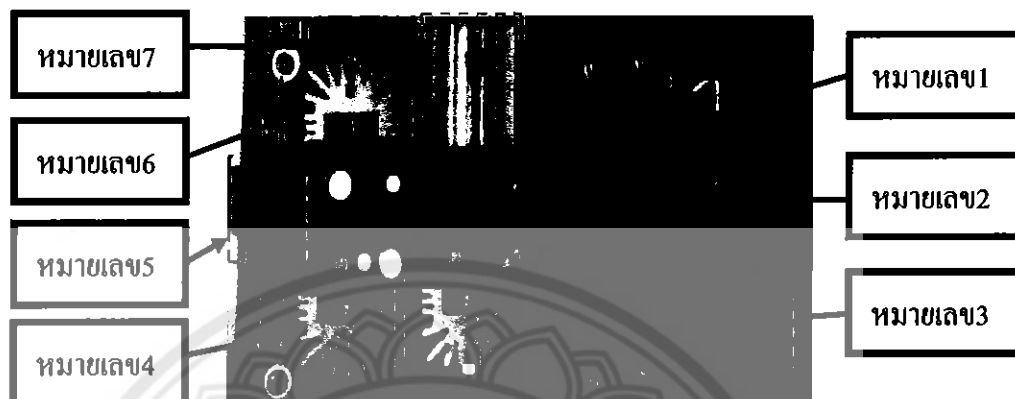


(ก) ออกรูปแบบลายทางแดง

(ข) ตำแหน่งอุปกรณ์

รูปที่ 3.12 การออกแบบวงจรแคลงจ่ายไฟฟ้ากระแสสัมภาร

จากนั้นทำการสร้างวงจรใช้งานจากลักษณะเดงข้างต้นและประกอบอุปกรณ์
อิเล็กทรอนิกส์ลงบนแผ่นวงจรดังรูปที่ 3.13



รูปที่ 3.13 การประกอบอุปกรณ์อิเล็กทรอนิกส์วงจรเหล่านี้สำหรับไฟฟ้ากระแสตรง

หมายเลข 1 คือ ไอโคคเบอร์ N4001 จำนวนสี่ตัวต่อกันเป็นวงจรแบบบานวิธี

หมายเลข 2 คือ หม้อแปลงขนาด 500 มิลลิแอมป์ 220/24 VAC

หมายเลข 3 คือ ไอซีเบอร์ LM7818 พร้อมด้วยตัวระบายความร้อน ไอซีเบอร์นี้มีไว้สำหรับสร้าง
แรงดัน +18 โวลต์ กระแสตรง

หมายเลข 4 คือ ไอซีเบอร์ LM7810 พร้อมด้วยตัวระบายความร้อน ไอซีเบอร์นี้มีไว้สำหรับสร้าง
แรงดัน +10 โวลต์ กระแสตรง

หมายเลข 5 คือ พอร์ตที่นำแรงดันไฟกระแสตรงออกไปใช้งาน

หมายเลข 6 คือ ไอซีเบอร์ LM7805 พร้อมด้วยตัวระบายความร้อน ไอซีเบอร์นี้มีไว้สำหรับสร้าง
แรงดัน +5 โวลต์ กระแสตรง

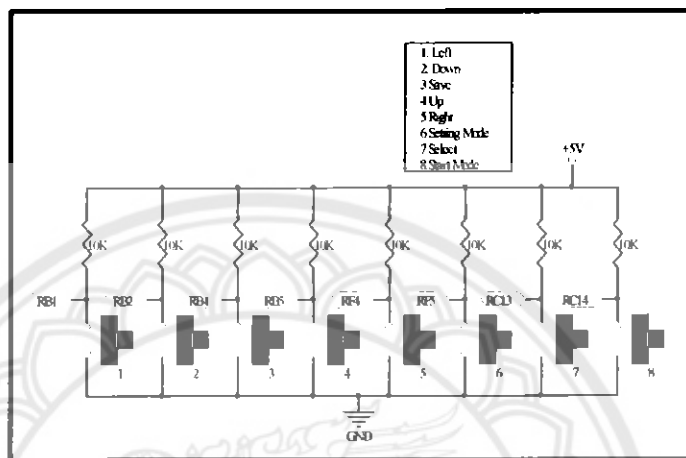
หมายเลข 7 คือ ไอซีเบอร์ LM7918 พร้อมด้วยตัวระบายความร้อน ไอซีเบอร์นี้มีไว้สำหรับสร้าง
แรงดัน -18 โวลต์ กระแสตรง

4) ออกแบบวงจรสวิตช์ปุ่มกดใช้งาน

ภายในวงจร มีสวิตช์หนึ่งตัว สวิตช์ 1 ให้ใช้พอร์ต RB1 RB2 RB4 RB5 RF4 RF5 RC13 และ RC14 ทำหน้าที่ติดต่อกับสวิตช์ โดยสวิตช์ตัวที่ 1 จะติดต่อกับพอร์ต RB1 ของ ในโครคอน โทรลเลอร์ สวิตช์ตัวที่ 2 ติดต่อกับพอร์ต RB2 ของในโครคอน โทรลเลอร์ สวิตช์ตัวที่ 3 ติดต่อกับพอร์ต RB4 ของในโครคอน โทรลเลอร์ สวิตช์ตัวที่ 4 ติดต่อกับพอร์ต RB5 ของ ในโครคอน โทรลเลอร์ สวิตช์ตัวที่ 5 ติดต่อกับพอร์ต RF4 ของในโครคอน โทรลเลอร์ สวิตช์ตัวที่ 6

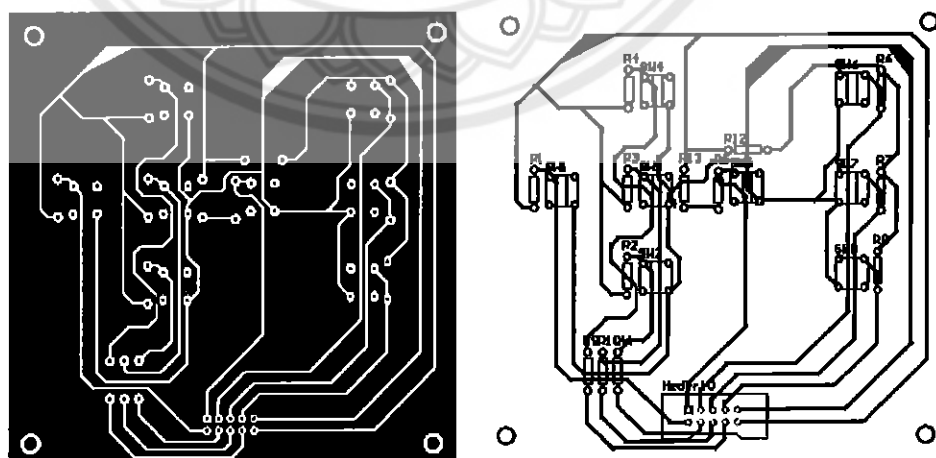
ติดต่อกับพอร์ต RF5 ของไมโครคอนโทรลเลอร์ สวิตช์ตัวที่ 7 ติดต่อกับพอร์ต RC13 ของไมโครคอนโทรลเลอร์ สวิตช์ตัวที่ 8 เป็นติดต่อกับพอร์ต RC14 ของไมโครคอนโทรลเลอร์

สำหรับวงจรดังรูปที่ 3.14 เป็นวงจรที่ได้ออกแบบบนสคีมเมติกໄโคะแกรน (Schematic Diagram) เพื่อที่จะพัฒนาขึ้นงาน



รูปที่ 3.14 การออกแบบวงจรสวิตช์ปุ่มกดใช้งาน

วงจรสวิตช์ปุ่มกดใช้งาน ถูกออกแบบตามจรรยาบงการและจัดอุปกรณ์ได้ดังรูปที่ 3.15 โดยที่รูป (ก) แสดงลายทองแดงของวงจรสวิตช์ปุ่มกดใช้งาน เพื่อที่จะทำเอาไปทำแผ่น PCB และรูป (ข) เป็นการจัดเรียงตำแหน่งอุปกรณ์ของวงจร ซึ่งใช้คูเพื่อความสะดวกในการคุ้มตำแหน่งขณะทำการเชื่อมต่อ ก้าว

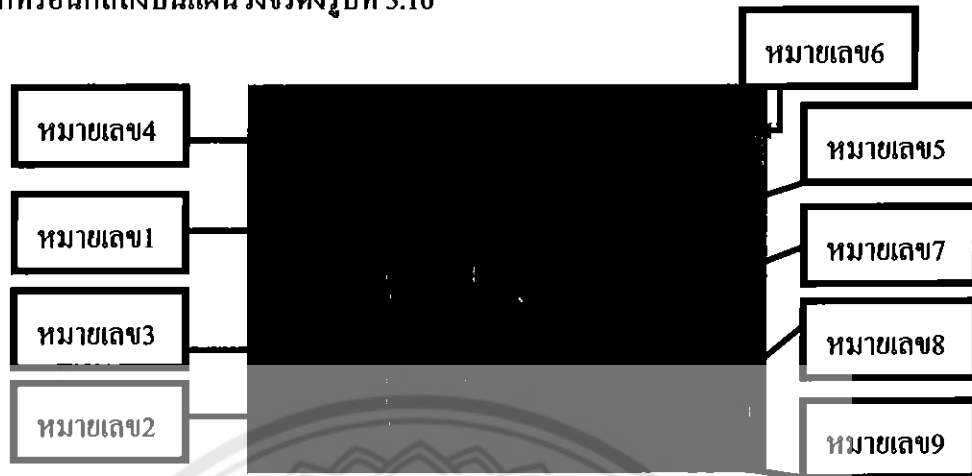


(ก) ออกแบบลายทองแดง

(ข) ตำแหน่งอุปกรณ์

รูปที่ 3.15 การออกแบบวงจรสวิตช์ปุ่มกดใช้งาน

จากนั้นทำการสร้างวงจรใช้งานจากลายทองแดงข้างต้นและประกอบอุปกรณ์
อิเล็กทรอนิกส์ลงบนแผ่นวงจรดังรูปที่ 3.16



รูปที่ 3.16 การประกอบอุปกรณ์อิเล็กทรอนิกส์วงจรสวิตช์ปุ่มกดใช้งาน

หมายเลข 1 หน้าที่คือ เป็นสวิตช์ที่ใช้ในการเลื่อนหลักไปทางซ้ายของการตั้งค่าเวลา

หมายเลข 2 หน้าที่คือ เป็นสวิตช์ที่ใช้ในการลดจำนวนตัวเลขลงของการตั้งค่าเวลา

หมายเลข 3 หน้าที่คือ เป็นสวิตช์ที่ใช้ในการเลือกโหนดต่างๆและเซฟค่าต่างๆที่เกิดจากการตั้งค่า
หรือประมวลผลแล้ว

หมายเลข 4 หน้าที่คือ สวิตช์ที่ใช้ในการเพิ่มจำนวนตัวเลขลงของการตั้งค่าเวลา

หมายเลข 5 หน้าที่คือ เป็นสวิตช์ที่ใช้ในการเลื่อนหลักไปทางขวาของการตั้งค่าเวลา

หมายเลข 6 หน้าที่คือ เป็นโหนดที่ใช้ในการตั้งค่า LLD,DEL และ TIME

หมายเลข 7 หน้าที่คือ เป็นสวิตช์ที่ใช้ในการเลือกตั้งค่าของโหนดต่างๆคือโหนด LLD,DEL,TIME,
START,RECALL,HOME

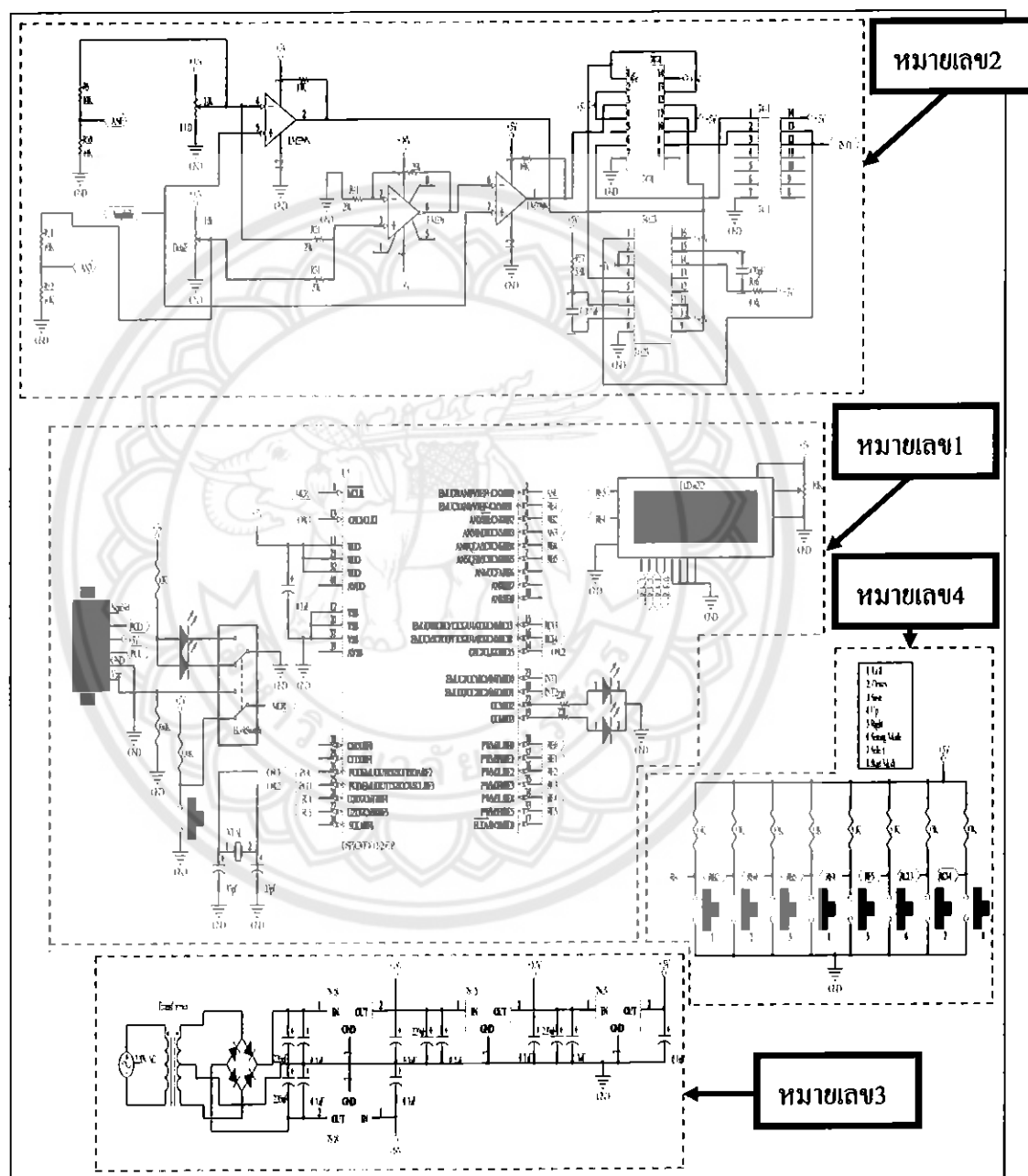
หมายเลข 8 หน้าที่คือ เป็นโหนดที่ใช้ในการตั้งค่า START,RECALL และ HOME

หมายเลข 9 หน้าที่คือ เป็นสวิตช์ที่ใช้ในการกด Reset โปรแกรมบนไมโครคอนโทรลเลอร์

dsPIC30F4011

3.2.2 วงจรรวมเครื่องนับพัลส์รังสีของไทรอยด์อัพเกรด

สำหรับรูปที่ 3.17 แสดงการออกแบบวงจรรวมและการเชื่อมต่อของวงจรทั้ง 4 ส่วนคือ หมายเลขอ 1 คือวงจรใช้งานในโกรกอนโทรลเลอร์ หมายเลขอ 2 คือวงจรไวไฟร์ที่ความสูงของ สัญญาณ หมายเลขอ 3 คือวงจรแหล่งจ่ายไฟฟ้ากระแสตรง หมายเลขอ 4 คือ วงจรสวิตช์ปุ่มกดใช้งาน

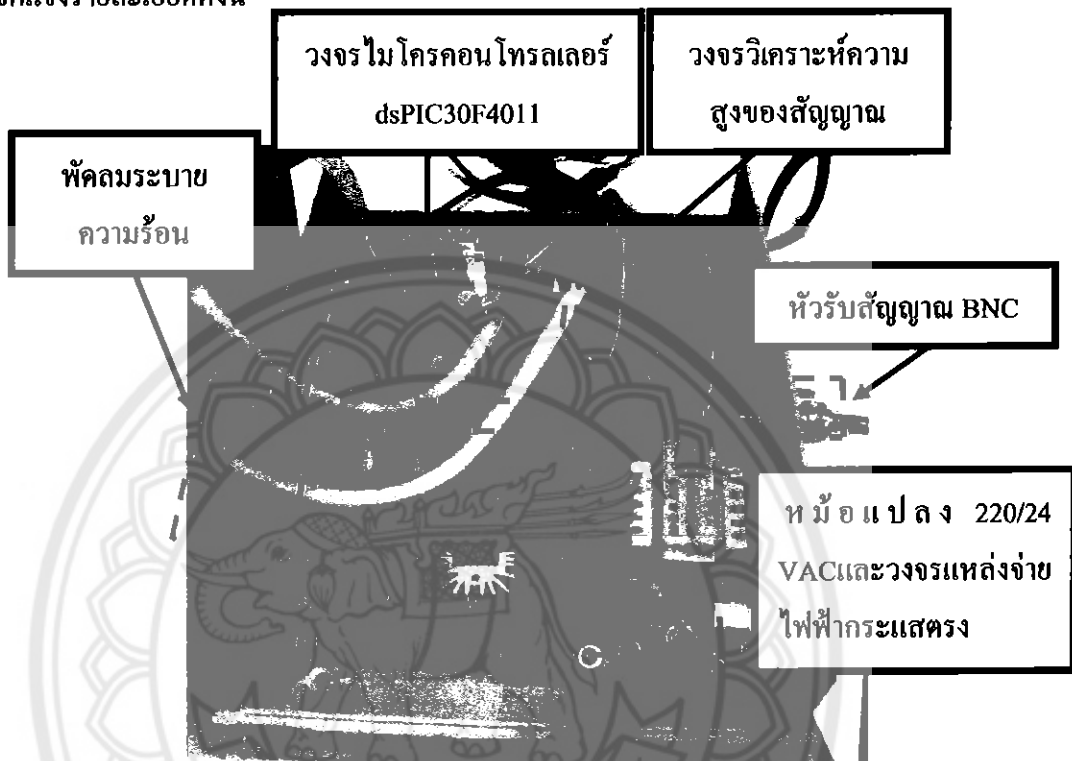


รูปที่ 3.17 วงจรรวมของเครื่องนับพัลส์รังสีของไทรอยค์อัปเทก

ชี้แจงจรทั้ง 4 ส่วนนี้สามารถนำมาระบกอนใส่ก่อนบรรจุข้อมูลงานดังหัวข้อเบื้องต้นที่ 3.2.3

3.2.3 การประกอบเครื่องนับพัลส์รังสีของไทรอยด์อัพเทค

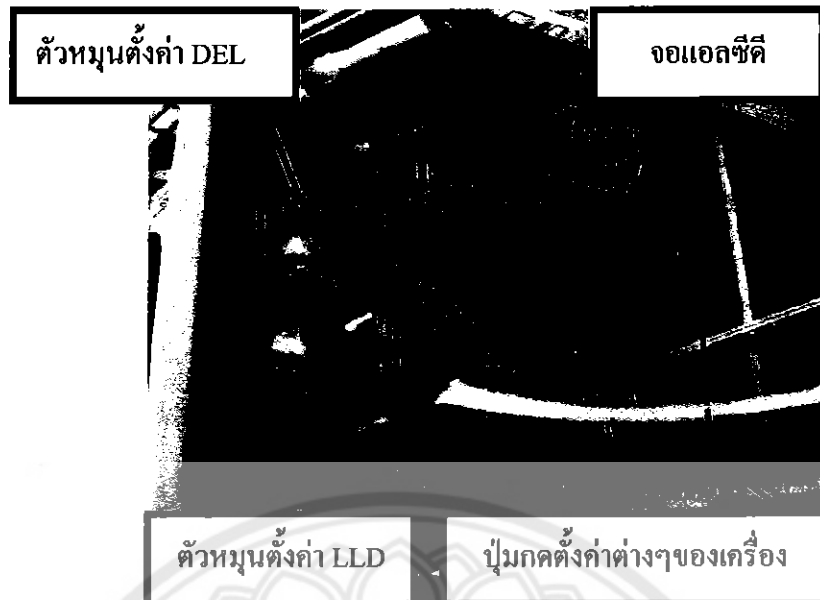
เครื่องนับพัลส์รังสีของไทรอยด์อัพเทคที่ทำขึ้นดังรูปที่ 3.18 ถูกประกอบขึ้น 3 ส่วน คือ ส่วนวงจรวิเคราะห์ความสูงของพัลส์สัญญาณ ส่วนประมวลผลกลาง และส่วนแสดงผล ซึ่งมีการ แยกแข็งรายละเอียดดังนี้



รูปที่ 3.18 วงจรภายในส่วนควบคุม และประมวลผล

ทำการนำวงจรใช้งานในโครค่อน โทรลเลอร์ติดต่อกับวงจรวิเคราะห์ความสูงของ สัญญาณ โดยใช้สายไฟเชื่อมตามที่ได้ทำการออกแบบไว้ และจากนั้นนำสายแพรเชื่อมวงจร แหล่งจ่ายไฟกระแสตรงเข้ากับวงจรวิเคราะห์ความสูงของสัญญาณเพื่อเป็นไฟเลี้ยงให้กับอุป กรณีและไอซีต่างๆ จากนั้น เชื่อมสายสัญญาณที่มานาจากภาคขยายเข้ากับหัวต่อ BNC ที่ติดกับเครื่อง นับพัลส์รังสีของไทรอยด์อัพเทคที่พัฒนาขึ้น

ส่วนกล่องที่นำมาใส่นั้นเป็นกล่องพลาสติกขนาด 17x21x5 (กว้างxสูงxยาว) ซึ่ง เพื่อ นำมาป้องกันสัญญาณรบกวนจากสภาพภายนอก



รูปที่ 3.19 วงจรภายในส่วนตั้งค่าและแสดงผล

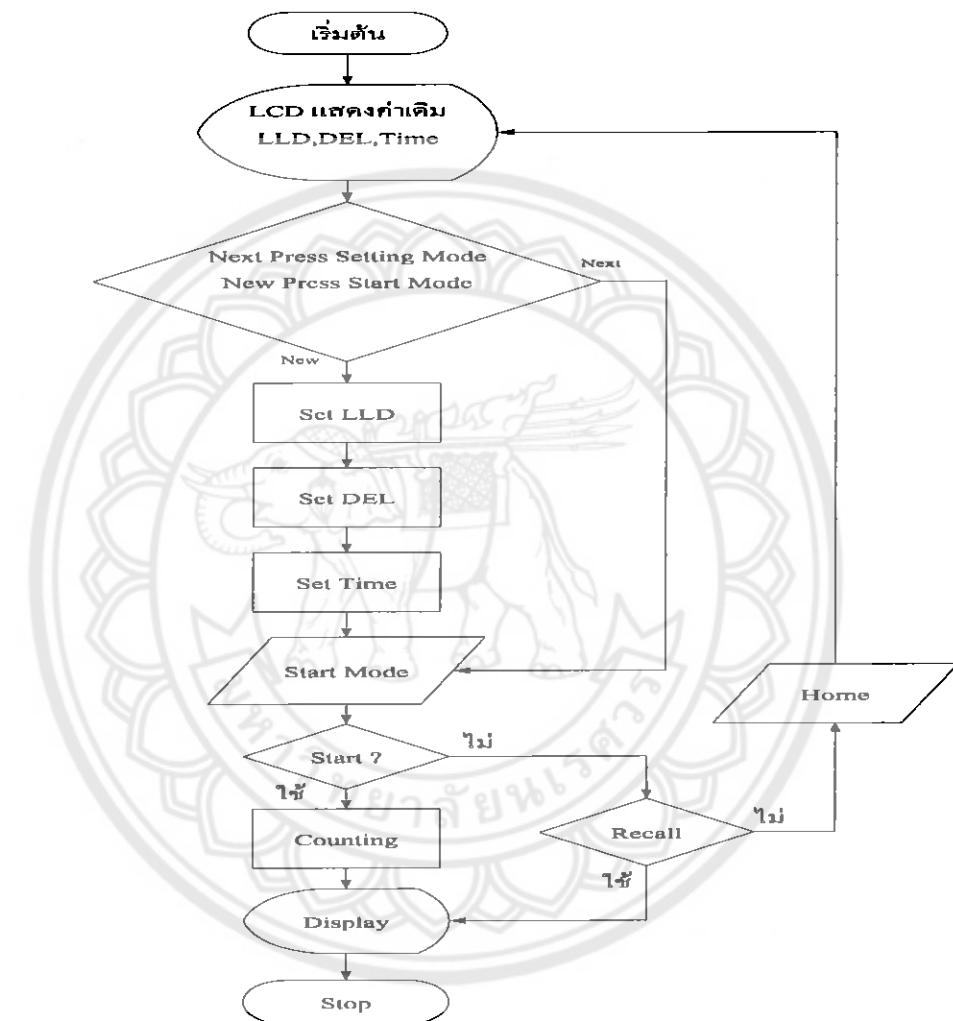
สำหรับรูปที่ 3.19 เป็นส่วนฝากล่อง โดยฝากล่องนี้จะประกอบไปด้วยวงจรสวิตช์ปุ่มกดใช้งาน จอยแอลซีดี และปุ่มปรับ LLD,DEL ทั้งนี้ เพื่อความสะดวกสบายในการใช้งานจึงนำมาติดตั้งดังรูปที่ 3.20 ดังนี้



รูปที่ 3.20 ส่วนประกอบภายในของเครื่องนับพัลส์รังสีของไทรอยด์อัพเทก

3.3 ออกรอบระบบทางด้านซอฟต์แวร์

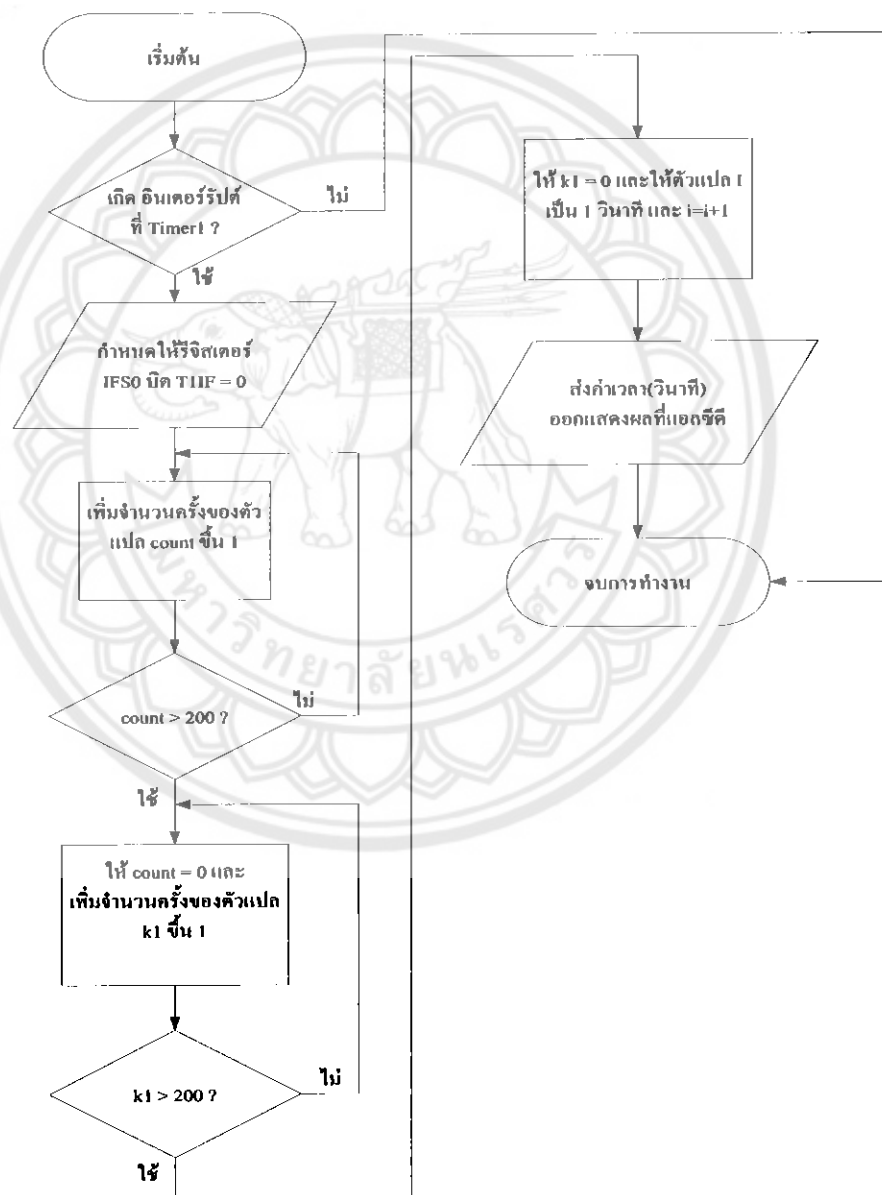
การพัฒนาซอฟต์แวร์ จำเป็นที่จะต้องมีแผนผังการทำงานของโปรแกรม ซึ่งจะเป็นประโยชน์อย่างมากสำหรับการพัฒนาโปรแกรม โดยใช้โปรแกรมเขียนพีแล็บ ไอเดีย (MPLAB IDE) และลดความซับซ้อนในกระบวนการคิดของผู้พัฒนาโปรแกรมด้วย ซึ่งสามารถอธิบายได้ดังต่อไปนี้



รูปที่ 3.21 แผนผังการควบคุมระบบเครื่องนับพัลส์รังสีของไทรอยด์อัพเทก

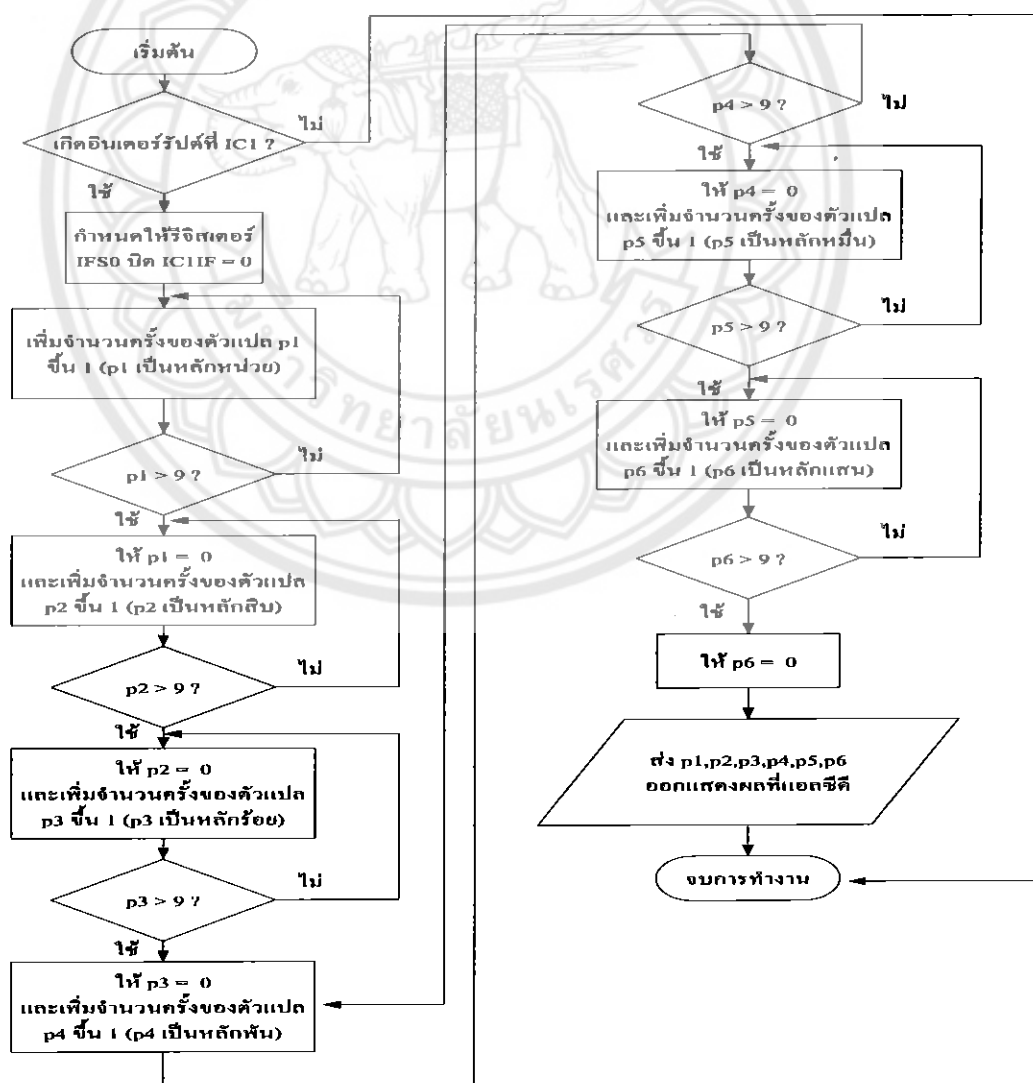
การทำงานของระบบดังรูปที่ 3.21 จากเปิดเครื่องนับพัลส์รังสีของไทรอยบค์อัพเทก แล้วหน้างอแอลซีดิจิตแสดงค่าตัวเลข LLD,DEL และ Time ที่ได้ตั้งค่าเอาไว้ หลังจากนั้นหน้างอจะแสดงข้อความคือ “Next Press Setting Mode” และ “New Press Start Mode” ซึ่งหมายความว่า จะตั้งค่าตัวแปลง LLD,DEL,Time ใหม่หรือไม่ ถ้าไม่ตั้งค่าใหม่ก็ไปที่ Start Mode ได้เลย หลังจากเข้า Start Mode ก็สามารถเริมนับพัลส์สัญญาณได้เลขโดยเลือก Start แต่ถ้าไม่ต้องการเลือก Start ก็สามารถเลือก Recall หรือ Home ได้ตามลำดับ

สำหรับรูปที่ 3.22 เป็นการทำงานของโปรแกรมฐานเวลาในหน่วยวินาที โดยใช้ อินเตอร์รัปต์ของ Timer1 เป็นตัวสร้างฐานเวลา นั่นคือ เมื่อมีคำสั่งให้เปิดใช้งานอินเตอร์รัปต์ของ Timer1 จะต้องเปลี่ยนคำสั่งให้บิต T1IF ของรีจิสเตอร์ FISO เป็นค่าศูนย์ก่อน จากนั้นก็เพิ่มค่าของ ตัวแปร count ขึ้นหนึ่ง ถ้าค่าของตัวแปร count มา กกว่าสองร้อย สั่งให้ตัวแปร count มีค่าเป็นศูนย์ และให้เพิ่มค่าของตัวแปร k1 ขึ้นหนึ่ง ถ้าค่าของตัวแปร k1 มีค่ามากกว่าสองร้อย ให้ตัวแปร i ซึ่ง แทนเวลาเป็นวินาทีมีค่าเป็น 1 วินาที และวนรอบการสร้างฐานเวลา เช่นนี้ไปเรื่อยๆ จากนั้นก็ส่งค่า ตัวแปร i ออกแสดงผลผ่านหน้าจอแล็ปท็อป



รูปที่ 3.22 แผนผังการทำงานโปรแกรมฐานเวลาหน่วยวินาที

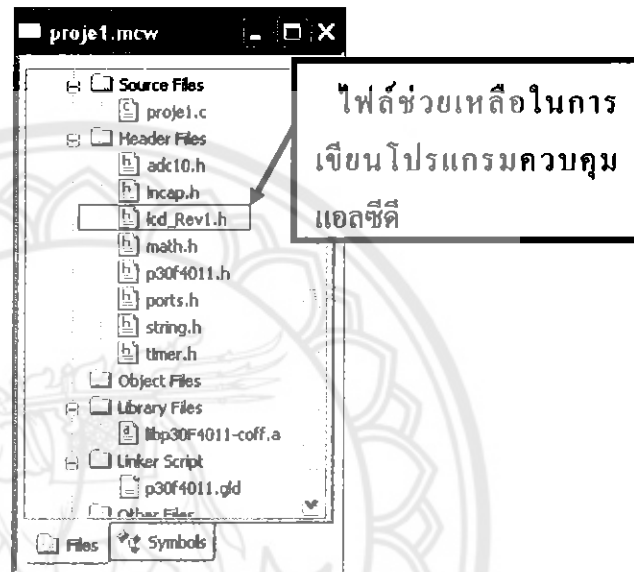
การทำงานของโปรแกรมดังรูปที่ 3.23 เป็นการสร้างโปรแกรมการนับสัญญาณโดยการใช้อินเตอร์รัจสีกุลตรวจสอบจับสัญญาณภายนอก (Input Capture) ของไมโครคอนโทรลเลอร์ dsPIC30F4011 โดยขั้นตอนแรกต้องกำหนดค่าบิตชื่อ IC1IF ของรีจิสเตอร์ FISO ให้เป็นศูนย์เสยก่อนจากนั้น เพิ่มจำนวนครั้งของตัวแปลง p1 (p1 แทนหลักหน่วย) ขึ้นหนึ่ง ถ้า p1 มีค่ามากกว่า 9 ให้ p1 มีค่าเป็น 0 และเพิ่มค่า p2 (p2 แทนหลักสิบ) ขึ้นหนึ่ง ถ้า p2 มีค่ามากกว่า 9 ให้ p2 มีค่าเป็น 0 และเพิ่มค่า p3 (p3 แทนหลักร้อย) ขึ้นหนึ่ง ถ้า p3 มีค่ามากกว่า 9 สั่งให้ p3 มีค่าเป็น 0 และเพิ่มค่า p4 (p4 แทนหลักพัน) ขึ้นหนึ่ง ถ้า p4 มีค่ามากกว่า 9 สั่งให้ p4 มีค่าเป็น 0 และเพิ่มค่า p5 (p5 แทนหลักหมื่น) ขึ้นหนึ่ง ถ้าค่าตัวแปลง p5 มีค่ามากกว่า 9 สั่งให้ p5 มีค่าเป็น 0 และเพิ่มค่า p6 (p6 แทนหลักแสน) ขึ้นหนึ่ง โดยถ้า p6 มีค่ามากกว่า 9 เปลี่ยนคำสั่งให้ p6 มีค่าเป็นศูนย์ และว่างรอบการทำงานของโปรแกรม เช่นนี้ไปเรื่อยๆ แล้วส่งค่าตัวแปลง p1,p2,p3,p4,p5,p6 และผลลัพธ์ออกหน้าจอแสดงผลซึ่งเป็นอัตราการทำงานของโปรแกรม



รูปที่ 3.23 แผนผังการทำงานของโปรแกรมนับสัญญาณพัลส์

3.3.1 การเขียนโปรแกรมควบคุมการแสดงผลของทางจอแสดงผลแอลซีดี

ในการใช้งานจอแสดงผลแอลซีดีจำเป็นต้องมีไฟล์ไลบรารีของจอแสดงผลแบบ 16 ตัวอักษรแบบ 2 บรรทัด เพื่อใช้งานฟังก์ชันต่างๆของจอแสดงผลแอลซีดี ในโครงการนี้ใช้ไฟล์ヘド デօර์ที่ชื่อ “lcd_Rev1.h” ดังรูปที่ 3.24 ส่วนตัวอย่างการเรียกใช้งานฟังก์ชันสามารถดูได้ในภาคผนวก ภู



รูปที่ 3.24 ไฟล์ヘด デօර์ “lcd_Rev1.h”

ซึ่งในการใช้งานนี้จะต้องมีการระบุตำแหน่งการแสดงผลของจอแสดงผลแอลซีดีถูกระบุเป็นตัวเลขฐาน 16 โดยแสดงดังตารางที่ 3.2

ตารางที่ 3.2 การระบุตำแหน่งของจอแอลซีดีแสดงผล

ตำแหน่งที่	การระบุตำแหน่งของบรรทัดที่ 1	การระบุตำแหน่งของบรรทัดที่ 2
1	0x80	0xC0
2	0x81	0xC1
3	0x82	0xC2
4	0x83	0xC3
5	0x84	0xC4
6	0x85	0xC5
7	0x86	0xC6
8	0x87	0xC7
9	0x88	0xC8

ตารางที่ 3.2 การระบุคำແໜ່ງຂອງຈອແອລເຊື້ອ (ຕ່ອ)

ຕຳແໜ່ງທີ່	ກາຮະບູຕຳແໜ່ງຂອງບຣກັດທີ່ 1	ກາຮະບູຕຳແໜ່ງຂອງບຣກັດທີ່ 2
10	0x89	0xC9
11	0x8A	0xCA
12	0x8B	0xCB
13	0x8C	0xCC
14	0x8D	0xCD
15	0x8E	0xCE
16	0x8F	0xCF

ການໃຊ້ຈານຟົງກໍ່ຂັນສໍາຫຼັບໂຄງງານນີ້ມີ 3 ພົງກໍ່ຂັນ ອື່ອ lcd_command, lcd_puts ແລະ inttolcd ຊຶ່ງທີ່ສາມາພິ້ວມາຮັບສ່າງເພື່ອໃຊ້ໄດ້ດັ່ງຕ່ອໄປນີ້

1) ກາຣຄລອງໃຊ້ຈານຟົງກໍ່ຂັນ lcd_command ສາມາຮັບສ່າງເພື່ອໃຊ້ໄຈ້ໂຄບນີ້ແບ່ນດັ່ງນີ້

ກ 1) lcd_command (unsigned char com)

ຂ 1) ພາຣາມີເຕອ້ວ໌ com ອື່ອ ກາຣຮັບຂໍ້ມູນລົບນາດ 1 ໄບຕໍ່ ດ້ວຍທອດໄປຢັ້ງ ໂນດູລແອລເຊື້ອ
ສ່ວນຂອງຄໍາສັ່ງທີ່ໃຊ້ໃນໂຄງງານນີ້ຈະໃຊ້ຕາມຕາງໆທີ່ 3.2

ตารางที่ 3.3 ຜຸດຄໍາສັ່ງຄວາມຄຸນການທໍາງານຂອງ ໂນດູລແອລເຊື້ອ

ຄໍາສັ່ງການທໍາງານ(LCD Command)	ຄໍາທີ່ສັ່ງໃຫ້ກັບໂນດູລ LCD(Hex)
LCD On, & cursor blink	0x0F

ຈາກຕາງທີ່ 3.3 ສາມາຮັບສ່າງເພື່ອໃຊ້ໄດ້ດັ່ງນີ້

ກ 1) lcd_command(0x86); //ຮະບູຕຳແໜ່ງ

ຂ 1) lcd_command(0x0F); //ສັ່ງໃຫ້ຕຳແໜ່ງທີ່ 0x86 ບນຈອແອລເຊື້ອກະພວົບ

2) ກາຣຄລອງໃຊ້ຟົງກໍ່ຂັນ lcd_puts ສາມາຮັບສ່າງເພື່ອໃຊ້ໄຈ້ໂຄບນີ້ແບ່ນດັ່ງນີ້

ກ 2) lcd_puts(unsigned char line, "com")

ຂ 2) ພາຣາມີເຕອ້ວ໌ line ອື່ອກາຮະບູຕຳແໜ່ງບນ ໂນດູລແອລເຊື້ອ

ກ 2) ພາຣາມີເຕອ້ວ໌ com ອື່ອກາຮະບູຕຳແໜ່ງບນ ໂນດູລແອລເຊື້ອ

จากรูปแบบของฟังก์ชันใช้งานของ lcd_puts สามารถเขียนรหัสโปรแกรมได้ดังนี้

```

lcd_clear();           //คำสั่งเคลียร์หน้าจอของแอลซีดี
lcd_puts(LINE1, "Press Select") //บรรทัดที่หนึ่งแสดงข้อความ " Press Select"
lcd_puts(LINE2, "1.LLD 2.DEL"); //บรรทัดที่สองแสดงข้อความ " 1.LLD 2.DEL"
lcd_delay(1000);       //หน่วงเวลาหนึ่งวินาที
lcd_clear();           //คำสั่งเคลียร์หน้าจอของแอลซีดี
lcd_puts(LINE1, "3.Time 4.Start"); //บรรทัดที่หนึ่งแสดงข้อความ " 3.Time 4.Start"
lcd_delay(1000);       //หน่วงเวลาการแสดงผลหนึ่งวินาที

```

3) การทดลองใช้ฟังก์ชัน inttolcd สามารถเรียกใช้งานโดยมีรูปแบบดังนี้

ก 3) inttolcd(unsigned char line_sel,int value)

ข 3) พารามิเตอร์ line_sel คือการรับข้อมูลคำสั่งขนาดหนึ่งไปต์ ถ่ายทอดไปยังไมคุล
แอลซีดี เพื่อกำหนดแอคเครสเริ่มต้นให้กับอุปกรณ์ที่จะส่งไป

ค 3) พารามิเตอร์ value คือการรับข้อมูลจำนวนเต็มที่ต้องการนำไปแสดงที่แอลซีดี

จากรูปแบบของฟังก์ชันใช้งานของ inttolcd สามารถเขียนรหัสโปรแกรมได้ดังนี้

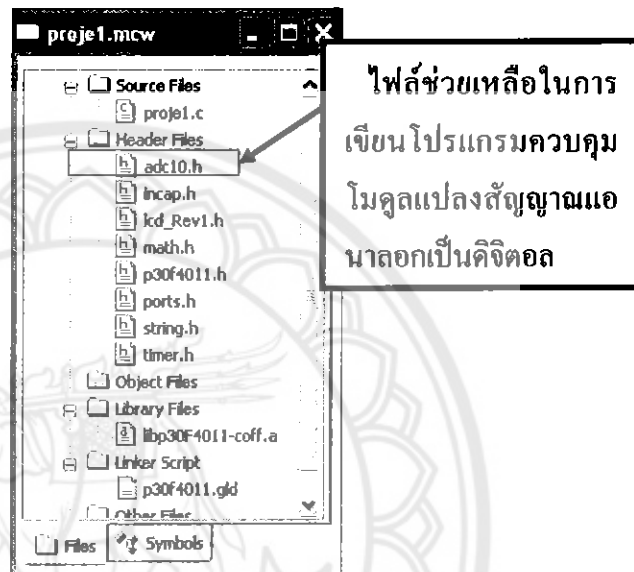
```

lcd_clear();           //คำสั่งเคลียร์หน้าจอแอลซีดี
lcd_puts(LINE1, "LLD; Volt"); //แสดงข้อความ " LLD; Volt" บนบรรทัดที่หนึ่ง
lcd_puts(LINE2, "ULD; Volt"); //แสดงข้อความ " ULD; Volt" บนบรรทัดที่สอง
inttolcd(0x85,8);      //แสดงบนหน้าจอแอลซีดีตำแหน่งที่ 0x85
inttolcd(0xC5,10);     //แสดงบนหน้าจอแอลซีดีตำแหน่งที่ 0xC5
lcd_delay(1000);        //หน่วงเวลาการแสดงผลหนึ่งวินาที

```

3.3.2 การเขียนโปรแกรมการแปลงแอนalog เป็นดิจิตอล 10 บิต

ในการใช้งานไมโครแปลงแอนalog เป็นดิจิตอลจำเป็นต้องเรียกไฟล์ไลบรารีของไมโครแปลงแอนalog เป็นดิจิตอลเพื่อใช้งานฟังก์ชันต่างๆ ในไฟล์นั้น ในโครงการนี้ใช้ไฟล์เอกสารที่ชื่อ “adc10.h” ดังรูปที่ 3.25 โดยไม่ได้รวมไฟล์เอกสาร dsPIC30F4011 ซึ่งค่าที่ได้จากการแปลงจะเป็นจำนวนเต็ม 0 ถึง 1023 ตามสัดส่วนกับแรงคันอินพุต



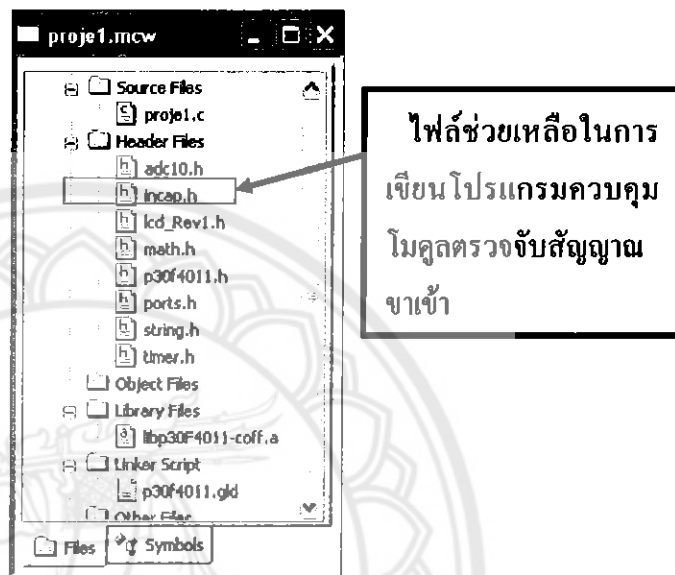
รูปที่ 3.25 ไฟล์เอกสาร “adc10.h”

โดยมีหลักการการเขียนโปรแกรมใช้ไมโครการแปลงสัญญาณแอนalog เป็นดิจิตอลดังนี้

```
int main(void)
{
    unsigned int result;
    While(1){ //วนรอบการทำงานไม่รู้จบ
        ADCON1bits.SAMP = 1; //อ่านเอยเมลให้เกิดการสุ่มสัญญาณ
        while(!ADCON1bits.SAMP); //รอนกว่าการสุ่มสัญญาณจะเสร็จสิ้น
        ADCON1bits.DONE = 0; //การแปลงสัญญาณยังไม่เสร็จสิ้น
        while(!ADCON1bits.DONE); //รอนกว่าการแปลงสัญญาณจะเสร็จ
        ConvertADC10();
        while(BusyADC10());
        result = ReadADC10(0); //เก็บค่าข้อมูลที่ได้จากการแปลง
    }
}
```

3.3.3 การเขียนโปรแกรมใช้โมดูลตรวจจับสัญญาณอินพุตบน dsPIC30F4011

ในส่วนของการเขียนใช้โมดูลตรวจจับสัญญาณอินพุตของไมโครคอนโทรลเลอร์ (เบอร์ dsPIC30F4011) นั้นจำเป็นต้องผูกขาดเครื่องไฟล์ที่ชื่อ “incap.h” ดังรูปที่ 3.26 เข้ากับไฟล์โปรแกรม และในส่วนของการเขียนโปรแกรมนั้น กำหนดค่าในรีจิสเตอร์ที่เกี่ยวข้องดังต่อไปนี้



รูปที่ 3.26 ไฟล์ヘดเดอร์ “incap.h”

สามารถพัฒนาโปรแกรมได้ดังต่อไปนี้

```
void IC1_init()
{
    INTCON1bits.NSTDIS = 0; //ขอนให้เกิดอินเตอร์รัปต์ช้อน
    IFS0bits.IC1IF = 0; //ไม่ให้มีการแสดงสถานะการอินเตอร์รัปต์
    IEC0bits.IC1IE = 0; //ปิดการเกิดอินเตอร์รัปต์แบบ CN
    IPC0bits.IC1IP = 0b001; //ระดับความสำคัญของการเกิดแบบ CN เท่ากับหนึ่ง
    IC1ICONbits.ICSIDL = 1; //ให้ไทรเมอร์ตัวที่สามทำงานร่วมกับโหมดนี้
    IC1ICONbits.ICTMR = 0; //ให้ไทรเมอร์ตัวที่สามทำงานร่วมกับโหมดนี้
    IC1ICONbits.ICI = 0b00;
    IC1ICONbits.ICOV = 0;
    IC1ICONbits.ICBNE = 0;
    IC1ICONbits.ICM = 0b000; //ปิดการทำงานโหมดตรวจจับสัญญาณอินพุต
    T3CONbits.TON = 1; //สั่งให้ไทรเมอร์ตัวที่สามทำงาน
}
```

3.4 การทดลองเครื่องนับพัลส์รังสีของไทรอยด์อัพเทก

เพื่อทดลองการทำงานและประสิทธิภาพของเครื่องนับพัลส์รังสีของไทรอยด์อัพเทกที่พัฒนาขึ้น โดยได้แบ่งการทดลองออกเป็น 4 ส่วน คือ 1) การทดลองการทำงานของเมนูนนเครื่องนับพัลส์รังสีของไทรอยด์อัพเทก 2) การทดลองโปรแกรมสร้างฐานเวลาในหน่วยวินาทีและโปรแกรมนับจำนวนสัญญาณอิกพัลส์ที่ทำงานบนไมโครคอนโทรลเลอร์ 3) การทดลองประสิทธิภาพเครื่องนับพัลส์รังสีที่พัฒนาขึ้นร่วมกับผลึกหัวครังสีไอโอดีน [NaI(Tl)] 4) การทดลองประสิทธิภาพเครื่องนับพัลส์รังสีที่พัฒนาขึ้นร่วมกับผลึกหัวครังสีเชีบมีโอ [CsI(Tl)] และหัวข้อสุดท้ายจะเป็นการวิเคราะห์ผลการทดลอง ซึ่งรายละเอียดของผลการทดสอบจะอยู่ในบทที่ 4 ของโครงงาน

3.5 สรุปและจัดทำรูปเล่นปริญญา呢พนธ

สำหรับในหัวข้อนี้จะเป็นการนำผลการออกแบบและผลการทดลองมาทำการวิเคราะห์และสรุปผล ซึ่งเนื้อหาจะประกอบไปด้วยหัวข้อต่างๆดังต่อไปนี้ 1) สรุป 2) แนวทางในการพัฒนาโครงงาน 3) ปัญหาและวิธีการแก้ไขปัญหา โดยรายละเอียดจะกล่าวอีกในบทที่ 5 ของโครงงาน

บทที่ 4

การทดลองเครื่องนับพัลส์รังสีของไทรอยด์อัพเทค

ในการทดลองนี้ได้แบ่งการทดลองออกเป็น 4 ส่วน คือ 4.1) การทดลองการทำงานของเมนูบนเครื่องนับพัลส์รังสีของไทรอยด์อัพเทค 4.2) การทดลองโปรแกรมสร้างฐานเวลาในหน่วยวินาทีและโปรแกรมนับจำนวนสัญญาณอิจิพัลส์ที่ทำงานบนไมโครคอนโทรลเลอร์ 4.3) การทดลองประสิทธิภาพเครื่องนับพัลส์รังสีที่พัฒนาขึ้นร่วมกับหัววัดรังสีไซนิคผลึก NaI(Tl) 4.4) การทดลองประสิทธิภาพเครื่องนับพัลส์รังสีที่พัฒนาขึ้นร่วมกับหัววัดรังสีไซนิคผลึก CsI(Tl) และหัวข้อสุดท้ายคือ 4.5) วิเคราะห์ผลการทดลอง

4.1 การทดลองการทำงานของเมนูบนเครื่องนับพัลส์รังสีของไทรอยด์อัพเทค

การทดลองในหัวข้อนี้ จะทำการแบ่งการทดลองเมนูบนเครื่องนับพัลส์รังสีของไทรอยด์อัพเทค คือ การทดลองหน้าหลักของเมนู การทดลอง Setting Mode และ การทดลอง Start Mode ซึ่งสามารถทดลองได้ดังนี้

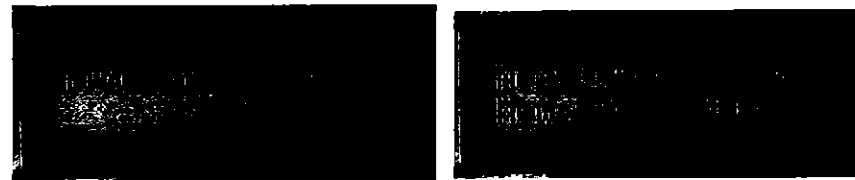
4.1.1 การทดลองหน้าหลักของเมนูบนเครื่องนับพัลส์รังสีของไทรอยด์อัพเทค

ในส่วนนี้จะเป็นการแสดงค่าตั้งต้นต่างๆที่ได้มีการปรับค่าเอาไว้แล้ว โดยจะมีการแสดงผลลับบนหน้าทั้งหมดสามส่วนโดยวนรอบการทำงานดังนี้



รูปที่ 4.1 หน้าที่หนึ่งของหน้าหลักเมนู

จากรูปที่ 4.1 จะเป็นการแสดงค่าที่เกิดจาก การตั้งค่า LLD และ ULD โดยค่าความละเอียดของตัวเลขจะเป็นพศนิยมสองตำแหน่งเพื่อให้ได้ค่าความละเอียดของการนับวัด โดย LLD คือ ค่าอ้างอิงระดับต่ำ และ DEL ค่าความกว้างของช่องพลังงานที่ต้องการจะนับวัดหรือเรียกว่า Window นั้นเอง โดยทั้งสองค่ามีหน่วยเป็นโวลต์



(ก) หน้าจอที่สอง

(ข) หน้าจอที่สาม

รูปที่ 4.2 เป็นหน้าที่สองและหน้าที่สามของหน้าหลักเมนู

จากรูปที่ 4.2 รูป (ก) จะเป็นการแสดงค่าเวลาในการนับจำนวนพัลส์ของรังสีโดยมีหน่วยเป็นวินาที และรูป (ข) เป็นการแสดงข้อความซึ่งมีความหมายดังต่อไปนี้คือ บรรทัดที่หนึ่งบนหน้าจอแสดงชื่อความหมายคือ กรุณากด Start Mode ถ้าค่า LLD,DEL และ Time ถูกต้องแล้ว และในบรรทัดที่สองความหมายคือ ทำการตั้งค่าตัวแปร LLD,DEL และ Time ใหม่

4.1.2 การทดลองเมนู Setting Mode

โดยแบ่งการปฏิบัติออกเป็น 7 ขั้นตอนดังนี้

- 1) จากหน้าหลักของเมนูในหัวข้อที่กล่าวมาข้างต้น ทำการกดปุ่มหมายเลขหรือเรียกว่าปุ่ม Setting Mode ค้างไว้จนกว่าจะเปลี่ยนจากหน้าหลักของเมนูไปเป็นหน้าจอดังรูปที่ 4.3 แล้วปล่อยการกด



(ก) หน้าจอหนึ่งใน Setting Mode

(ข) หน้าจอสองใน Setting Mode

รูปที่ 4.3 แสดงผลภาพใน Setting Mode

- 2) ทำการตั้งค่า LLD โดยให้กดปุ่มสวิตช์หมายเลขเจ็ดหรือเรียกว่าปุ่ม Select ค้างไว้จนกว่าจะเปลี่ยนหน้าจอเป็นดังรูปที่ 4.4



รูปที่ 4.4 หน้าจอการตั้งค่า LLD

3) ทำการกดปุ่มหมายเลขสามหรือที่เรียกว่าปุ่ม Save จะปรากฏหน้าจอดังรูปที่ 4.5 ด้านซ้ายมือแล้วทำการหมุนปรับค่า LLD ที่เป็นตัวหมุนลีน้ำเงินจากตัวหมุนปรับค่าดังรูปที่ 4.6 เมื่อทำการปรับค่าเสร็จก็กดปุ่มหมายเลขสามหรือที่เรียกว่าปุ่ม Save อีกครั้ง



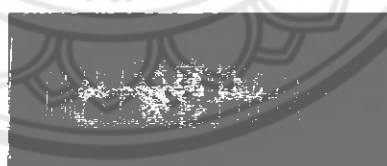
รูปที่ 4.5 หน้าจอภาษาไทยในโหมดการตั้งค่า LLD



รูปที่ 4.6 ตัวหมุนปรับค่า LLD และ DEL

4) ทำการตั้งค่า DEL ด้วยปุ่มหมุนสีแดง โดยหลักการตั้งค่าเหมือนกับการตั้งค่า LLD ทุกประการ

5) ทำการตั้งค่า Time โดยให้กดปุ่มสวิตช์หมายเลขเจ็ดหรือเรียกว่าปุ่ม Select ค้างไว้จนกว่าจะเปลี่ยนหน้าจอเป็นดังรูปที่ 4.7



รูปที่ 4.7 หน้าจอโหมดการตั้งค่า Time

6) หลังจากนั้นกดปุ่มหมายเลขสามหรือที่เรียกว่าปุ่ม Save เพื่อไปตั้งค่าเวลาดังรูปที่ 4.8 (หน้าถัดไป) โดยหลักการตั้งค่าคือ ตั้งค่าตัวเลขไปทิลหลัก โดยมีปุ่มกดหมายเลขสี่หรือเรียกว่าปุ่ม Up เป็นปุ่มเพิ่มตัวเลข และมีปุ่มกดหมายเลขสองหรือเรียกว่าปุ่ม Down เป็นปุ่มลดจำนวนตัวเลขลง และมีปุ่มหมายเลขหนึ่งหรือเรียกว่าปุ่ม Left เป็นปุ่มเลื่อนหลักไปทางซ้าย และมีปุ่มกดหมายเลขห้าหรือเรียกว่าปุ่ม Right เป็นปุ่มเลื่อนหลักไปทางขวา



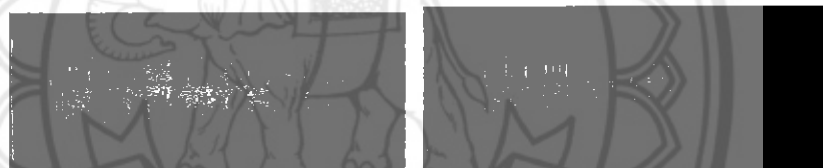
รูปที่ 4.8 การตั้งค่าTime

7) หลังจากการตั้งค่าทุกอย่างเสร็จเรียบร้อยก็จะเข้าสู่โหมดการเริ่มนับพัลส์ที่เรียกว่า Start Mode ส่วนรายละเอียดจะกล่าวในหัวข้อที่ไป

4.1.3 การทดลองเมนู Start Mode

ภายในโหมดการทำงานนี้จะแบ่งย่อออกเป็นสามโหมดการทำงานคือ Start, Recall และ Home โดยมีขั้นตอนการปฏิบัติดังนี้

1) จากหน้าหลักของเมนูที่กล่าวมาข้างต้น กดปุ่มหมายเลขแปดหรือเรียกว่า Start Mode ค้างไว้จนหน้าจอจะเปลี่ยนไปเป็นดังรูปที่ 4.9 (ก) และรูปที่ 4.9 (ข) ตามลำดับ



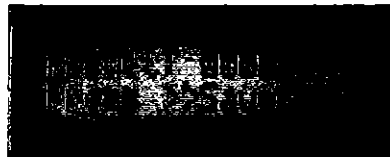
รูปที่ 4.9 หน้าจอการตั้งค่าใน Start Mode

2) ทำการเลือก Start โดยให้กดปุ่มสวิตช์หมายเลขเจ็ดหรือเรียกว่าปุ่ม Select ค้างไว้จนกว่าจะเปลี่ยนหน้าจอเป็นดังรูปที่ 4.10 หากค้างช้ามือแล้วกดสวิตช์หมายเลขสามเพื่อเริ่มนับพัลส์สัญญาณและแสดงผลการทำงานดังรูปที่ 4.10 หากค้างทางขวา มือ



รูปที่ 4.10 หน้าจอในโหมด Start

3) หากต้องการเรียกค่าผลลัพธ์ที่ภาคหลังสามารถเรียกคุ้นได้โดยเข้าโหมด Recall โดยมีหลักการเข้าโหมดนี้ตามขั้นตอนที่ 1 และ 2 ทุกประการซึ่งผลลัพธ์ที่เกิดขึ้นเป็นตามรูปที่ 4.11



รูปที่ 4.11 ผลลัพธ์ที่เกิดจากการเข้าสู่โหมด Recall

4) การกลับสู่หน้าหลักของเมนูสามารถเลือก Home โดยการกดปุ่มสวิตช์หมายเลขเจ็ด หรือเรียกว่าปุ่ม Select ถ้างานกว่าจะเปลี่ยนหน้าจอเป็นดังรูปที่ 4.12 (ก) แล้วทำการกดปุ่มสวิตช์หมายเลขสาม เพื่อกลับสู่หน้าหลักของเมนูดังรูปที่ 4.12 (ข)



(ก) หน้าจอเพื่อกลับสู่หน้าหลัก

(ข) หน้าจอของกำลังทำงาน

รูปที่ 4.12 ของผลลัพธ์เมื่อเข้าโหมด Home

4.2 การทดลองโปรแกรมสร้างฐานเวลาในหน่วยวินาที และโปรแกรมนับจำนวนสัญญาณอิจิกพัลส์ที่ทำงานบนไมโครคอนโทรลเลอร์

ตารางที่ 4.1 ทดลองความเป็นเชิงเส้นของการนับสัญญาณอิจิกพัลส์ใน 1 วินาที

ความถี่ของแหล่งกำเนิด รูปสัญญาณ (กิโลเฮิรตซ์)	สัญญาณอิจิกพัลส์ที่นับได้ใน 1 วินาที(พัลส์)				
	ครั้งที่ 1	ครั้งที่ 2	ครั้งที่ 3	เฉลี่ย	ค่าความผิดพลาดเฉลี่ย
1	1001	1001	1001	1001.000	1.000
2	1987	1988	1987	1987.333	12.667
3	2853	2853	2862	2856.000	144.000
4	3788	3919	3918	3875.000	125.000
5	4920	4919	4918	4919.000	81.000
6	5916	5915	5914	5915.000	85.000
7	6896	6895	6895	6895.333	104.667
8	7963	7961	7961	7961.667	33.333
9	8964	8966	8965	8965.000	34.000
10	10048	10048	10044	10046.667	46.667

จากตารางที่ 4.1 เป็นการทดลองโปรแกรมสร้างฐานเวลาในหน่วยวินาที โดยการใช้อินเตอร์รัปต์บนไมโครคอนโทรลเลอร์ dsPIC30F4011 นับจำนวนสัญญาณที่มาจากแหล่งกำเนิดรูปสัญญาณในเวลา 1 วินาที โดยจะมีค่าความถี่ที่แตกต่างกัน เพื่อหาความแม่นยำในการนำไปใช้นับพัลส์สัญญาณจริง โดยในตารางจะทำการทดลองเป็นจำนวนสามครั้งแล้วนำหาค่าเฉลี่ย ซึ่งค่าที่ได้จากการทดลองมีค่าความผิดพลาดเฉลี่ย (Mean Absolute Error) หรือเรียกว่าค่า MAE เกิดขึ้นโดยหากได้จากสมการดังต่อไปนี้

$$MAE = \frac{1}{N} \sum_{i=1}^N |(T_i - F_i)| \quad (4.1)$$

โดยที่

N = จำนวนตัวแปลง

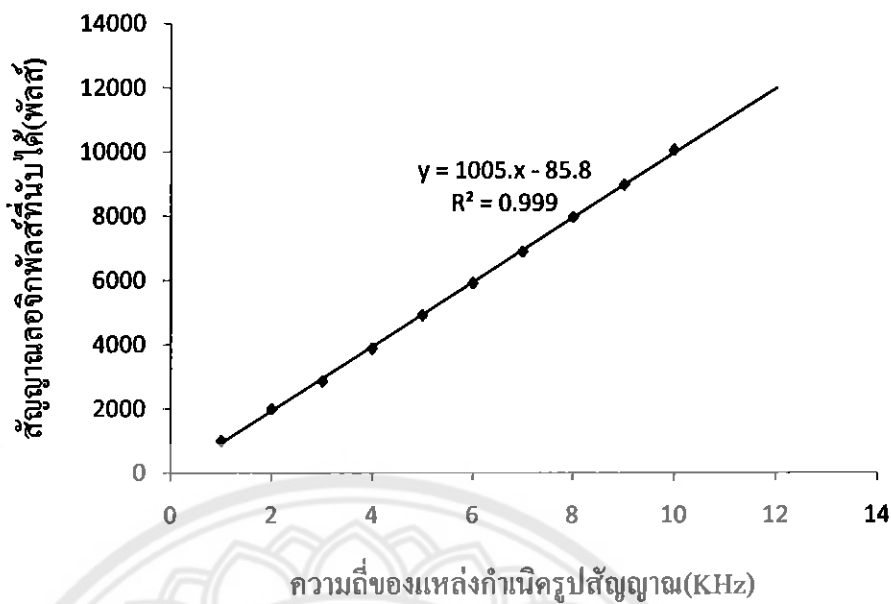
T_i = ค่าจริง

F_i = ค่าที่ได้จากการทดลอง

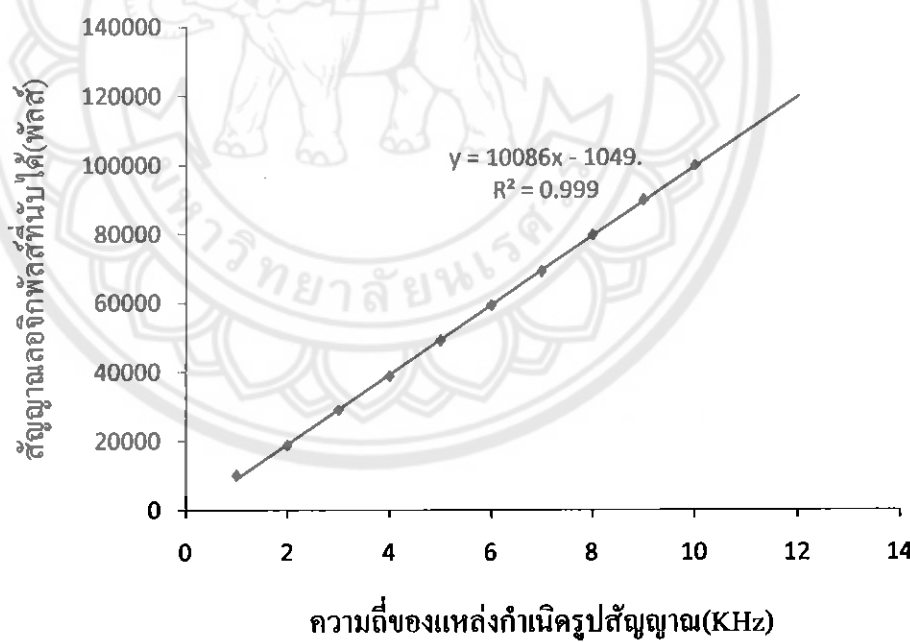
ตารางที่ 4.2 ทดสอบความเป็นเชิงเส้นของการนับสัญญาณอิจิกพัลส์ใน 10 วินาที

ความถี่ของแหล่งกำเนิด รูปสัญญาณ (กิโลไฮรดซ์)	สัญญาณอิจิกพัลส์ที่นับได้ใน 10 วินาที(พัลส์)				
	ครั้งที่ 1	ครั้งที่ 2	ครั้งที่ 3	เฉลี่ย	ค่าความผิดพลาดเฉลี่ย
1	10068	10057	10009	10044.667	44.667
2	18678	18674	18903	18751.667	1248.333
3	28169	29415	29407	28997.000	1003.000
4	38169	38894	38888	38895.333	1349.667
5	49136	49118	49084	49112.667	887.333
6	59382	59369	59359	59369.667	630.000
7	69231	69211	69205	69215.667	784.333
8	80076	79622	79611	79769.667	281.000
9	90060	90049	90034	90047.667	47.667
10	100071	100063	100040	100058.000	58.000

จากตารางที่ 4.2 เป็นการทดสอบโปรแกรมสร้างฐานเวลาในหน่วยวินาที โดยการใช้อินเตอร์ร์ป็อกน์ไมโครคอนโทรลเลอร์ dsPIC30F4011 นับจำนวนสัญญาณที่มาจากแหล่งกำเนิดรูปสัญญาณในเวลา 10 วินาที โดยจะมีค่าความถี่ที่แตกต่างกัน เพื่อหาความแม่นยำในการนำไปใช้นับพัลส์สัญญาณจริง โดยในตารางจะทำการทดสอบปืนจำนวนสามครั้งแล้วนำมาหาค่าเฉลี่ย ซึ่งค่าที่ได้จากผลการทดสอบมีค่าความผิดพลาดเฉลี่ย (Mean Absolute Error) หรือเรียกว่าค่า MAE ซึ่งถ้าค่านี้มีค่าน้อยๆแสดงว่ามีความแม่นยำมาก



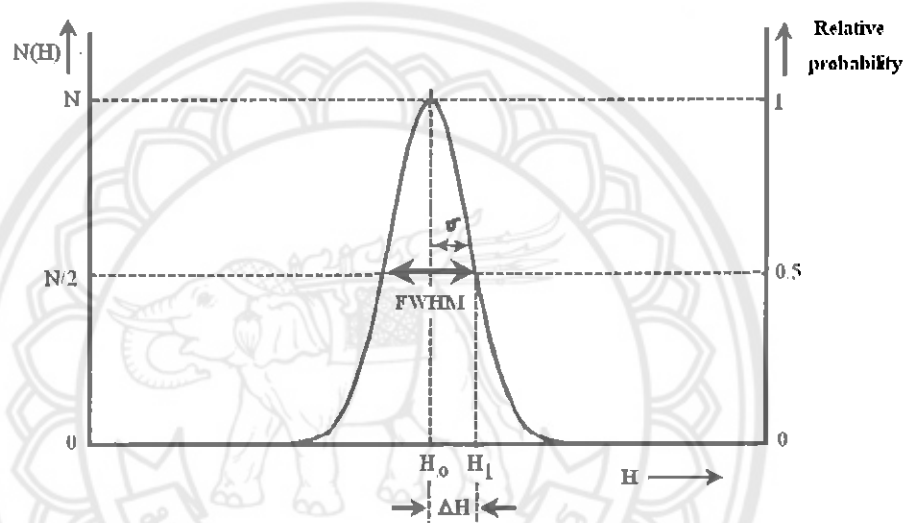
รูปที่ 4.13 กราฟแสดงความสัมพันธ์ระหว่างความถี่ของแหล่งกำเนิดรูปสัญญาณ(กิโลไฮรดซ์)กับจำนวนสัญญาณลองจิกพัลส์ที่นับได้ใน 1 วินาที



รูปที่ 4.14 กราฟแสดงความสัมพันธ์ระหว่างความถี่ของแหล่งกำเนิดรูปสัญญาณ(กิโลไฮรดซ์)กับจำนวนสัญญาณลองจิกพัลส์ที่นับได้ใน 10 วินาที(พัลส์)

4.3 การทดลองประสิทธิภาพเครื่องนับพัลส์รังสีที่พัฒนาขึ้นร่วมกับหัววัดรังสีชนิดผลึก NaI(Tl)

ในการทดลองหัวข้อนี้ เป็นการทดลองเพื่อหาความสามารถในการแยกแยะสเปกตรัม พลังงาน (Energy Resolution) ของการวัดรังสี ซึ่งจะเป็นการบ่งบอกคุณภาพของระบบการวัดรังสี โดยใช้เกณฑ์ความสามารถในการวัดความสามารถในการแยกแยะพลังงานของพีคสเปกตรัม ไว้ด้วยค่า FWHM (Full-Width at Half Maximum) ซึ่งหมายถึงความกว้างของพีค ณ ตำแหน่งที่จำนวนนับมีค่าครึ่งหนึ่งของ จำนวนนับสูงสุด ดังรูปที่ 4.15 แสดงบริเวณจุดตัดของค่านับที่ $N/2$ กับเส้นกราฟ



รูปที่ 4.15 ความสามารถในการแยกแยะพลังงาน

สมการความสัมพันธ์ของความสามารถในการแยกแยะพลังงานเป็น ได้ดังนี้

$$\% \text{Energy Resolution} = \frac{FWHM}{H_o} \times 100 \quad (4.2)$$

เมื่อ

$FWHM$ = ความกว้างของการกระจายค่าสูงของพัลส์บริเวณค่าครึ่งหนึ่งของ จำนวนนับรังสี ซึ่งเท่ากับ $2\Delta H$

H_o = ตำแหน่งของพีคความสูงพัลส์ (peak centroid) หรือค่าเฉลี่ยของ ความสูงพัลส์

การทดลองประสีทวิภาคเครื่องนับพัลส์รังสีที่พัฒนาขึ้นจะใช้หลักการหาค่าความสามารถในการแยกแยะผลงานของระบบ 2 ระบบมาเปรียบเทียบกันคือ 1) เครื่องนับวัดรังสีเชิงพาณิชย์ที่ต่อร่วมกับหัววัดรังสีชนิดผลึก NaI(Tl) 2) เครื่องนับพัลส์ที่พัฒนาขึ้นต่อร่วมกับหัววัดรังสีชนิดผลึก NaI(Tl) โดยใช้ต้นกำเนิดรังสีชนิดเดียวกันคือซีเซียม 137

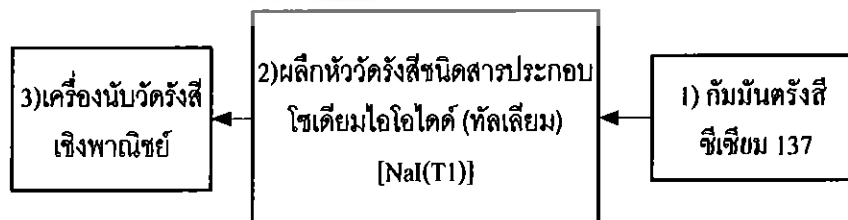


รูปที่ 4.16 หัววัดรังสีชนิดผลึก NaI(Tl)

จากรูปที่ 4.16 แสดงการวัดการแยกแยะของรังสีโดยเริ่มจากหมายเลข 1 คือกัมมันตรังสีซีเซียม 137 หมายเลข 2 คือผลึก NaI(Tl) หมายเลข 3 คือหอลอค โฟโนมัลติพลาเยอร์ ซึ่งทั้งสามส่วนนี้จะถูกนำมาประกอบกับระบบเพื่อหาค่าการแยกแยะผลงาน ดังต่อไปนี้

4.3.1 การหาค่าการแยกแยะของเครื่องนับวัดรังสีเชิงพาณิชย์ที่ต่อใช้งานร่วมกับหัววัดรังสีชนิดผลึก NaI(Tl)

สำหรับรูปที่ 4.17 เป็นการต่อระบบนับวัดของไทรอยด์เพื่อหาค่าการแยกแยะผลงานโดยเริ่มจาก 1) กัมมันตรังสีซีเซียม 137 ใช้เป็นต้นกำเนิดรังสีในการนับวัด 2) หัววัดรังสีชนิดผลึก NaI(Tl) เพื่อใช้ตรวจวัดการกระจายรังสีจากแหล่งกำเนิด และ 3) เครื่องนับวัดรังสีเชิงพาณิชย์ใช้สำหรับนับพัลส์รังสีที่ตรวจวัดได้จากหัววัด

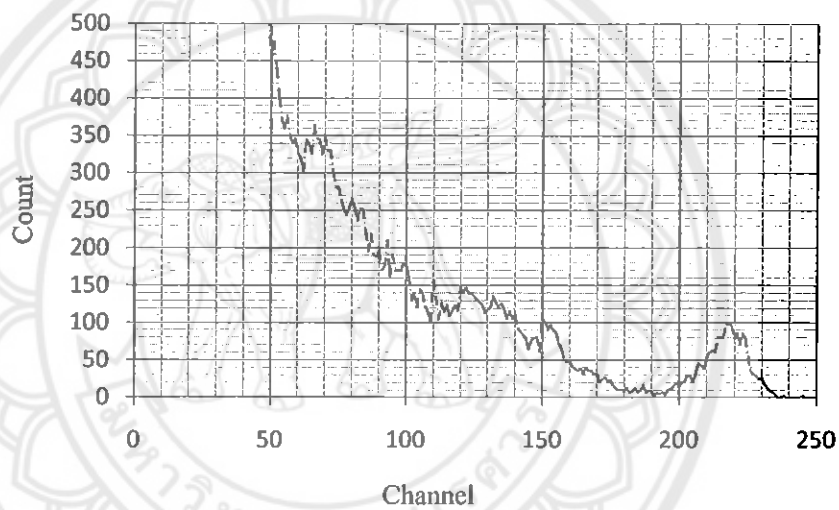


รูปที่ 4.17 การต่อระบบทดลองของเครื่องนับวัดรังสีเชิงพาณิชย์ที่ต่อใช้งานร่วมกับหัววัดรังสีชนิดผลึก NaI(Tl)

ผลการทดลองจากการต่อระบบตามหัวข้อที่ 4.3.1 ในบทนี้ สามารถดูได้จากตารางที่ 3 ในภาคผนวก ฎ โดยเริ่มต้นก่อนการทดลองต้องมีการตั้งค่าตัวเปลี่ยนนี้

ค่า LLD เริ่มต้น	0.02	โวลต์
เคลด้าอี	0.02	โวลต์
เวลาการนับพัลส์	60.00	วินาที

ผลการทดลองดังตารางที่ 3 ในภาคผนวก ฎ ได้นำมาสร้างกราฟดังรูปที่ 4.18 โดยที่แกนต์งคือค่าที่ได้จากการนับวัด (Count) และแกนนอนคือหมายเลขช่อง (Channel) ของการนับพัลส์โดยเริ่มจากช่องที่ 1 จนไปถึงหมายเลขช่องที่มีค่าการนับวัดเป็นศูนย์อยู่ช่องที่ 249 ซึ่งตรงกับค่า LLD ที่ 4.98 โวลต์ ซึ่งค่าหมายเลขช่องต่อๆ ไปจะไม่สามารถนับวัดค่าพัลส์ได้แล้วจึงเป็นเหตุผลที่หยุดค่าที่ช่อง 249



รูปที่ 4.18 การแจกแจงพลังงานจากกราฟนี้ สามารถหาได้จากค่าพีคพลังงาน โดยกราฟที่เกิดพีคพลังงานจะมีลักษณะรูปคล้าย “ระฆังกว่า” จากนั้นทำการหาหมายเลขช่องที่ตรงกับยอดของกราฟระฆังกว่าหรือช่องที่มีการนับวัดสูงสุดคือช่องที่ 218 หรือที่ค่า LLD ตรงกับ 4.36 โวลต์ จากนั้นจะทำการคำนวณหาการแจกแจงพลังงานด้วยวิธีที่ได้กล่าวไว้ข้างต้นในหัวข้อนี้ นั้นคือทำการหาค่า FWHM โดยนำค่า้นบวัดสูงสุดที่ตรงกับยอดกราฟรูประฆังกว่ามาหารครึ่งช่วงระหว่างกับ ช่องที่ 226 และช่องที่ 208 แล้วหาความกว้างของตำแหน่งครึ่งหนึ่งของค่าการนับวัดสูงสุดนั้น คือค่า $2\Delta H$ นั้นเอง โดยรายละเอียดการคำนวณอธิบายได้ดังนี้

ในการคำนวณหาค่าการแจกแจงพลังงาน จากกราฟนี้ สามารถหาได้จากค่าพีคพลังงาน โดยกราฟที่เกิดพีคพลังงานจะมีลักษณะรูปคล้าย “ระฆังกว่า” จากนั้นทำการหาหมายเลขช่องที่ตรงกับยอดของกราฟระฆังกว่าหรือช่องที่มีการนับวัดสูงสุดคือช่องที่ 218 หรือที่ค่า LLD ตรงกับ 4.36 โวลต์ จากนั้นจะทำการคำนวณหาการแจกแจงพลังงานด้วยวิธีที่ได้กล่าวไว้ข้างต้นในหัวข้อนี้ นั้นคือทำการหาค่า FWHM โดยนำค่า้นบวัดสูงสุดที่ตรงกับยอดกราฟรูประฆังกว่ามาหารครึ่งช่วงระหว่างกับ ช่องที่ 226 และช่องที่ 208 แล้วหาความกว้างของตำแหน่งครึ่งหนึ่งของค่าการนับวัดสูงสุดนั้น คือค่า $2\Delta H$ นั้นเอง โดยรายละเอียดการคำนวณอธิบายได้ดังนี้

จากสมการที่ (4.2)

$$\% \text{Energy Resolution} = \left(\frac{FWHM}{H_0} \right) \times 100$$

$$FWHM = \text{Channel 226} - \text{Channel 208}$$

$$= 18$$

$$H_0 = 218$$

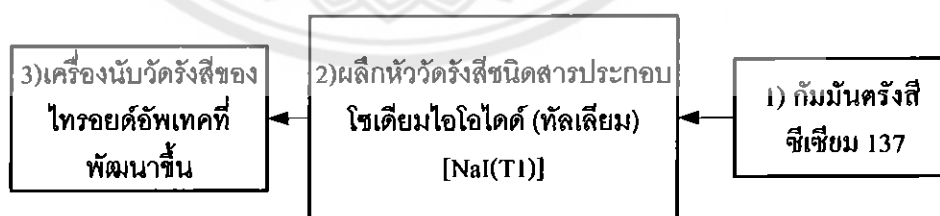
แทนค่า

$$\begin{aligned} \% \text{Energy Resolution} &= \frac{18}{218} \times 100 \\ &= 8.26\% \end{aligned}$$

จะนั้น ความสามารถในการแยกแยะพลังงานของ Cs-137 โคลเบริ่องนับวัดรังสีเชิงพานิชย์ที่ต่อร่วมกับหัววัดรังสีชนิดผลึก [NaI(Tl)] มีค่าเท่ากับ 8.26%

4.3.2 การหาค่าการแยกแยะพลังงานของเครื่องนับพัลส์ที่พัฒนาขึ้นต่อร่วมกับหัววัดรังสีชนิด NaI(Tl)

การออกแบบการทดลองดังรูปที่ 4.19 เป็นการต่อระบบของไทรอยด์อัพเทกเริ่มจาก 1) ซีเซียม 137 เป็นต้นกำเนิดรังสีที่ใช้ในการทดลอง 2) เป็นหัววัดรังสีชนิดผลึก NaI(Tl) ใช้สำหรับตรวจสอบบัรังสี 3) เป็นเครื่องนับพัลส์รังสีของไทรอยด์อัพเทกที่กลุ่มข้าพเจ้าได้พัฒนาขึ้น เพื่อใช้นับพัลส์รังสี

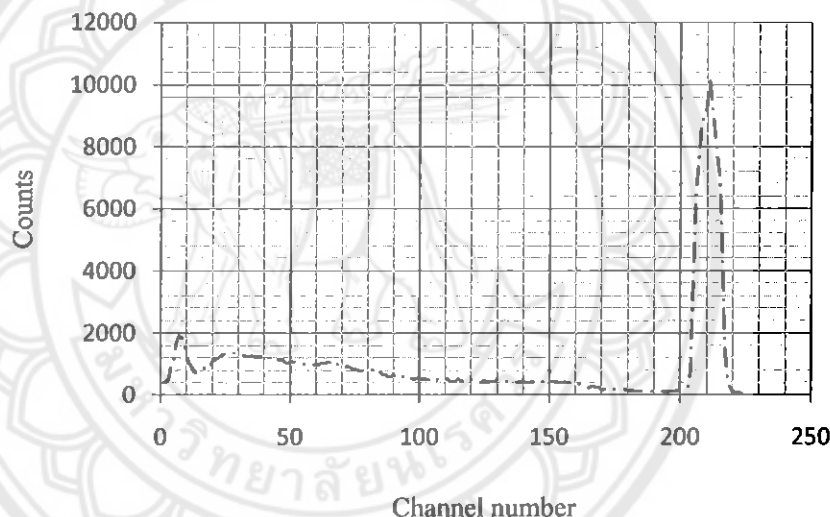


รูปที่ 4.19 การต่อระบบทดลองของเครื่องนับวัดรังสีที่พัฒนาขึ้นต่อให้ทำงานร่วมกับหัววัดรังสีชนิดผลึก NaI(Tl)

จากการทดลองตามหัวข้อที่ 4.3.2 ในบทนี้ทำให้ได้ผลการทดลองซึ่งสามารถคุณได้ในตารางที่ 1 ในการผนวก ถู โดยก่อนการทดลองได้กำหนดค่าวแปลรึ่งต้นดังนี้

ค่า LLD เริ่มต้น	0.02	โวลต์
เดลต้าอี	0.02	โวลต์
เวลาการนับพัลส์	60.00	วินาที

จากผลการทดลองในตารางที่ 1 ในภาคผนวก ฎ ได้นำมาสร้างกราฟดังรูปที่ 4.20 โดยแกนตั้งของกราฟเป็นค่าการนับ พัลส์ที่อ่านได้จากเครื่องนับพัลส์รังสีของไตรอยค์อัพเทกที่พัฒนาขึ้น และส่วนของแกนนอนคือหมายเลขช่องซึ่งหมายเลขช่องจะเปลี่ยนไปตามการเปลี่ยนค่าของ LLD นั้นคือ หมายเลขช่อง 1 เป็นช่องเริ่มต้นจะตรงกับค่า LLD ที่ 0.02 โวลต์ หมายเลขช่อง 2 จะตรงกับค่า LLD ที่ 0.04 โวลต์ เป็นต้น และหมายเลขช่องจะหยุดที่ช่อง 228 ตรงกับค่า LLD ที่ 4.56 โวลต์



รูปที่ 4.20 การแยกแข่งพัลส์งานจากต้นกำเนิดรังสีซึ่งเขียนโดยใช้เครื่องนับพัลส์รังสีที่พัฒนาขึ้นร่วมกับผลึกหัววัตต์รังสีชนิด NaI(Tl)

การคำนวณหาค่าการแยกแข่งพัลส์งานจากกราฟ เริ่มจากหาตำแหน่งที่เกิดค่าพีคของพัลส์งานหรือตำแหน่งของกราฟรูประฆังกว่า ช่องอยู่หมายเลขช่องที่ 211 ซึ่งเกิดการนับพัลส์สูงสุด หลังจากนั้นหาค่าความกว้างของตำแหน่งครึ่งหนึ่งของค่าการนับวัดสูงสุดหรือค่า FWHM โดยมีรายละเอียดการคำนวณดังต่อไปนี้

จากสมการที่ (4.2)

$$\% Energy Resolution = \left(\frac{FWHM}{H_0} \right) \times 100$$

$$FWHM = Channel 216 - Channel 205$$

$$= 11$$

$$H_0 = 211$$

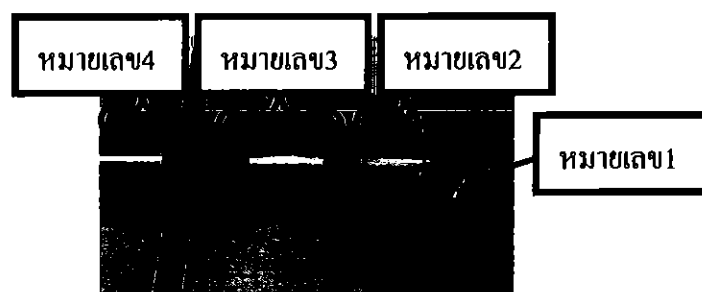
แทนค่า

$$\begin{aligned} \% Resolution &= \frac{11}{211} \times 100 \\ &= 5.12\% \end{aligned}$$

ความสามารถในการแยกแจงพลังงานของ Cs-137 โดยเครื่องนับพัลส์รังสีที่พัฒนาขึ้นร่วมกับหัววัดรังสีชนิดผลึก NaI(Tl) มีค่าเท่ากับ 5.12%

4.4 การทดลองประสิทธิภาพเครื่องนับพัลส์รังสีที่พัฒนาขึ้นร่วมกับหัววัดรังสีชนิดผลึก CsI(Tl)

ในหัวข้อที่ 4.4 เป็นการทดลองประสิทธิภาพเครื่องนับพัลส์รังสีของไทรออบด์อัพเทเกอร์ เดียวกับหัวข้อที่ 4.3 แต่แตกต่างกันในส่วนของหัววัดรังสี ซึ่งหัวข้อนี้จะใช้หัววัดรังสีชนิดผลึก หัววัดรังสี CsI(Tl) ดังรูปที่ 4.21 โดยที่หมายเลข 1 คือ ต้นกำเนิดรังสีสำหรับใช้ในการทดลอง หมายเลข 2 คือผลึกหัววัดรังสี หมายเลข 3 คือหลอดไฟโคมลิติพลาบอแอล หมายเลข 4 คือ ภาคขยาย ส่วนหน้า

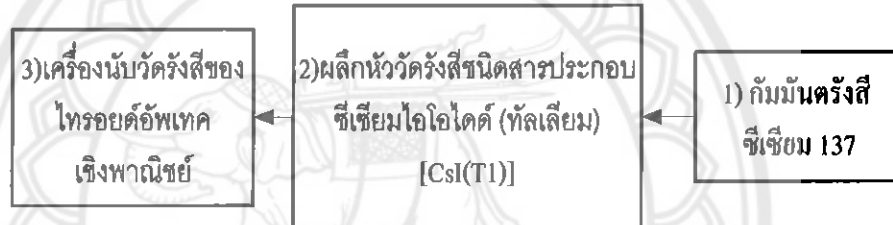


รูปที่ 4.21 หัววัดรังสีชนิดผลึก CsI(Tl)

การหาประสิทธิภาพเครื่องนับพัลส์รังสีที่พัฒนาขึ้นจะใช้หลักการหาค่าความสามารถในการแยกแยะพลังงาน ของระบบ 2 ระบบมาเปรียบเทียบกันคือ 1) เครื่องนับวัดรังสีเชิงพาณิชย์ที่ต่อร่วมกับหัววัดรังสีชนิดผลึก CsI(T1) 2) เครื่องนับพัลส์ที่พัฒนาขึ้นต่อร่วมกับหัววัดรังสีชนิดผลึก CsI(T1) โดยใช้ต้นกำเนิดรังสีชนิดเดียวกันคือซีเซียม 137 สามารถทำการทดลองได้ดังนี้

4.4.1 การหาค่าการแยกแยะพลังงานของเครื่องนับพัลส์เชิงพาณิชย์ต่อร่วมกับหัววัดรังสีชนิดผลึก CsI(T1)

สำหรับรูปที่ 4.22 เป็นแผนภาพการทดลองเพื่อหาค่าการแยกแยะพลังงาน โดยเริ่มจาก 1) ซีเซียม 137 ใช้เป็นต้นกำเนิดรังสี 2) หัววัดรังสีชนิดผลึก CsI(T1) เป็นหัววัดรังสีที่ถูกพัฒนาขึ้นโดย คณะเวชศาสตร์ 3) เครื่องนับพัลส์รังสีเชิงพาณิชย์ ใช้สำหรับนับวัดพัลส์ของรังสี

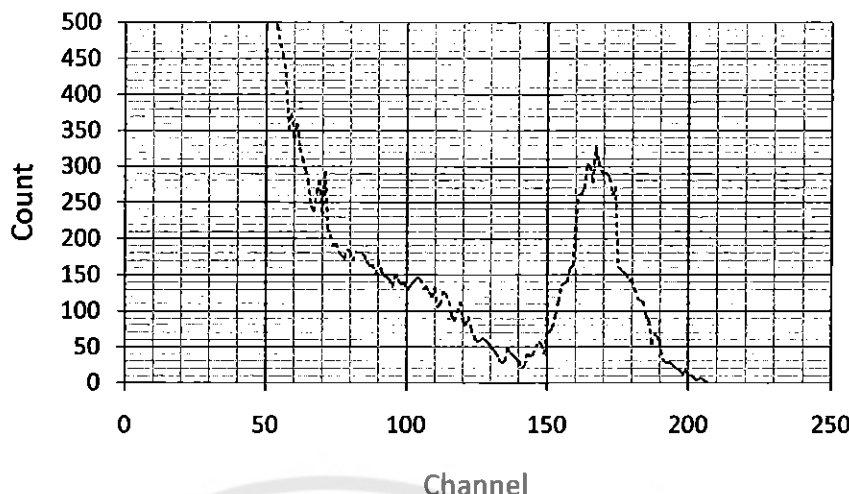


รูปที่ 4.22 การต่อระบบเครื่องนับพัลส์เชิงพาณิชย์ต่อร่วมกับหัววัดรังสีชนิดผลึก CsI(T1)

ผลการทดลองที่เกิดจากการทดลองตามหัวข้อที่ 4.4.1 นี้ สามารถดูได้ในตารางที่ 4 ในภาคผนวก ฉะ ซึ่งก่อหน้าเริ่มต้นทดลองต้องมีค่าตัวแปลรีนตันดังนี้

ค่า LLD เริ่มต้น	0.02	ໄວලต์
เดลต้าอี	0.02	ໄວලต์
เวลาการนับพัลส์	60.00	วินาที

และการนับพัลส์จะไปหยุดลงที่ LLD มีค่า 4.20 ໄວලต์ หรือที่หมายเลขช่องที่ 210 ซึ่ง การนับสัญญาณพัลสมีค่าเป็นศูนย์นั้นเอง



รูปที่ 4.23 การแยกแยะจากต้นกำเนิดรังสี ซี-เชิญ 137 โดยใช้เครื่องนับวัดรังสีเชิงพาณิชย์ที่ต่อร่วมกับหัววัดรังสีชนิดผลึก CsI(T1)

จากรูปที่ 4.23 เป็นกราฟที่เขียนขึ้นจากผลการทดลองดังตารางที่ 4 ในภาคผนวก ถู โดยที่แกนตั้งเป็นข้อมูลการนับ พัลส์สัญญาณจากการตรวจจับรังสี และแกนนอนแสดงข้อมูลหมายเลขของ ข้อมูลนี้จะเปลี่ยนไปตามการเปลี่ยนค่า LLD ดังตารางการทดลองที่ 4 ในภาคผนวก ถู ซึ่งจากกราฟสามารถคำนวณหาค่าการแยกแยะพลังงานของระบบ ได้จากช่วงของพีคพลังงานที่มีลักษณะรูประฆังกว้างของกราฟ โดยรายละเอียดของการคำนวณได้กล่าวไว้แล้วในหัวข้อที่ 4.3 ของบทที่ 4 นี้ ซึ่งแสดงวิธีคิดได้ดังนี้

จากสมการที่ (4.2)

$$\% \text{Energy Resolution} = \left(\frac{FWHM}{H_0} \right) \times 100$$

$$FWHM = \text{Channel 175} - \text{Channel 159}$$

$$= 16$$

$$H_0 = 167$$

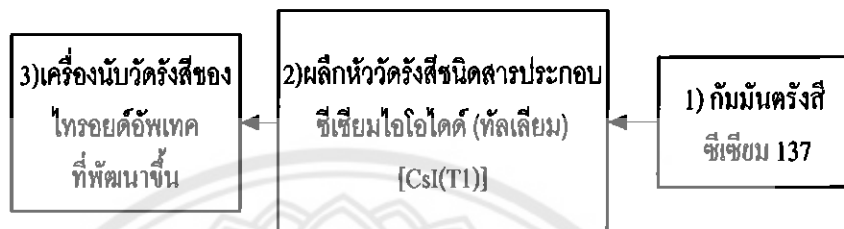
แทนค่า

$$\begin{aligned} \% \text{Resolution} &= \frac{16}{167} \times 100 \\ &= 9.58\% \end{aligned}$$

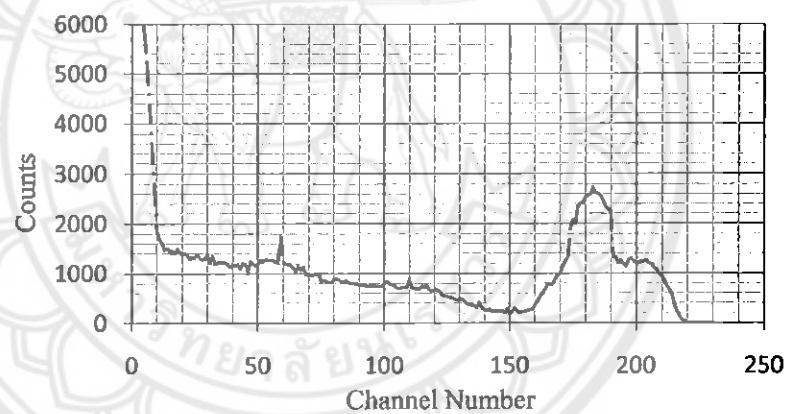
จะนั้น ความสามารถในการแยกแยะพลังงานของ Cs-137 โดยเครื่องนับวัดรังสีเชิงพาณิชย์ที่ต่อร่วมกับหัววัดรังสีชนิดผลึก CsI(T1) นี้ค่าเท่ากับ 9.58%

4.4.2 การหาค่าการแยกแจงพลังงานของเครื่องนับพัลส์ที่พัฒนาขึ้นต่อร่วมกับผู้ผลิตหัววัดรังสีชนิดผลึก CsI(T1)

สำหรับรูปที่ 4.24 เป็นแผนภาพการทดลองเพื่อหาค่าการแยกแจงพลังงาน โดยเริ่มจาก 1) กัมมันตรังสีซีเซียม 137 ใช้เป็นต้นกำเนิดรังสี 2) หัววัดรังสีชนิดผลึก CsI(T1) 3) เครื่องนับพัลส์รังสีของไทรอยด์อัพเทค ใช้สำหรับนับวัดพัลส์ของรังสี



รูปที่ 4.24 การต่อระบบเครื่องนับพัลส์ที่พัฒนาขึ้นต่อร่วมกับหัววัดรังสีชนิดผลึก CsI(T1)



รูปที่ 4.25 การแยกแจงพลังงานจากต้นกำเนิดรังสี Cs-137 โดยเครื่องนับพัลส์รังสีที่พัฒนาขึ้นร่วมกับหัววัดรังสีชนิดผลึก CsI(T1)

ผลการทดลองในหัวข้อที่ 4.4.2 นี้สามารถดูได้ในตารางที่ 2 ในภาคผนวก ภู ซึ่งนำมาสร้างกราฟได้ดังรูปที่ 4.25 โดยแกนต์ช่องกราฟแสดงข้อมูลการนับพัลส์ และแกนนอนแสดงข้อมูลของหมายเลขช่อง และจะเปลี่ยนตามการเปลี่ยนค่าของ LLD ในการคำนวณหาค่าการแยกแจงพลังงานจากกราฟ สามารถทำได้โดยการคำนวณจากช่วงของกราฟที่มีค่าพัลส์ทางขวาของกราฟที่มีลักษณะกราฟคล้ายรูประฆังกว่า จากนั้นทำการหาตำแหน่งของกราฟนับพัลส์สูงสุด ซึ่งจากการทดลองคือหมายเลขช่องที่ 183 โดยมีการนับวัดสูงสุดคือ 2723 พัลส์

จากนั้นทำการหาค่าความกว้างของตัวแหน่งครึ่งหนึ่งของค่าการนับวัดสูงสุดหรือค่า FWHM ซึ่งหลักการหาค่าได้ก่อตัวไว้แล้วในหัวข้อที่ 4.3 ของบทที่ 4 นี้ และรายละเอียดสามารถคำนวณได้ดังต่อไปนี้

จากสมการที่ (4.2)

$$\% Energy Resolution = \left(\frac{FWHM}{H_0} \right) \times 100$$

$$FWHM = Channel 191 - Channel 173$$

$$= 18$$

$$H_0 = 183$$

แทนค่า

$$\begin{aligned} \% Resolution &= \frac{18}{183} \times 100 \\ &= 9.84\% \end{aligned}$$

ความสามารถในการแยกแจงพลังงานของ Cs-137 โดยเครื่องนับพัลส์รังสีที่พัฒนาขึ้น ร่วมกับหัววัดรังสีชนิดผลึก CsI(T1) มีค่าเท่ากับ 9.84%

4.5 วิเคราะห์ผลการทดลอง

การทดลองประสิทธิภาพของเครื่องนับพัลส์รังสีของไทรอยค์อัพเทกที่พัฒนาขึ้น ได้แบ่งการทดลองออกเป็น 4 ส่วน ได้แก่ 1) การทดลองการทำงานของเมนูบันเครื่องนับพัลส์รังสีของไทรอยค์อัพเทก 2) การทดลองโปรแกรมสร้างฐานเวลาและโปรแกรมนับจำนวนสัญญาณอิจิก 3) การทดลองประสิทธิภาพเครื่องนับพัลส์รังสีที่พัฒนาขึ้นทำงานร่วมกับหัววัดรังสีชนิดผลึก NaI(T1) เปรียบเทียบกับประสิทธิภาพเครื่องนับพัลส์รังสีเชิงพาณิชย์ทำงานร่วมกับหัววัดรังสีชนิดผลึก NaI(T1) และ 4) การทดลองประสิทธิภาพเครื่องนับพัลส์รังสีที่พัฒนาขึ้นทำงานร่วมกับหัววัดรังสีชนิดผลึก CsI(T1) เปรียบเทียบกับประสิทธิภาพเครื่องนับพัลส์รังสีเชิงพาณิชย์ทำงานร่วมกับหัววัดรังสีชนิดผลึก CsI(T1) สามารถวิเคราะห์ผลได้ดังต่อไปนี้

การทดลองการทำงานของเมนูบันเครื่องนับพัลส์รังสีของไทรอยค์อัพเทก โดยจะเป็นการทดลองการทำงานหน้าหลักของเมนูโดยในส่วนนี้จะแสดงผลอัตโนมัติเมื่อทำการเปิดเครื่องขึ้นมา

ซึ่งหน้าจอจะทำการแสดงผลสลับกัน 3 หน้าจอรอบการทำงาน แต่ละหน้าหน่งเวลาประมาณ 2 วินาที หน้าที่หนึ่งของหน้าจอจะเป็นการแสดงข้อมูลที่ได้ทำการปรับค่า LLD และ DEL ไว้แล้ว หน้าที่สองจะเป็นการแสดงค่าวเวลาที่ใช้ในการนับวัด โดยปกติจะใช้ที่ 60 วินาที และหน้าที่สามจะเป็นหน้าจอที่แสดงข้อความให้เลือกว่าจะเข้าสู่โหมดใดในการตั้งค่าใหม่ โดยบรรทัดที่หนึ่งของจอ แสดงชีดีมีความหมายคือ กรุณาคปุ่มหมายเลขแปดหรือเรียกว่าปุ่ม Start Mode เพื่อเข้าสู่โหมดเริ่มต้นการนับพัลส์ โดยเมื่อกดปุ่ม Start Mode แล้วภายในจะแยกย่อข้อกางานโหมดย่อย คือ Start,Recall และ Home ให้เลือกใช้งาน ส่วนข้อความบนบรรทัดที่สองของจอแสดงชีดีมีความหมายคือ กรุณาคปุ่มหมายเลขหกหรือเรียกปุ่ม Setting Mode ซึ่งภายในโหมดการทำงานนี้จะประกอบไปการตั้งค่าโหมดทำงานย่อยอีกสี่ส่วนคือ LLD,DEL,Time และ Start ให้เลือกตั้งค่าต่างๆตามการทดลอง

การทดลองโปรแกรมสร้างฐานเวลาในหน่วยวินาทีและโปรแกรมนับล็อกิกพัลส์บนไมโครคอนโทรลเลอร์ โดยแบ่งการทดลองออกเป็นสองตารางการทดลองคือ ตารางที่ 4.1 ในหัวข้อที่ 4.2 บทที่ 4 เป็นการทดลองฐานเวลาการนับโดยการป้อนรูปสัญญาณที่มีความถี่ตั้งแต่ 1 จนถึง 10 กิโลเฮิรตซ์ แล้วสร้างโปรแกรมฐานเวลาจับเวลาในหนึ่งวินาที โดยทำการทดลองเป็นจำนวนสามครั้งในแต่ละระดับความถี่แล้วหาค่าเฉลี่ยของมาซึ่งจะเห็นว่าจำนวนล็อกิกพัลส์ที่เกิดจากการนับมีค่าเฉลี่ยกว่าการคำนวณทางทฤษฎี สิบเท่าของมากจากสาเหตุที่กำหนดความสำคัญของการเกิดอินเทอร์รัปต์ช้อน และความผิดพลาดจากการปรับค่าความถี่จากแหล่งกำเนิดสัญญาณที่ใช้ทดลอง โดยค่าเฉลี่ยที่ได้จากการทดลองเมื่อนำไปสร้างกราฟแสดงความสัมพันธ์ระหว่างความถี่ของแหล่งกำเนิดรูปสัญญาณ(กิโลเฮิรตซ์) กับจำนวนล็อกิกพัลส์ที่นับได้ใน 1 วินาที ดังรูปที่ 4.13 ของบทที่ 4 ซึ่งให้ค่าสหสัมพันธ์เชิงเส้น R^2 เท่ากับ 0.999 ส่วนตารางที่ 4.2 ในหัวข้อที่ 4.2 บทที่ 4 เป็นการทดลองจับเวลาการนับล็อกิกพัลส์ในสิบวินาที ซึ่งหลักการทดลองจะเหมือนกันกับตารางที่ 4.1 ทุกประการ และเมื่อนำค่าเฉลี่ยที่ได้จากการทดลอง นำไปสร้างกราฟแสดงความสัมพันธ์ระหว่างความถี่ของแหล่งกำเนิดรูปสัญญาณ (กิโลเฮิรตซ์) กับจำนวนล็อกิกพัลส์ที่นับได้ใน 10 วินาที ดังรูปที่ 4.14 ของบทที่ 4 ซึ่งให้ค่าสหสัมพันธ์เชิงเส้น R^2 เท่ากับ 0.999

การทดลองประสิทธิภาพเครื่องนับพัลส์รังสีที่พัฒนาขึ้นต่อใช้งานร่วมกับหัววัดรังสีชนิดพลีก NaI(Tl) ซึ่งจะเปรียบเทียบประสิทธิภาพร่วมกับเครื่องนับพัลส์รังสีเชิงพาณิชย์ต่อใช้งานร่วมกับพลีกหัววัดรังสีชนิดพลีก NaI(Tl) ซึ่งค่าที่บ่งบอกถึงประสิทธิภาพเครื่องคือค่าการแยกแจงพลังงาน โดยขั้นตอนจะทำการทดลองหาค่าการแยกแจงพลังงานของระบบเครื่องนับพัลส์รังสีเชิงพาณิชย์ต่อใช้งานร่วมกับหัววัดรังสีชนิดพลีก NaI(Tl) และใช้ต้นกำเนิดรังสีคือซีเซียม 137 ในการทดลอง โดยรูปที่ 4.18 ของบทที่ 4 เป็นการแสดงการแยกแจงพลังงานจากต้นกำเนิดรังสี ซีเซียม 137 โดยเครื่องนับพัลส์รังสีเชิงพาณิชย์ต่อร่วมกับหัววัดรังสีชนิดพลีก NaI(Tl) และทำการหาค่าการแยก

แบ่งพลังงานของระบบเท่ากับ 8.26 หลังจากนั้นหาค่าการแยกแบ่งพลังงานของระบบเครื่องนับพัลส์รังสีที่พัฒนาขึ้นต่อใช้งานร่วมกับพล็อกหัววัดรังสีชนิดพล็อก NaI(T1) โดยการปรับค่าต่างๆที่ใช้ในการทดลองดังตารางที่ 4.3 และมีลักษณะการแยกแบ่งพลังงานดังรูปที่ 4.20 ของบทที่ 4 และหาค่าการแยกแบ่งพลังงานจากการคำนวณที่ 5.12

การทดลองประสิทธิภาพเครื่องนับพัลส์รังสีที่พัฒนาขึ้นต่อใช้งานร่วมกับหัววัดรังสีชนิดพล็อก CsI(T1) ซึ่งจะเปรียบเทียบประสิทธิภาพร่วมกับเครื่องนับพัลส์รังสีเชิงพาณิชย์ต่อใช้งานร่วมกับหัววัดรังสีชนิดพล็อก CsI(T1) โดยหลักการทดลองจะเหมือนกันกับการทดลองประสิทธิภาพเครื่องนับพัลส์รังสีที่พัฒนาขึ้นต่อใช้งานร่วมกับหัววัดรังสีชนิดพล็อก NaI(T1) ทุกประการ ซึ่งจะมีการตั้งค่าต่างๆตามตารางที่ 4.3 โดยค่าการแยกแบ่งพลังงานของระบบเครื่องนับพัลส์รังสีเชิงพาณิชย์ต่อใช้งานร่วมกับหัววัดรังสีชนิดพล็อก CsI(T1) สามารถหาได้จากการคำนวณการแยกแบ่งพลังงานดังรูปที่ 4.23 ของบทที่ 4 มีค่าอยู่ที่ 9.58 ส่วนค่าการแยกแบ่งพลังงานของระบบเครื่องนับพัลส์รังสีที่พัฒนาขึ้นต่อใช้งานร่วมกับหัววัดรังสีชนิดพล็อก CsI(T1) ที่พัฒนาขึ้น สามารถหาได้จากการคำนวณการแยกแบ่งพลังงานดังรูปที่ 4.25 ของบทที่ 4 มีค่าอยู่ที่ 9.84

ตารางที่ 4.3 การสรุปค่าการแยกแบ่งพลังงานของระบบที่ได้ทำการทดลอง

ระบบ	เริ่มต้น LLD (วินาที)	เดลต้าอี (วินาที)	เวลา (วินาที)	Energy Resolution
1) เครื่องนับพัลส์เชิงพาณิชย์ต่อร่วมกับหัววัดชนิดพล็อก NaI(T1)	0.02	0.02	60	8.26%
2) เครื่องนับพัลส์ที่พัฒนาขึ้นต่อร่วมกับหัววัดชนิดพล็อก NaI(T1)	0.02	0.02	60	5.12%
3) เครื่องนับพัลส์เชิงพาณิชย์ต่อร่วมกับหัววัดชนิดพล็อก CsI(T1)	0.02	0.02	60	9.58%
4) เครื่องนับพัลส์ที่พัฒนาขึ้นต่อร่วมกับหัววัดชนิดพล็อก CsI(T1)	0.02	0.02	60	9.84%

บทที่ 5

สรุป

5.1 สรุป

โครงการนี้ได้จัดทำขึ้นเพื่อพัฒนาเครื่องต้นแบบสำหรับนับพัลส์รังสีของระบบไทรอยด์ อัพเทก ซึ่งเครื่องนับพัลส์รังสีของไทรอยด์อัพเทกที่ได้พัฒนาขึ้นสามารถใช้ได้กับหัววัดรังสี ชนิดผลึก NaI(Tl) และหัววัดรังสีชนิดผลึก CsI(Tl) โดยใช้ไซเซียม 137 ในการทดลอง

การดำเนินโครงการประกอบไปด้วยขั้นตอนทั้งหมด 5 ขั้นตอน คือ ขั้นตอนที่ 1 ศึกษา ข้อมูลและหลักการทางทฤษฎีที่เกี่ยวข้อง ขั้นตอนที่ 2 ออกแบบระบบทางด้านชาร์คแวร์ ขั้นตอนที่ 3 ออกแบบระบบทางด้านซอฟต์แวร์ ขั้นตอนที่ 4 การทดลองเครื่องนับพัลส์รังสีของไทรอยด์อัพเทก ขั้นตอนที่ 5 สรุปและจัดทำรูปเล่มปริญญาบัณฑิต

ผลการทดลองการทำงานของมูบันเครื่องนับพัลส์รังสีของไทรอยด์อัพเทก ได้ผลคือ การทำงานเป็นไปตามที่ได้ออกแบบตามแผนผังรูปที่ 3.21 ในหัวข้อที่ 3.3 ของบทที่ 3

ผลการทดลองโปรแกรมสร้างฐานเวลาและโปรแกรมนับจำนวนสัญญาณลอจิก ได้ผล การทดสอบ ดังตารางที่ 4.1 ซึ่งเมื่อนำผลการทดลองมาสร้างกราฟให้ความเป็นเชิงเส้นของการนับ สัญญาณลอจิกพัลส์ที่เวลาการนับ 1 ให้ค่าสหสัมพันธ์เชิงเส้น R^2 เท่ากับ 0.999 และผลการทดสอบ ดังตารางที่ 4.2 ซึ่งเมื่อนำผลการทดลองมาสร้างกราฟให้ความเป็นเชิงเส้นของการนับสัญญาณลอจิก พัลส์ที่เวลาการนับ 10 ให้ค่าสหสัมพันธ์เชิงเส้น R^2 เท่ากับ 0.999 เช่นกัน

ผลการทดลองประสิทธิภาพเครื่องนับพัลส์รังสีที่พัฒนาขึ้นทำงานร่วมกับหัววัดรังสีชนิด ผลึก NaI(Tl) เปรียบเทียบกับประสิทธิภาพเครื่องนับพัลส์รังสีเชิงพาณิชย์ทำงานร่วมกับหัววัดรังสี ชนิดผลึก CsI(Tl) ในหัวข้อที่ 4.3 ของบทที่ 4 พบว่า เครื่องนับพัลส์รังสีที่พัฒนาขึ้นมีค่าการแจก แจงพลังงานเท่ากับ 5.12 เปอร์เซ็นต์ ซึ่งในขณะเดียวกันเครื่องนับพัลส์เชิงพาณิชย์ที่มีค่าการแจกแจง พลังงานเท่ากับ 8.26 เปอร์เซ็นต์

ผลการทดสอบประสิทธิภาพเครื่องนับพัลส์รังสีที่พัฒนาขึ้นทำงานร่วมกับหัววัดรังสี ชนิดผลึก CsI(Tl) เปรียบเทียบกับประสิทธิภาพเครื่องนับพัลส์รังสีเชิงพาณิชย์ทำงานร่วมกับหัววัดรังสีชนิดผลึก CsI(Tl) ในหัวข้อที่ 4.4 ของบทที่ 4 พบว่า เครื่องนับพัลส์รังสีที่พัฒนาขึ้นมีค่าการแจกแจงพลังงานเท่ากับ 984 เปอร์เซ็นต์ซึ่งในขณะเดียวกันเครื่องนับพัลส์เชิงพาณิชย์ที่มีค่าการแจก แจงพลังงานเท่ากับ 9.58 เปอร์เซ็นต์

ดังนั้นค่าการแจกแจงพลังงาน จึงเป็นปัจจัยที่บอกรถึงความสามารถของระบบนับวัดใน การแยกแยะรายละเอียดของพลังงานต่างๆ ออกจากกัน ได้

5.2 แนวทางในการพัฒนาโครงงาน

นอกจากนี้เครื่องนับพัลส์รังสีของไทรอยด์อัพเทคที่พัฒนาขึ้นยังสามารถนำไปพัฒนาต่อ ขอดเป็นแบบเครื่องนับพัลส์รังสีแบบมัลติแซลแนล นั้นคือเครื่องนับพัลส์รังสีของไทรอยด์อัพเทคที่ พัฒนาขึ้นในโครงงานเล่มนี้สามารถเปิดวัดพลังงานได้ที่ละหนึ่งช่องเท่านั้นซึ่งจะใช้เวลามากในการ เก็บผลการทดลองแต่ถ้าเป็นแบบมัลติแซลแนลจะสามารถเปิดการวัดช่องพลังงานได้ที่ละหลายๆ ช่องในเวลาอันสั้น ซึ่งทำให้ประหยัดเวลาในการเก็บผลการทดลองและประหยัดเวลาในการนับวัด รังสี

5.3 ปัญหาและวิธีการแก้ไขปัญหา

5.3.1) ปัญหาคือ เมื่อทำการพัฒนาโปรแกรมเสร็จเรียบร้อย แต่โปรแกรมไม่สามารถ ควบคุมให้ในโทรศัพท์มือถือทำงานได้ตามที่ต้องการ

วิธีการแก้ไขปัญหาคือ เขียนແນกภาพเพื่อแสดงลำดับขั้นตอนการทำงานของ โปรแกรมขึ้นมาแล้วค่อยทำการเขียนโปรแกรม

5.3.2) ปัญหาคือ วงจรวิเคราะห์ความสูงของสัญญาณไม่สามารถทำงานได้เนื่องจากค่า ความด้านทานและค่าตัวเกินประจุสำหรับการต่อวงจรของ ไอซี 74123 ไม่เหมาะสม

วิธีการแก้ไขปัญหาคือ ทำการเปลี่ยนค่าความด้านทานและค่าตัวเกินประจุให้ เหมาะสมโดยการคำนวณจากสูตรในหัวข้อที่ 2.6.1 ของบทที่ 2

5.3.3) ปัญหาคือ เมื่อนำวงจรเหล่านี้มาติดต่อระบบเข้าประกอบในกล่องทำให้ วงจรเกิดความร้อนขึ้น

วิธีการแก้ไขปัญหาคือ นำพัดลมระบายความร้อนมาติดเพื่อระบายความร้อนออก จากกล่องใส่ชิ้นงาน

เอกสารอ้างอิง

- [1] ทีมงานสมาร์ทเดิร์นนิ่ง. (2543). พื้นฐานการออกแบบวงจรอย่างง่าย. (1). กรุงเทพฯ: ห้างหุ้นส่วนสามัญ สมาร์ทเดิร์นนิ่ง.
- [2] ทีมงานสมาร์ทเดิร์นนิ่ง. (2543). เรียนรู้การใช้งาน Protel DXP Altium Designer 6. (1). กรุงเทพฯ, ห้างหุ้นส่วนสามัญ สมาร์ทเดิร์นนิ่ง.
- [3] ประจิน พลังสันติคุณ. (2551). การเขียนโปรแกรมควบคุมไมโครคอนโทรลเลอร์ dsPIC30F4011 ด้วยคอมไฟเลอร์ MPLAB C. กรุงเทพฯ: บริษัท แอดพซอนฟ์เทค จำกัด.
- [4] นคร ภักดีชาติ ชัยวัฒน์ ลิ้มพรจิตรวิໄត. (2551). คู่มือการทดลองเบื้องต้น dsPIC Microcontroller ด้วยโปรแกรมภาษา C กับ MPLAB C30. กรุงเทพ: บริษัท อินโนเวตีฟ เอ็กเพอริเม้นต์ จำกัด.





ภาคพนวก ก
รายละเอียดของอุปกรณ์ หมายเลข LM741



www.fairchildsemi.com

LM741

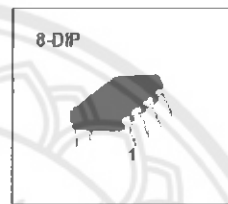
Single Operational Amplifier

Features

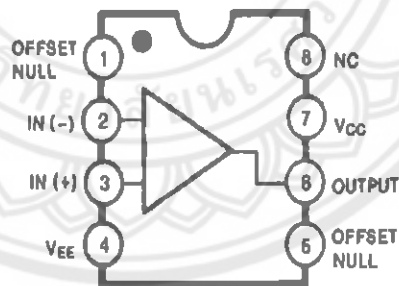
- Short circuit protection
- Excellent temperature stability
- Internal frequency compensation
- High Input voltage range
- Null offset

Description

The LM741 series are general purpose operational amplifiers. It is intended for a wide range of analog applications. The high gain and wide range of operating voltage provide superior performance in integrator, summing amplifier, and general feedback applications.

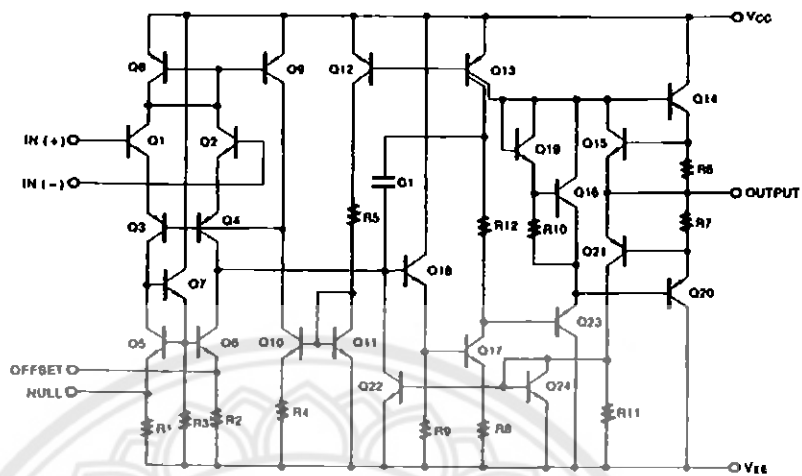


Internal Block Diagram



LM741

Schematic Diagram



Absolute Maximum Ratings (TA = 25°C)

Parameter	Symbol	LM741	Unit
Supply Voltage	V _{CC}	±18	V
Differential Input Voltage	V _{I(OIFF)}	30	V
Input Voltage	V _I	±15	V
Output Short Circuit Duration	-	Indefinite	-
Power Dissipation	P _D	500	mW
Operating Temperature Range	T _{OPR}	0 ~ +70	°C
Storage Temperature Range	T _{STG}	-65 ~ +150	°C



LM339, LM239, LM2901, LM2901V, NCV2901, MC3302



ON Semiconductor®

<http://onsemi.com>



SOIC-14
D SUFFIX
CASE 751A

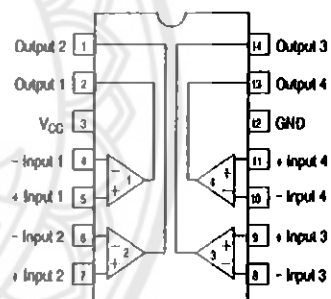


PDIP-14
N, P SUFFIX
CASE 646



TSSOP-14
DTB SUFFIX
CASE 948Q

PIN CONNECTIONS



[Top View]

ORDERING INFORMATION

See detailed ordering and shipping information in the package dimensions section on page 7 of this data sheet.

DEVICE MARKING INFORMATION

See general marking information in the device marking section on page 8 of this data sheet.

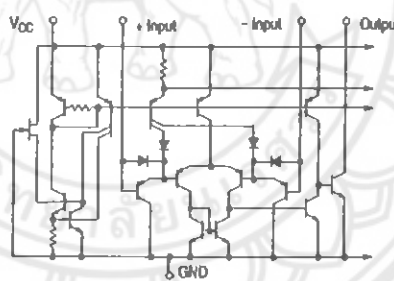
LM339, LM239, LM2901, LM2901V, NCV2901, MC3302

MAXIMUM RATINGS

Rating	Symbol	Value	Unit
Power Supply Voltage LM239/LM339/LM2901, V MC3302	V _{CC}	+36 or ± 18 +30 or ± 15	V _{dc}
Input Differential Voltage Range LM239/LM339/LM2901, V MC3302	V _{IDR}	36 30	V _{dc}
Input Common Mode Voltage Range	V _{ICMR}	-0.3 to V _{CC}	V _{dc}
Output Short Circuit to Ground (Note 1)	I _{SC}	Continuous	
Power Dissipation @ T _A = 25°C Plastic Package Derate above 25°C	P _D I _{R_{HJA}}	1.0 8.0	W mW/°C
Junction Temperature	T _J	150	°C
Operating Ambient Temperature Range LM239 MC3302 LM2901 LM2901V, NCV2901 LM339	T _A	-25 to +85 -40 to +85 -40 to +105 -40 to +125 0 to +70	°C
Storage Temperature Range	T _{stg}	-65 to +150	°C
ESD Protection at any Pin (Note 2) Human Body Model Machine Model	V _{ESD}	1500 200	V

Stresses exceeding Maximum Ratings may damage the device. Maximum Ratings are stress ratings only. Functional operation above the Recommended Operating Conditions is not implied. Extended exposure to stresses above the Recommended Operating Conditions may affect device reliability.

1. The maximum output current may be as high as 20 mA, independent of the magnitude of V_{CC}. Output short circuit to V_{CC} can cause excessive heating and eventual destruction.
2. V_{ESD} rating for NCV/SC devices is: Human Body Model – 2000 V; Machine Model – 200 V.



NOTE: Diagram shown is for 1 comparator.

Figure 1. Circuit Schematic



ภาคผนวก ค

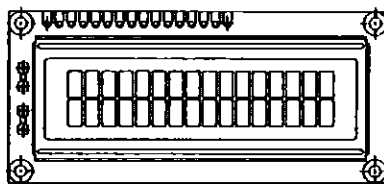
รายละเอียดของจดแสดงผลแลดูซีดี 16 ตัวอักษร 2 บรรทัด



LCD-016M002B

Vishay

16 x 2 Character LCD



FEATURES

- 5 x 8 dots with cursor
 - Built-in controller (KS 0066 or Equivalent)
 - + 5V power supply (Also available for + 3V)
 - 1/16 duty cycle
 - BL to be driven by pin 1, pin 2 or pin 15, pin 16 or A8 (LED)
 - N.V. optional for + 3V power supply

MECHANICAL DATA		
ITEM	STANDARD VALUE	UNIT
Module Dimension	80.0 x 36.0	mm
Viewing Area	66.0 x 16.0	mm
Dot Size	0.56 x 0.66	mm
Character Size	2.96 x 5.56	mm

ABSOLUTE MAXIMUM RATING					
ITEM	SYMBOL	STANDARD VALUE			UNIT
		MIN.	TYP.	MAX.	
Power Supply	VDD-VSS	-0.3	-	7.0	V
Input Voltage	VI	-0.3	-	VDD	V

NOTE: V_{SS} = 0 Volt, V_{DD} = 5.0 Volt

ELECTRICAL SPECIFICATIONS						
ITEM	SYMBOL	CONDITION	STANDARD VALUE			UNIT
			MIN.	TYP.	MAX.	
Input Voltage	VDD	VDD = +5V	4.7	5.0	5.3	V
		VDD = +3V	2.7	3.0	3.3	V
Supply Current	IDD	VDD = 5V	-	1.2	3.0	mA
Recommended LC Driving Voltage for Normal Temp. Version Module	VDD - V0	-20°C	-	-	-	V
		0°C	4.2	4.8	5.1	
		25°C	3.6	4.2	4.6	
		50°C	3.6	4.0	4.4	
		70°C	-	-	-	
LED Forward Voltage	VF	25°C	-	4.2	4.6	V
LED Forward Current	IF	25°C	Array	130	260	mA
		Edge	-	20	40	
EL Power Supply Current	IEL	Vol = 110VAC;400Hz	-	-	5.0	mA

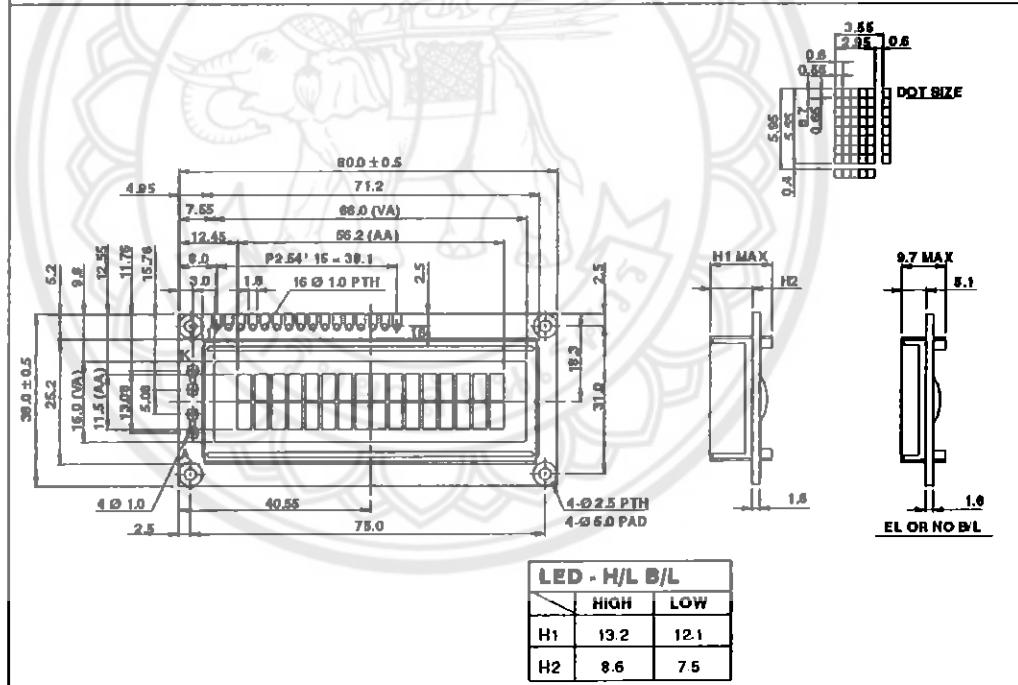
LCD-016M002B

Vishay

16 x 2 Character LCD



PIN NUMBER	SYMBOL	FUNCTION
1	V _{ss}	GND
2	V _{dd}	+3V or +5V
3	V _o	Contrast Adjustment
4	RS	H/L Register Select Signal
5	R/W	H/L Read/Write Signal
6	E	H-L Enable Signal
7	DB0	H/L Data Bus Line
8	DB1	H/L Data Bus Line
9	DB2	H/L Data Bus Line
10	DB3	H/L Data Bus Line
11	DB4	H/L Data Bus Line
12	DB5	H/L Data Bus Line
13	DB6	H/L Data Bus Line
14	DB7	H/L Data Bus Line
15	A/Vee	+4.2V for LED/Negative Voltage Output
16	K	Power Supply for B/L (OV)

DIMENSIONS in millimeters



ภาคผนวก ๑

รายละเอียดของไอซีเรกเกสเตอร์ หมายเลข LM7805,7810,7818

Block Diagram

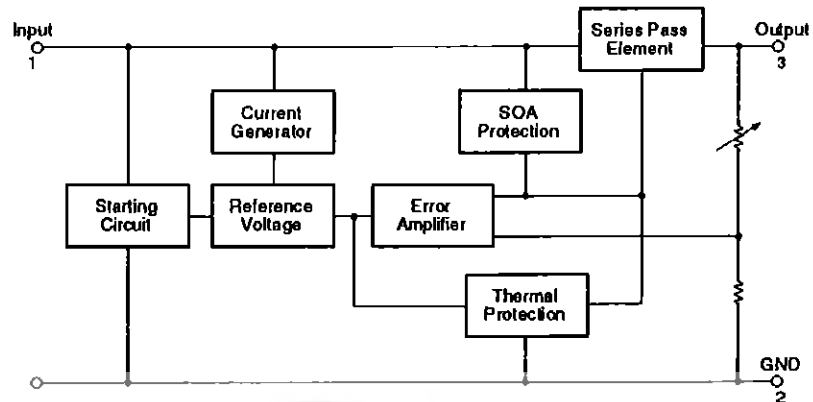


Figure 1.

Pin Assignment

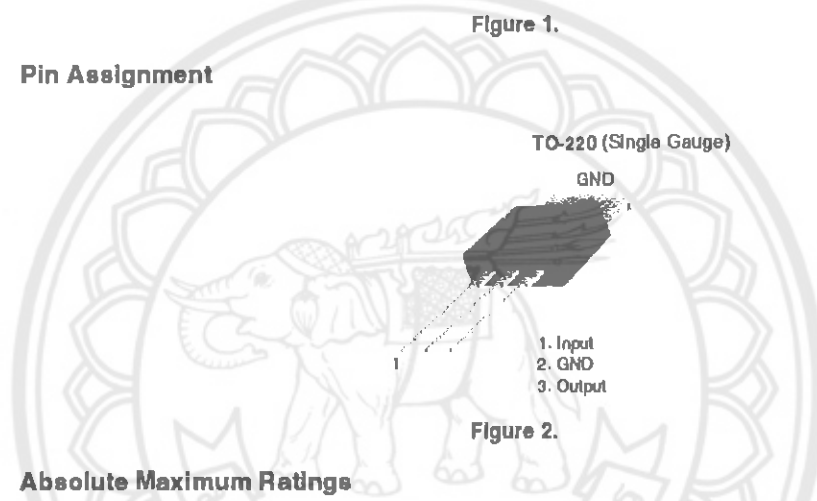


Figure 2.

Absolute Maximum Ratings

Absolute maximum ratings are those values beyond which damage to the device may occur. The datasheet specifications should be met, without exception, to ensure that the system design is reliable over its power supply, temperature, and output/input loading variables. Fairchild does not recommend operation outside datasheet specifications.

Symbol	Parameter		Value	Unit
V_I	Input Voltage		35	V
	$V_O = 5V$ to $18V$		40	V
R_{JJC}		Thermal Resistance Junction-Cases (TO-220)	5	$^{\circ}\text{C/W}$
R_{JJA}		Thermal Resistance Junction-Air (TO-220)	65	$^{\circ}\text{C/W}$
T_{OPR}	Operating Temperature Range		-40 to +125	$^{\circ}\text{C}$
	LM78xx		0 to +125	
T_{STG}	Storage Temperature Range		-65 to +150	$^{\circ}\text{C}$

Electrical Characteristics (LM7805)

Refer to the test circuits. $-40^\circ\text{C} < T_J < 125^\circ\text{C}$, $I_O = 500\text{mA}$, $V_I = 10\text{V}$, $C_I = 0.1\mu\text{F}$, unless otherwise specified.

Symbol	Parameter	Conditions		Min.	Typ.	Max.	Unit
V_O	Output Voltage	$T_J = +25^\circ\text{C}$		4.8	5.0	5.2	V
		$5\text{mA} \leq I_O \leq 1\text{A}$, $P_O \leq 15\text{W}$, $V_I = 7\text{V}$ to 20V		4.75	5.0	5.25	
Regline	Line Regulation ⁽¹⁾	$T_J = +25^\circ\text{C}$	$V_O = 7\text{V}$ to 25V	—	4.0	100	mV
			$V_I = 8\text{V}$ to 12V	—	1.6	50.0	
Regload	Load Regulation ⁽¹⁾	$T_J = +25^\circ\text{C}$	$I_O = 5\text{mA}$ to 1.5A	—	9.0	100	mV
			$I_O = 250\text{mA}$ to 750mA	—	4.0	50.0	
I_Q	Quiescent Current	$T_J = +25^\circ\text{C}$		—	5.0	8.0	mA
ΔI_Q	Quiescent Current Change	$I_O = 5\text{mA}$ to 1A		—	0.03	0.5	mA
		$V_I = 7\text{V}$ to 25V		—	0.3	1.3	
$\Delta V_O/\Delta T$	Output Voltage Drift ⁽²⁾	$I_O = 5\text{mA}$		—	-0.8	—	mV/°C
V_N	Output Noise Voltage	$f = 10\text{Hz}$ to 100kHz , $T_A = +25^\circ\text{C}$		—	42.0	—	$\mu\text{V}V_O$
RR	Ripple Rejection ⁽²⁾	$f = 120\text{Hz}$, $V_O = 8\text{V}$ to 18V		62.0	73.0	—	dB
V_{DROP}	Dropout Voltage	$I_O = 1\text{A}$, $T_J = +25^\circ\text{C}$		—	2.0	—	V
r_O	Output Resistance ⁽²⁾	$f = 1\text{kHz}$		—	15.0	—	$\text{m}\Omega$
I_{SC}	Short Circuit Current	$V_I = 35\text{V}$, $T_A = +25^\circ\text{C}$		—	230	—	mA
I_{PK}	Peak Current ⁽²⁾	$T_J = +25^\circ\text{C}$		—	2.2	—	A

Notes:

1. Load and line regulation are specified at constant junction temperature. Changes in V_O due to heating effects must be taken into account separately. Pulse testing with low duty is used.
2. These parameters, although guaranteed, are not 100% tested in production.

Electrical Characteristics (LM7810) (Continued)Refer to the test circuits. $-40^{\circ}\text{C} < T_J < 125^{\circ}\text{C}$, $I_O = 500\text{mA}$, $V_I = 16\text{V}$, $C_I = 0.33\mu\text{F}$, $C_O = 0.1\mu\text{F}$, unless otherwise specified.

Symbol	Parameter	Conditions		Min.	Typ.	Max.	Unit
V_O	Output Voltage	$T_J = +25^{\circ}\text{C}$		9.6	10.0	10.4	V
		$5\text{mA} \leq I_O \leq 1\text{A}$, $P_O \leq 15\text{W}$, $V_I = 12.5\text{V}$ to 25V		9.5	10.0	10.5	
Regline	Line Regulation ⁽⁹⁾	$T_J = +25^{\circ}\text{C}$	$V_I = 12.5\text{V}$ to 25V	—	10.0	200	mV
		$V_I = 13\text{V}$ to 26V		—	3.0	100	
Regload	Load Regulation ⁽⁹⁾	$T_J = +25^{\circ}\text{C}$	$I_O = 5\text{mA}$ to 1.5A	—	12.0	200	mV
		$I_O = 250\text{mA}$ to 750mA		—	4.0	400	
I_Q	Quiescent Current	$T_J = +25^{\circ}\text{C}$		—	5.1	8.0	mA
ΔI_Q	Quiescent Current Change	$I_O = 5\text{mA}$ to 1A		—	—	0.5	mA
		$V_I = 12.5\text{V}$ to 29V		—	—	1.0	
$\Delta V_O/\Delta T$	Output Voltage Drift ⁽¹⁰⁾	$I_O = 5\text{mA}$		—	-1.0	—	mV/ $^{\circ}\text{C}$
V_N	Output Noise Voltage	$f = 10\text{Hz}$ to 100kHz , $T_A = +25^{\circ}\text{C}$		—	58.0	—	$\mu\text{V}/\text{No}$
RR	Ripple Rejection ⁽¹⁰⁾	$f = 120\text{Hz}$, $V_O = 13\text{V}$ to 23V		56.0	71.0	—	dB
V_{DROP}	Dropout Voltage	$I_O = 1\text{A}$, $T_J = +25^{\circ}\text{C}$		—	2.0	—	V
r_O	Output Resistance ⁽¹⁰⁾	$f = 1\text{kHz}$		—	17.0	—	$\text{m}\Omega$
I_{SC}	Short Circuit Current	$V_I = 35\text{V}$, $T_A = +25^{\circ}\text{C}$		—	250	—	mA
I_{PK}	Peak Current ⁽¹⁰⁾	$T_J = +25^{\circ}\text{C}$		—	2.2	—	A

Notes:

9. Load and line regulation are specified at constant junction temperature. Changes in V_O due to heating effects must be taken into account separately. Pulse testing with low duty is used.
10. These parameters, although guaranteed, are not 100% tested in production.

Electrical Characteristics (LM7818) (Continued)Refer to the test circuits. $-40^{\circ}\text{C} < T_J < 125^{\circ}\text{C}$, $I_O = 500\text{mA}$, $V_I = 27\text{V}$, $C_1 = 0.33\mu\text{F}$, $C_O = 0.1\mu\text{F}$, unless otherwise specified.

Symbol	Parameter	Conditions	Min.	Typ.	Max.	Unit
V_O	Output Voltage	$T_J = +25^{\circ}\text{C}$	17.3	18.0	18.7	V
		$5\text{mA} \leq I_O \leq 1\text{A}$, $P_O \leq 15\text{W}$, $V_I = 21\text{V}$ to 33V	17.1	18.0	18.9	
Regline	Line Regulation ⁽¹⁵⁾	$T_J = +25^{\circ}\text{C}$ $V_I = 21\text{V}$ to 33V	—	15.0	360	mV
		$V_I = 24\text{V}$ to 30V	—	5.0	180	
Regload	Load Regulation ⁽¹⁵⁾	$T_J = +25^{\circ}\text{C}$ $I_O = 5\text{mA}$ to 1.5A	—	15.0	360	mV
		$I_O = 250\text{mA}$ to 750mA	—	5.0	180	
I_Q	Quiescent Current	$T_J = +25^{\circ}\text{C}$	—	5.2	8.0	mA
ΔI_Q	Quiescent Current Change	$I_O = 5\text{mA}$ to 1A	—	—	0.5	mA
		$V_I = 21\text{V}$ to 33V	—	—	1.0	
$\Delta V_O/\Delta T$	Output Voltage Drift ⁽¹⁶⁾	$I_O = 5\text{mA}$	—	-1.0	—	mV/°C
V_N	Output Noise Voltage	$f = 10\text{Hz}$ to 100kHz , $T_A = +25^{\circ}\text{C}$	—	110	—	$\mu\text{V}/\sqrt{\text{Hz}}$
RR	Ripple Rejection ⁽¹⁶⁾	$f = 120\text{Hz}$, $V_I = 22\text{V}$ to 32V	53.0	69.0	—	dB
V_{ODROP}	Dropout Voltage	$I_O = 1\text{A}$, $T_J = +25^{\circ}\text{C}$	—	2.0	—	V
r_O	Output Resistance ⁽¹⁶⁾	$f = 1\text{kHz}$	—	22.0	—	$\text{m}\Omega$
I_{SC}	Short Circuit Current	$V_I = 35\text{V}$, $T_A = +25^{\circ}\text{C}$	—	250	—	mA
I_{PK}	Peak Current ⁽¹⁶⁾	$T_J = +25^{\circ}\text{C}$	—	2.2	—	A

Notes:

15. Load and line regulation are specified at constant junction temperature. Changes in V_O due to heating effects must be taken into account separately. Pulse testing with low duty is used.

16. These parameters, although guaranteed, are not 100% tested in production.



LM79XX LINEAR INTEGRATED CIRCUIT

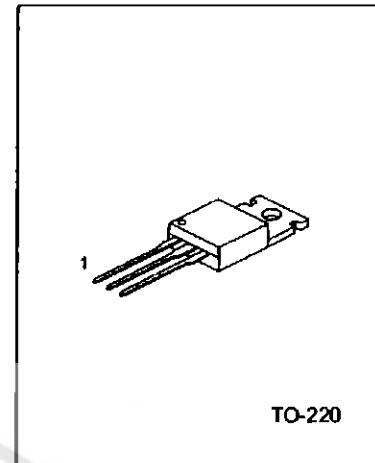
3 TERMINAL 1A NEGATIVE VOLTAGE REGULATOR

DESCRIPTION

The Contek LM79XX series of three-terminal negative regulators are available in TO-220 package and with several fixed output voltage, making them useful in a wide range of application. Each type employs internal current limiting, thermal shut-down and safe area protection, making it essentially indestructible.

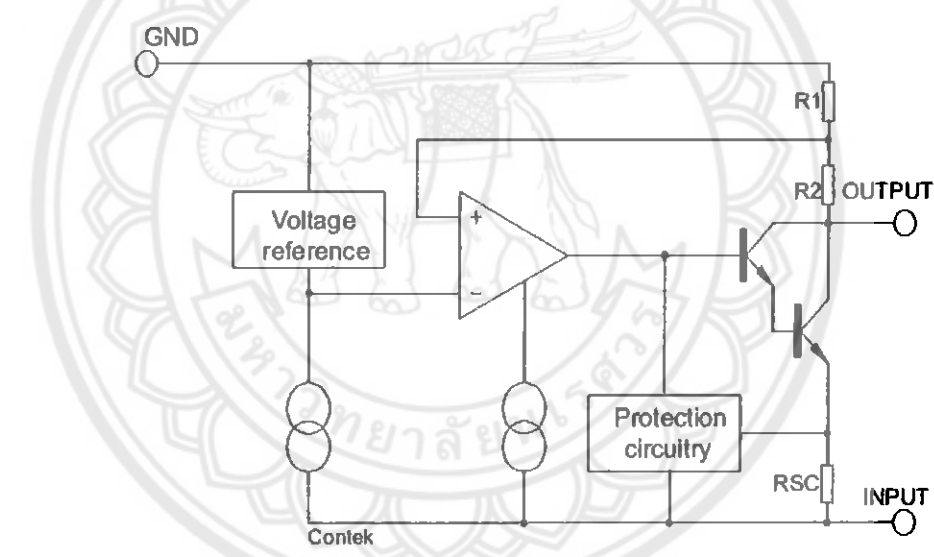
FEATURES

- *Output current up to 1A
- *-5V;-6V;-8V;-12V;-15V;-18V;-24V output voltage available
- *Thermal overload protection
- *Short circuit protection



1:GND 2:Input 3:Output

BLOCK DIAGRAM



LM79XX LINEAR INTEGRATED CIRCUIT

Contek7915 ELECTRICAL CHARACTERISTICS

(Refer to test circuits, $0 < T_j < 125^\circ\text{C}$, $I_o = 500\text{mA}$, $V_i = -23\text{V}$, $C_i = 2.2\mu\text{F}$, $C_o = 1\mu\text{F}$, unless otherwise specified)

PARAMETER	SYMBOL	TEST CONDITIONS	MIN	TYP	MAX	UNIT
Output voltage	V_o	$T_j = 25^\circ\text{C}$ $5.0\text{mA} < I_o < 1.0\text{A}$, $P_o < 15\text{W}$ $V_i = -17.5\text{V}$ to -30V	-14.4	-15.0	-15.6	V
Line regulation	ΔV_o	$T_j = 25^\circ\text{C}$, $V_i = -17.5\text{V}$ to -30V	-14.25	-15	-15.75	V
		$T_j = 25^\circ\text{C}$, $V_i = -20\text{V}$ to -26V		6	150	mV
Load regulation	ΔV_o	$T_j = 25^\circ\text{C}$, $I_o = 5.0\text{mA}$ to 1.5A		12	300	mV
		$T_j = 25^\circ\text{C}$, $I_o = 250\text{mA}$ to 750mA		4	150	mV
Quiescent current	I_q	$T_j = 25^\circ\text{C}$		3	6	mA
Quiescent current change	ΔI_q	$I_o = 5\text{mA}$ to 1.0A		0.05	0.5	mA
		$V_i = -17.5\text{V}$ to -30.5V		0.1	1.0	mA
Output voltage drift	$\Delta V_o/\Delta T$	$I_o = 5\text{mA}$		-0.9		mV/°C
Output noise voltage	V_N	$f = 10\text{Hz}$ to 100kHz , $T_a = 25^\circ\text{C}$		250		µV
Ripple rejection	RR	$f = 120\text{Hz}$, $V_i = -18.5\text{V}$ to -28.5V	54	60		dB
Dropout voltage	V_o	$I_o = 1.0\text{A}$, $T_j = 25^\circ\text{C}$		2		V
Short circuit current	I_{sc}	$V_i = -35\text{V}$, $T_a = 25^\circ\text{C}$		300		mA
peak current	I_{pk}	$T_j = 25^\circ\text{C}$		2.2		A

Contek7918 ELECTRICAL CHARACTERISTICS

(Refer to test circuits, $0 < T_j < 125^\circ\text{C}$, $I_o = 500\text{mA}$, $V_i = -27\text{V}$, $C_i = 2.2\mu\text{F}$, $C_o = 1\mu\text{F}$, unless otherwise specified)

PARAMETER	SYMBOL	TEST CONDITIONS	MIN	TYP	MAX	UNIT
Output voltage	V_o	$T_j = 25^\circ\text{C}$ $5.0\text{mA} < I_o < 1.0\text{A}$, $P_o < 15\text{W}$ $V_i = -21\text{V}$ to -33V	-17.3	-18.0	-18.7	V
Line regulation	ΔV_o	$T_j = 25^\circ\text{C}$, $V_i = -21\text{V}$ to -33V	-17.1	-18	-18.9	V
		$T_j = 25^\circ\text{C}$, $V_i = -24\text{V}$ to -30V		15	360	mV
Load regulation	ΔV_o	$T_j = 25^\circ\text{C}$, $I_o = 5.0\text{mA}$ to 1.5A		15	360	mV
		$T_j = 25^\circ\text{C}$, $I_o = 250\text{mA}$ to 750mA		5.0	180	mV
Quiescent current	I_q	$T_j = 25^\circ\text{C}$		3	6	mA
Quiescent current change	ΔI_q	$I_o = 5\text{mA}$ to 1.0A		0.05	0.5	mA
		$V_i = -21\text{V}$ to -32V			1.0	mA
Output voltage drift	$\Delta V_o/\Delta T$	$I_o = 5\text{mA}$		-1		mV/°C
Output noise voltage	V_N	$f = 10\text{Hz}$ to 100kHz , $T_a = 25^\circ\text{C}$		300		µV
Ripple rejection	RR	$f = 120\text{Hz}$, $V_i = -22\text{V}$ to -32V	54	60		dB
Dropout voltage	V_o	$I_o = 1.0\text{A}$, $T_j = 25^\circ\text{C}$		2		V
Short circuit current	I_{sc}	$V_i = -35\text{V}$, $T_a = 25^\circ\text{C}$		300		mA
peak current	I_{pk}	$T_j = 25^\circ\text{C}$		2.2		A



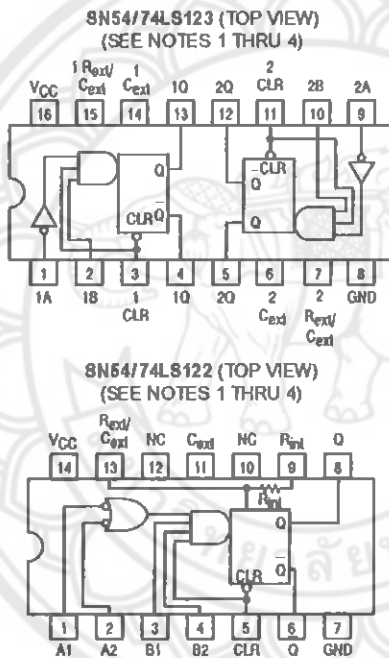


MOTOROLA

RETRIGGERABLE MONOSTABLE MULTIVIBRATORS

These dc triggered multivibrators feature pulse width control by three methods. The basic pulse width is programmed by selection of external resistance and capacitance values. The LS122 has an internal timing resistor that allows the circuits to be used with only an external capacitor. Once triggered, the basic pulse width may be extended by retriggering the gated low-level-active (A) or high-level-active (B) inputs, or be reduced by use of the overriding clear.

- Overriding Clear Terminates Output Pulse
 - Compensated for V_{CC} and Temperature Variations
 - DC Triggered from Active-High or Active-Low Gated Logic Inputs
 - Retriggerable for Very Long Output Pulses, up to 100% Duty Cycle
 - Internal Timing Resistors on LS122



NC = NO INTERNAL CONNECTION.

NOTES:

- NOTES:

 1. An external timing capacitor may be connected between C_{ext} and R_{ext}/C_{ext} (positive).
 2. To use the internal timing resistor of the LS122, connect R_{in} to V_{CC} .
 3. For improved pulse width accuracy connect an external resistor between R_{ext}/C_{ext} and V_{CC} with R_{in} open-circuited.
 4. To obtain variable pulse widths, connect an external variable resistance between R_{in}/C_{ext} and V_{CC} .

SN54/74LS122
SN54/74LS123

RETRIGGERABLE MONOSTABLE MULTIVIBRATORS

LOW POWER SCHOTTKY



J SUFFIX
CERAMIC
CASE 620-09



N SUFFIX
PLASTIC
CASE 64B-08



**D SUFFIX
SOC
CASE 751B 03**



J SUFFIX
CERAMIC
PAGE 000 00



N SUFFIX
PLASTIC



D SUFFIX
SOTC

ORDERING INFORMATION

SN54LSXXXJ Ceramic
SN74LSXXXN Plastic
SN74LSXXXD SOIC

SN54/74LS122 • SN54/74LS123

**LS122
FUNCTIONAL TABLE**

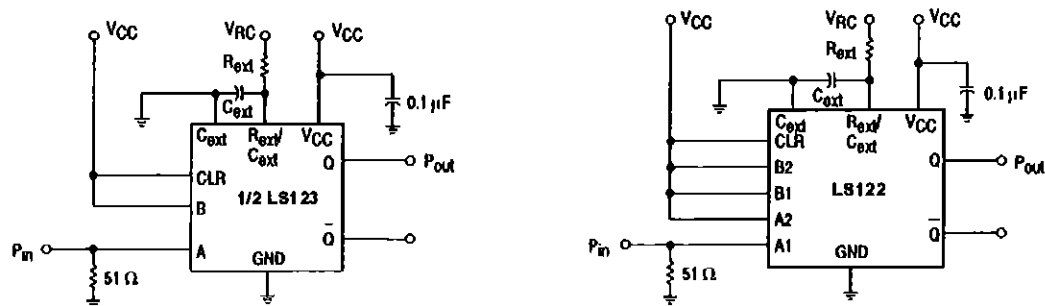
CLEAR	INPUTS				OUTPUTS	
	A1	A2	B1	B2	Q	Q
L	X	X	X	X	L	H
X	H	H	X	X	L	H
X	X	X	L	X	L	H
X	X	X	X	L	L	H
H	L	X	↑	H	↑	↑
H	L	X	H	↑	↑	↑
H	X	L	↑	H	↑	↑
H	X	L	H	↑	↑	↑
H	H	↓	H	H	↑	↑
H	↓	↓	H	H	↑	↑
H	↓	H	H	H	↑	↑
↑	L	X	H	H	↑	↑
↑	X	L	H	H	↑	↑

**LS123
FUNCTIONAL TABLE**

CLEAR	INPUTS			OUTPUTS	
	A	B	Q	Q	
L	X	X	L	H	
X	H	X	L	H	
X	X	L	L	H	
H	L	↑	↑	↑	
H	↓	H	↑	↑	
↑	L	H	↑	↑	

GUARANTEED OPERATING RANGES

Symbol	Parameter	54	Min	Typ	Max	Unit
V _{CC}	Supply Voltage	54 74	4.5 4.75	5.0 5.0	5.5 5.25	V
T _A	Operating Ambient Temperature Range	54 74	-55 0	25 25	125 70	°C
I _{OH}	Output Current — High	54, 74			-0.4	mA
I _{OL}	Output Current — Low	54 74			4.0 8.0	mA
R _{ext}	External Timing Resistance	54 74	6.0 5.0		180 260	kΩ
C _{ext}	External Capacitance	54, 74			No Restriction	
R _{ext} /C _{ext}	Wiring Capacitance at R _{ext} /C _{ext} Terminal	54, 74			50	pF

SN54/74LS122 • SN54/74LS123



ภาคผนวก ช
รายละเอียดของไอซีพีดิปฟลอบชนิด ดี เบอร์ 7474



September 1986
Revised July 2001

DM7474

Dual Positive-Edge-Triggered D-Type Flip-Flops with Preset, Clear and Complementary Outputs

General Description

This device contains two independent positive-edge-triggered D-type flip-flops with complementary outputs. The information on the D input is accepted by the flip-flops on the positive going edge of the clock pulse. The triggering occurs at a voltage level and is not directly related to the

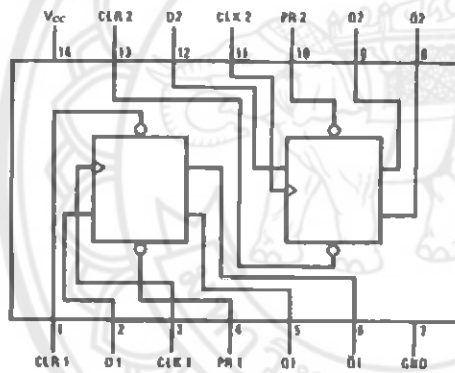
transition time of the rising edge of the clock. The data on the D input may be changed while the clock is LOW or HIGH without affecting the outputs as long as the data setup and hold times are not violated. A LOW logic level on the preset or clear inputs will set or reset the outputs regardless of the logic levels of the other inputs.

Ordering Code:

Order Number	Package Number	Package Description
DM7474M	M14A	14-Lead Small Outline Integrated Circuit (SOIC), JEDEC MS-012, 0.150" Narrow
DM7474N	N14A	14-Lead Plastic Dual-In-Line Package (PDIP), JEDEC MS-001, 0.300" Wide

Devices also available in Tape and Reel. Specify by appending the suffix letter 'X' to the ordering code.

Connection Diagram



Function Table

Inputs				Outputs	
PR	CLR	CLK	D	Q	\bar{Q}
L	H	X	X	H	L
H	L	X	X	L	H
L	L	X	X	H	H
H	H	↑	H	H	L
H	H	↑	L	L	H
H	H	L	X	Q_0	\bar{Q}_0

H = HIGH Logic Level

X = Either LOW or HIGH Logic Level

L = LOW Logic Level

↑ = Positive-going transition of the clock.

Q_0 = The output logic level of Q before the indicated input conditions were established.

Note 1: This configuration is nonlatchable; that is, it will not persist when either the preset and/or clear inputs return to their inactive (HIGH) level.

Absolute Maximum Ratings (Note 2)

Supply Voltage	7V
Input Voltage	5.5V
Operating Free Air Temperature Range	0°C to +70°C
Storage Temperature Range	-65°C to +150°C

Note 2: The 'Absolute Maximum Ratings' are those values beyond which the safety of the device cannot be guaranteed. The device should not be operated at these limits. The parametric values defined in the Electrical Characteristics table are not guaranteed at the absolute maximum ratings. The 'Recommended Operating Conditions' table will define the conditions for actual device operation.

Recommended Operating Conditions

Symbol	Parameter	Min	Nom	Max	Units
V _{CC}	Supply Voltage	4.75	5	5.25	V
V _{IH}	HIGH Level Input Voltage	2			V
V _{IL}	LOW Level Input Voltage			0.8	V
I _{OH}	HIGH Level Output Current			-0.4	mA
I _{OL}	LOW Level Output Current			16	mA
f _{CLK}	Clock Frequency (Note 4)	0		15	MHz
t _W	Pulse Width (Note 4)	Clock HIGH Clock LOW Clear LOW Preset LOW	30 37 30 30		ns
t _{SU}	Input Setup Time (Note 3)(Note 4)	20†			ns
t _H	Input Hold Time (Note 3)(Note 4)	5†			ns
T _A	Free Air Operating Temperature	0		70	°C

Note 3: The symbol (†) indicates the rising edge of the clock pulse is used for reference.

Note 4: T_A = 25°C and V_{CC} = 5V.

Electrical Characteristics

over recommended operating free air temperature range (unless otherwise noted)

Symbol	Parameter	Conditions	Min	Typ (Note 5)	Max	Units
V _I	Input Clamp Voltage	V _{CC} = Min, I _I = -12 mA			-1.5	V
V _{OH}	HIGH Level Output Voltage	V _{CC} = Min, I _{OH} = Max V _L = Max, V _H = Min	24	3.4		V
V _{OL}	LOW Level Output Voltage	V _{CC} = Min, I _{OL} = Max V _H = Min, V _L = Max		0.2	0.4	V
I _I	Input Current @ Max Input Voltage	V _{CC} = Max, V _I = 5.5V			1	mA
I _H	HIGH Level Input Current	V _{CC} = Max V _I = 2.4V	D Clock Clear Preset	40 80 120 40		µA
I _L	LOW Level Input Current	V _{CC} = Max V _I = 0.4V (Note 8)	D Clock Clear Preset	-1.6 -3.2 -3.2 -1.6		mA
I _{OS}	Short Circuit Output Current	V _{CC} = Max (Note 6)	-16		-55	mA
I _{CO}	Supply Current	V _{CC} = Max (Note 7)		17	30	mA

Note 5: All typicals are at V_{CC} = 5V, T_A = 25°C.

Note 6: Not more than one output should be shorted at a time.

Note 7: With all outputs open, I_{CO} is measured with the Q and \bar{Q} outputs HIGH in turn. At the time of measurement the clock is grounded.

Note 8: Clear is tested with preset HIGH and preset is tested with clear HIGH.



HD74LS11 / HD74LS15

Triple 3-input Positive AND Gates /
Triple 3-input Positive AND Gates (with Open Collector Outputs)

REJ03D0397-0300

Rev.3.00

Jul.13.2005

Features

- Ordering Information

- HD74LS11

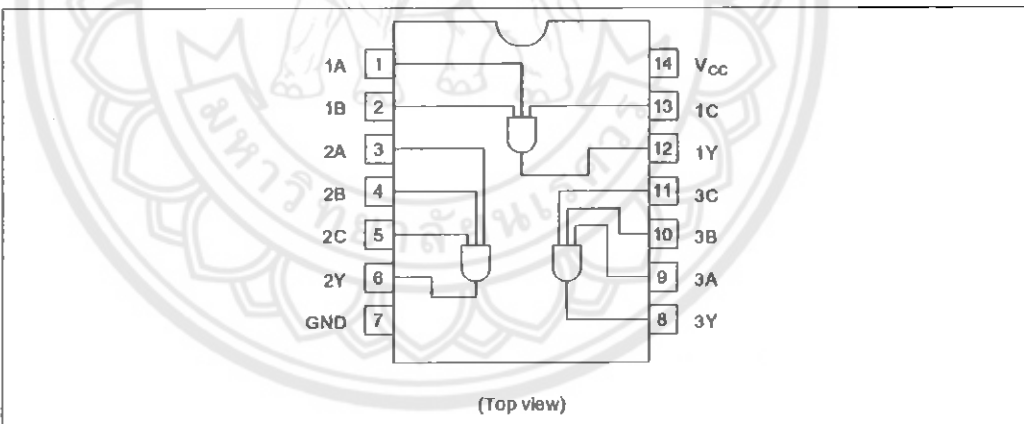
Part Name	Package Type	Package Code (Previous Code)	Package Abbreviation	Taping Abbreviation (Quantity)
HD74LS11P	DILP-14 pin	PRDP0014AB-B (OP-14AV)	P	--
HD74LS11FPEL	SOP-14 pin (JEITA)	PRSP0014DF-B (FP-14DAV)	FP	EL (2,000 pcs/reel)

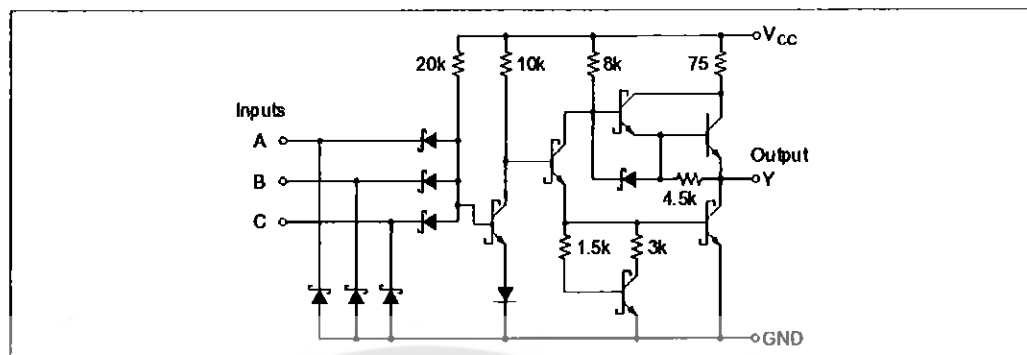
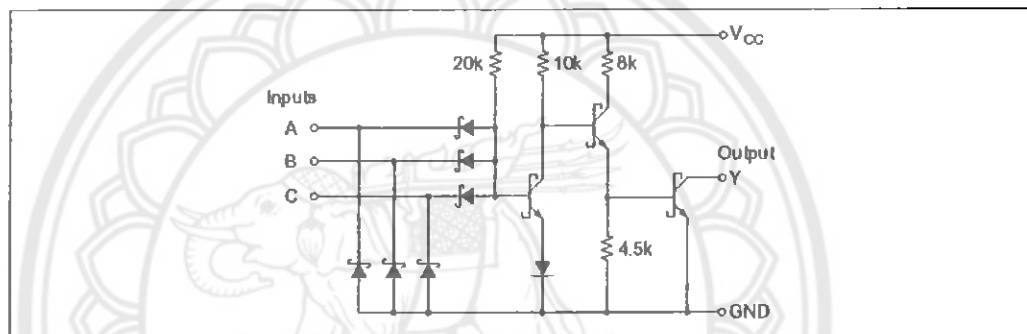
- HD74LS15

Part Name	Package Type	Package Code (Previous Code)	Package Abbreviation	Taping Abbreviation (Quantity)
HD74LS15FPEL	SOP-14 pin (JEITA)	PRSP0014DF-B (FP-14DAV)	FP	EL (2,000 pcs/reel)

Note: Please consult the sales office for the above package availability.

Pin Arrangement



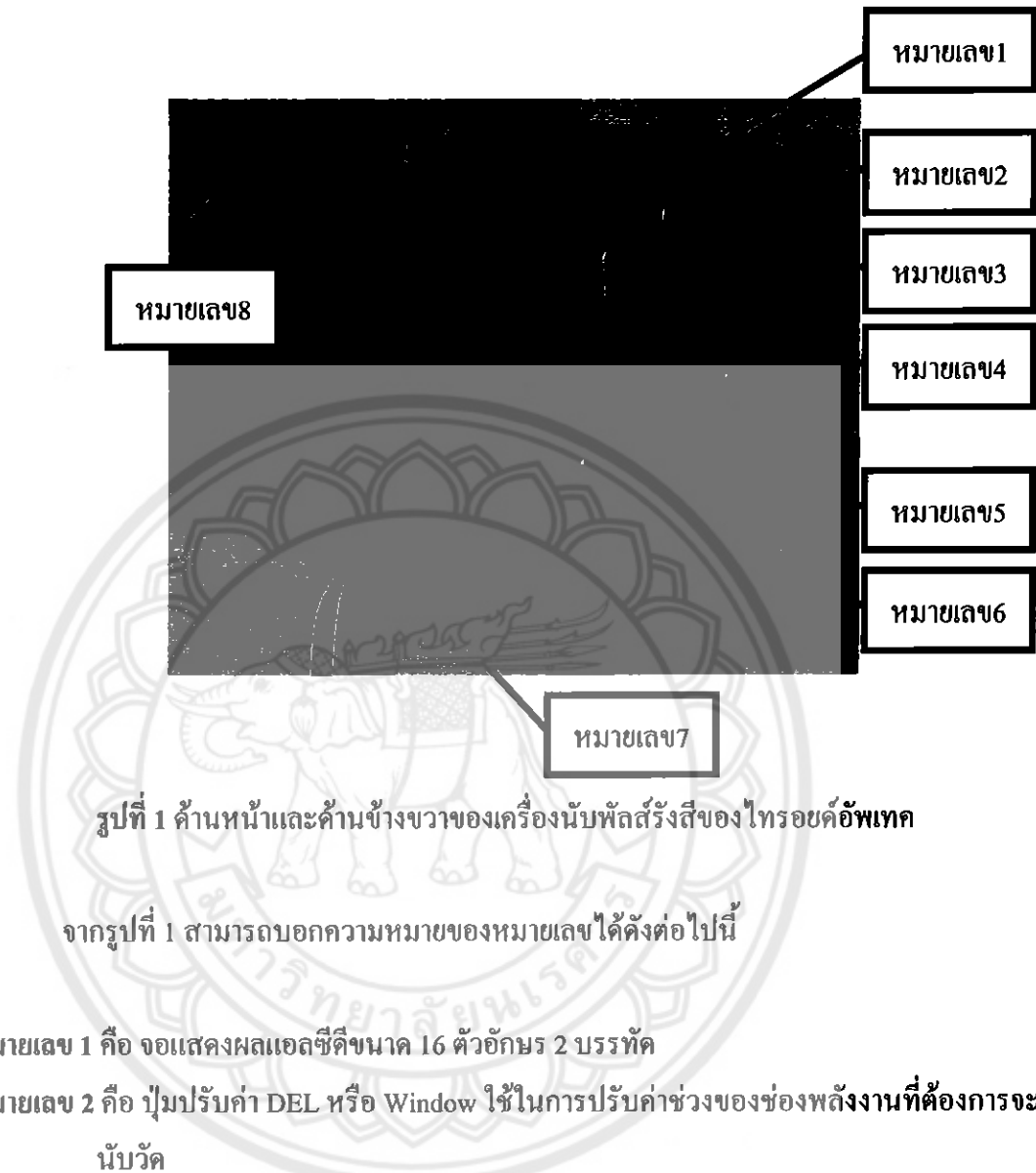
HD74LS11 / HD74LS15**Circuit Schematic (1/3)****HD74LS11****HD74LS15****Absolute Maximum Ratings**

Item	Symbol	Ratings	Unit
Supply voltage	V_{CC} ^{Note}	7	V
Input voltage	V_{IN}	7	V
Power dissipation	P_T	400	mW
Storage temperature	T_{STG}	-65 to +150	°C

Note: Voltage value, unless otherwise noted, are with respect to network ground terminal.



1 ส่วนประกอบเครื่องนับพัลส์รังสีของไทรอยด์อัพเทค



群ที่ 1 ค้านหน้าและค้านข้างขวาของเครื่องนับพัลส์รังสีของไทรอยด์อัพเทค

จาก群ที่ 1 สามารถอุปกรณ์ที่ต้องการใช้ในการติดต่อไปนี้

หมายเลข 1 กือ จอแสดงผลแอลซีดีบีนาค 16 ตัวอักษร 2 บรรทัด

หมายเลข 2 กือ บุ่มปรับค่า DEL หรือ Window ใช้ในการปรับค่าช่วงของช่องพัลส์งานที่ต้องการจะนับวัด

หมายเลข 3 กือ บุ่มปรับค่า LLD หรือ Lower Level Discriminator เป็นตัวปรับแรงดันระดับต่ำในการนับวัดสัญญาณ

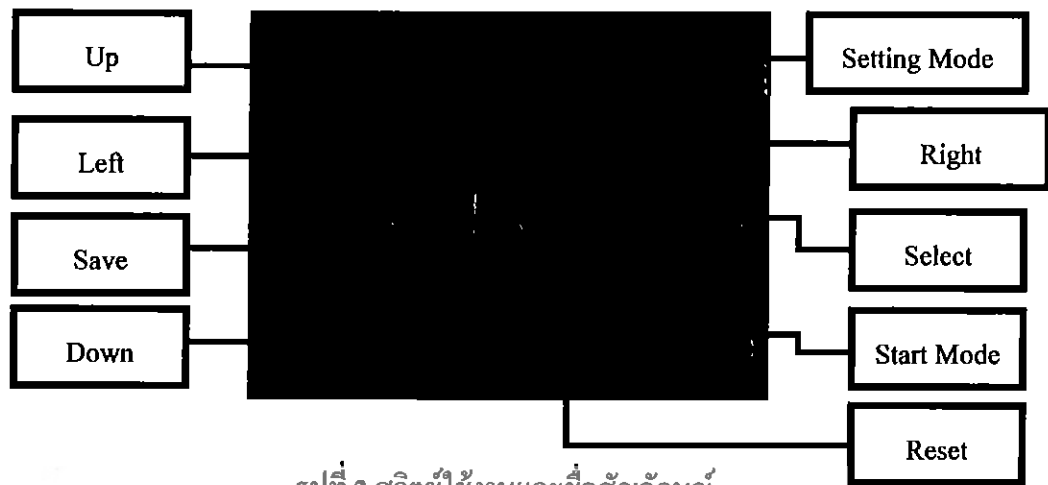
หมายเลข 4 กือ หัวเสียบ BNC สำหรับรับสัญญาณจากวงจร Amplifier เพื่อนำสัญญาณมาวิเคราะห์ในวงจรวิเคราะห์ความสูงของพัลส์สัญญาณ

หมายเลข 5 กือ ไฟแสดงสถานะ จะสว่างเมื่อเปิดสวิตช์

หมายเลข 6 กือ สวิตช์ที่ใช้เปิดปิดวงจรแหล่งจ่ายไฟฟ้ากระแสตรง

หมายเลข 7 กือ สายไฟสำหรับรับไฟบ้าน 220 VAC เพื่อส่งไปยังหม้อแปลงแรงดันอิเล็กทรอนิกส์

หมายเลข 8 กือ บุ่มกดสวิตช์ใช้งาน



รูปที่ 2 สวิตช์ใช้งานและชื่อสัญลักษณ์

รูปที่ 2 มีความหมายของชื่อสัญลักษณ์ดังต่อไปนี้

Left กือ ปุ่มกดที่ใช้เลื่อนหลักตัวเลขไปทางซ้ายในการตั้งค่าเวลาการนับพัลส์

Down กือ ปุ่มกดที่ใช้ลดจำนวนตัวเลขลงสำหรับตั้งค่าเวลาการนับพัลส์

Save กือ ปุ่มกดที่ใช้สำหรับการเซฟค่าต่างๆเมื่อเราตั้งค่าตัวเลขนั้นๆเสร็จ

Up กือ ปุ่มกดที่ใช้เพิ่มจำนวนตัวเลขของแต่ละหลักขึ้นสำหรับตั้งค่าเวลาการนับพัลส์

Right กือ ปุ่มกดที่ใช้เลื่อนหลักตัวเลขไปทางขวาในการตั้งค่าเวลาการนับพัลส์

Setting Mode กือ ปุ่มที่ใช้ในการเลือกโหมดที่ต้องการการตั้งค่าคือ LLD,DEL และ Time

Select กือ ปุ่มที่ใช้ในการเลือกโหมดที่ต้องการตั้งค่า

Start Mode กือ ภายในโหมดนี้จะมีโหมดย่อยแบ่งออกเป็น 3 โหมดบอย กือ Start,Recal และ Home

โดยที่โหมดบอย Start ใช้สำหรับเมื่อต้องการเริ่มนับพัลส์ Recal ใช้สำหรับเรียกคืนที่นับวัดแล้วข้อนหลัง และส่วน Home ใช้สำหรับต้องการกลับหน้าหลัก

Reset กือ ปุ่มคนจะต้องผูกกับขา MCLR ใช้สำหรับการรีเซตในโครคุณโทรล็อกอิร์ dsPIC30F4011



รูปที่ 3 ค้านข้างข้ายของเครื่องนับพัลส์รังสีของไทรอยด์อัพเทก
จากรูปที่ 3 สามารถอุดความหมายของหมายเลขได้ดังต่อไปนี้

หมายเลข 9 คือ อแคปเตอร์ 9 โวลต์กระแสตรงขนาด 0.6 แอมป์

หมายเลข 10 คือ สายดาวน์โหลด โปรแกรมลงบนไมโครคอนโทรลเลอร์ dsPIC30F4011

หมายเลข 11 คือ พัคฒนาระบบความร้อน

2 ขั้นตอนการใช้งานเครื่องนับพัลส์รังสีของไทรอยด์อัพเทก

สามารถทำตามขั้นตอนได้ดังต่อไปนี้

1 เสียบสายอแดปเตอร์เข้ากับหัวรับดังรูปที่ 3 หมายเลข 9 แล้วทำการเปิดสวิตช์สีแดงดังรูปที่ 1 ถ้ามีไฟเข้าไฟสีแดงเหมือนสวิตช์จะสว่างขึ้น และพัคฒนาระบบความร้อนดังรูปที่ 3 หมายเลข 11 ติดทันที

2 สังเกตหน้าจอแอลซีดีจะสว่างและมีตัวอักษรขึ้นดังต่อไปนี้



รูปที่ 4 หน้าจอแอลซีดีเมื่อเปิดหน้าจอ

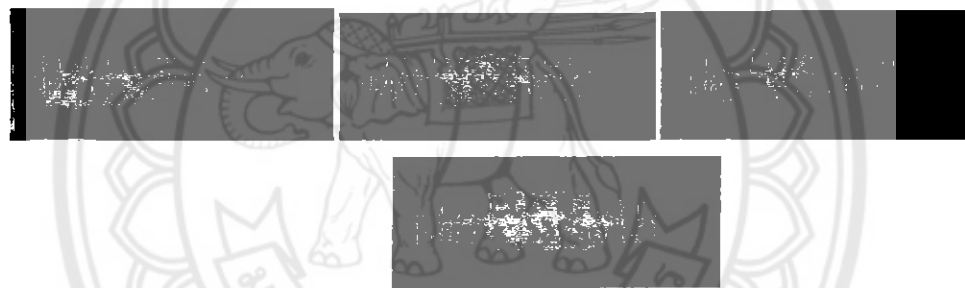
3 เสียบหัวเสียบ BNC เข้ากับหัวรับ BNC ที่อยู่ด้านข้างขวาของเครื่องนับพัลส์รังสีของไทรอยค์อัพเทคดังรูปที่ 1 หมายเลข 4

4 ทำการตั้งค่า LLD,DEL และ Time โดยการกดปุ่ม “Setting Mode” ค้างไว้จนกว่าจะเปลี่ยนหน้าจอจากรูปที่ 4 ไปเป็นหน้าจอคังรูปที่ 5 แล้วปล่อยมือออกจากสวิตช์



รูปที่ 5 เมื่อกดสวิตช์ปุ่มกด “Setting Mode”

5 ภายในหน้าจอรูปที่ 5 ทำการเลือกค่าที่ต้องการจะตั้งค่าโดยกดปุ่ม “Select” ค้างไว้อีกจนกว่าจะเปลี่ยนหน้าจอจากรูปที่ 5 ไปเป็นหน้าจอรูปที่ 6



รูปที่ 6 เมื่อกดสวิตช์ปุ่มกด “Select”

6 ทำการตั้งค่า LLD โดยเลือก “1. LLD” แล้วกดปุ่มสวิตช์ “Save” ดังรูปที่ 2 จากนั้นทำการปรับค่าโดยการหมุนปุ่มสีแดง เมื่อปรับเสร็จแล้วก็กดปุ่ม “Save” อีกครั้งดังรูปที่ 7



รูปที่ 7 การปรับค่า LLD และการแสดงผล

7 ทำการตั้งค่า DEL โดยเลือก “2. DEL” แล้วกดปุ่ม “Save” ดังรูปที่ 2 จากนั้นทำการปรับค่าโดยการหมุนปุ่มสีน้ำเงิน เมื่อปรับเสร็จแล้วก็กดปุ่ม “Save” อีกครั้งดังรูปที่ 8



รูปที่ 8 การปรับค่า DEL และการแสดงผล

8 ทำการตั้งค่า Time โดยเลือก “3. Time” ดังรูปที่ 6 แล้วกดปุ่ม “Save” ดังรูปที่ 2 จากนั้นทำการตั้งค่าเวลาซึ่งมีหน่วยเป็นวินาที โดยสามารถตั้งค่าได้ทั้งหมด 4 หลัก แต่ละหลักมีหลักการตั้งค่าคือ ถ้าต้องการตั้งค่าเวลา 60 วินาที ก็ทำการกดสวิตช์ “Right” สองครั้งเพื่อเลื่อนหลักไปทางซ้ายเมื่อสองหลัก จากนั้นทำการกดสวิตช์ “Up” เพื่อทำการเพิ่มจำนวนตัวเลขหรือถ้าต้องการลดจำนวนตัวเลขลงก็กดสวิตช์ “Down” ดังรูปที่ 2 จากนั้นทำการกดสวิตช์ “Right” อีกครั้ง เพื่อที่จะไปตั้งค่าหลักสุดท้าย จะได้ดังรูปที่ 9 เมื่อทำการตั้งค่าเวลาเสร็จเรียบร้อยแล้วก็กดปุ่ม “Save” เพื่อทำการบันทึกค่า



รูปที่ 9 การตั้งค่าเวลาเป็นวินาที

9 เมื่อตั้งค่าทั้ง LLD,DEL และ Time เสร็จแล้วก็ทำการเลือก “4. Start” เพื่อเข้าสู่โหมดเริ่มการทำงาน โดยจะปรากฏหน้าจอแสดงผลดังรูปที่ 10 หรือการเข้าสู่โหมดเริ่มการทำงานอีกวิธีคือ หลังจากตั้งค่าทั้งสามข้างต้นเสร็จแล้ว ก็กด “Reset” ดังรูปที่ 2 ผลที่เกิดจากการกดคือ โปรแกรมจะกลับไปสู่หน้าเริ่มต้น จากนั้นทำการกดปุ่ม “Start Mode” ค้างไว้จนหน้าจอเปลี่ยนหน้าจอดังรูปที่ 10



รูปที่ 10 เมื่อเข้ามาสู่โหมดเริ่มการทำงาน

10 เมื่อหน้าจอแสดงดังรูปที่ 10 แล้ว จากนั้นกดปุ่ม “Select” ค้างไว้จนหน้าจอแอลซีดเปลี่ยนหน้าจอเป็นดังรูปที่ 11 เพื่อเริ่มการทำงาน แล้วทำการกดปุ่ม “Save” เพื่อเริ่มนับสัญญาณ

พัลส์รังสีที่เข้ามา หน้าจอจะแสดงผลดังรูปที่ 12 เมื่อทำงานเสร็จแล้วก็กด “Save” อีกรั้งเพื่อบันทึกค่าข้อมูลที่ได้



รูปที่ 11 หน้าจอ ก่อนการทำงาน



รูปที่ 12 ขณะที่โปรแกรมกำลังทำงาน

11 เมื่อต้องการกลับสู่หน้าหลัก ก็กด “Reset” ดังรูปที่ 2 โปรแกรมก็จะกลับไปเริ่มต้นใหม่





ภาคนวก ภู
ชอร์สโค้ดของไมโครคอนโทรลเลอร์ dsPIC30F4011

```

//-----initial parameter-----
unsigned char sw_index = 0;
unsigned char a=0,zz=0;
unsigned char k,re,re1,j;
unsigned char low; //1bit
unsigned char high; // result_pu;
unsigned char result_pu;
unsigned char seg[6],p1,p2,p3,p4,p5,p6;
unsigned char old_p1,old_p2,old_p3,
old_p4,old_p5,old_p6;
unsigned int i1=0,i2=0,i3=0,i4=0;
unsigned int old_i1=0,old_i2=0,
old_i3=0,old_i4=0;
unsigned int h=0x86,g=0x89,r=0x87;
unsigned int w,x,y,z;
unsigned int sum=0,sold=0;
unsigned int keep;
unsigned int result[4], old_result[4], n;
unsigned int data[2],old_data[2];
unsigned int k1=0;
unsigned int t=0,readd = 0,oreadd=0;
unsigned int oi=0,ii=0;
unsigned int x22,x1,x11,x12;
unsigned int x12_old,x11_old,x4,x4_old,
x4,x6,x6_old,x33,x5;
unsigned int x22_1,x1_1,x11_1,x12_1,
x12_1_old,x11_1_old;
unsigned int x4_1,x4_1_old,x4_1,x6_1,
x6_1_old,x33_1,x5_1;
unsigned int x7_1,x9_1,x111_1,x112_1,
x112_1_old;
unsigned int x7,x9,x111,x112,x112_old
-----define parameter-----
#define SwMode PORTFbits.RF5
#define SwSave PORTBbits.RB4
#define SwSelect PORTCbits.RC13
#define SwStart PORTCbits.RC14
#define SwLeft PORTBbits.RB1
#define SwRight PORTFbits.RF4
#define SwUp PORTBbits.RB5
#define SwDown PORTBbits.RB2
#define CELL(x) (0x7FFC00+2*x)
#define true 1
#define false 0
-----_FOSC(CSW_FSCM_OFF & XT_PLL4);
_FWDT(WDT_OFF);
-----
```

```

int count =0;
____asm__ volatile("MOV W0,NVMCON");
____asm__ volatile("DISI #5");
____asm__ volatile("MOV #0X55,W0");
____asm__ volatile("MOV W0,NVMKEY");
____asm__ volatile("MOV #0XAA,W1");
____asm__ volatile("MOV W1,NVMKEY");
NVMCONbits.WR = 1;
while(NVMCONbits.WR);
NVMCONbits.WREN = 0;
}

//-----
void display_ADC_value(unsigned char
addr,unsigned int val)
{
    char i;
    lcd_command(2);
    lcd_command(addr);
    for(i=0;i<4;i++)
    {
        lcd_text(0x20);
    }
    inttolcd(addr,val);
}
//-----

void eeprom_write_word(unsigned long
address,unsigned int val)
{
/* parameter pass
address ==> W1,W0 */
____asm__ volatile("MOV W1 , TBLPAG");
____asm__ volatile("TBLWTL W2 ,[W0]");
____asm__ volatile("MOV #0X4104,W0");
____asm__ volatile("MOV W0 , NVMCON");
____asm__ volatile("DISI #5");
____asm__ volatile("MOV #0X55 ,W0");
____asm__ volatile("MOV W0 , NVMKEY");
____asm__ volatile("MOV #0xAA, W1");
____asm__ volatile("MOV W1,NVMKEY");
NVMCONbits.WR = 1;
}
//-----

void eeprom_erase_word(unsigned long
address_erase)
{
//address ==> W1,W0
//val ==> W2(Low Byte)
____asm__ volatile("MOV W1,NVMADRU");
____asm__ volatile("MOV W0,NVMADR");
____asm__ volatile("MOV #0x4044,W0");
}

```

```

while(NVMCONbits.WR);
NVMCONbits.WREN = 0;
}

//-----
unsigned int eeprom_read_word(unsigned
long address)
{
/*
address ==> W1,W0
(unsigned char) return ==>
W4(LowByte)
*/
__asm__ volatile("MOV W1 , TBLPAG");
__asm__ volatile("TBLRDL [W0] , W4");
return WREG4;
}

//-----
void adc_init(void)
{
unsigned int adcon_1, adcon_2, adcon_3,
Channel, PinConfig, Scansect ;
CloseADC10();
adcon_1 = ADC_MODULE_OFF &
ADC_IDLE_CONTINUE &
ADC_FORMAT_INTG &
ADC_CLK_AUTO &
ADC_SAMPLE_INDIVIDUAL &
ADC_AUTO_SAMPLING_ON &
ADC_SAMP_ON ;
adcon_2 = ADC_VREF_AVDD_AVSS &
ADC_SCAN_OFF &
ADC_CONVERT_CH_0A &
ADC_SAMPLES_PER_INT_4 &
ADC_ALT_INPUT_OFF ;
ADC_ALT_BUF_OFF ; //bit1 = 0
adcon_3 = ADC_SAMPLE_TIME_3 &
ADC_CONV_CLK_SYSTEM &
ADC_CONV_CLK_3Tcy2 ;
//ADCHS register
Channel =
ADC_CH0_POS_SAMPLEA_AN3 &
ADC_CH0_NEG_SAMPLEA_NVREF &
_AN0AN1AN2 ;
//ADPCFGregister
PinConfig=ENABLE_AN0_ANA&
ENABLE_AN3_ANA;
//ADCSSL register
Scansect = SCAN_NONE;
//-----
OpenADC10(adcon_1, adcon_2,
adcon_3,PinConfig, Scansect) ;
SetChanADC10(Channel);
ConfigIntADC10(ADC_INT_DISABLE);
}

//-----
void Scan_Sw(void)
{
if(SwMode == 0)
{
sw_index = 1;
}
else if(SwStart == 0)
{
}
}

```

```

{
    sw_index = 2;
}
else sw_index = 0;
}

//-----
void display_title(void)
{
    unsigned int xy,xy1,xy2,xy3,xy4
    ,xy5,xy6,xy7,xy8;
    while((SwMode==1)&&(SwStart ==1))
    {
    {
        lcd_clear();
        lcd_puts(LINE1,"LLD:    Volt");
        lcd_puts(LINE2,"DEL:    Volt");

        xy1=eprom_read_word(CELL(30));
        xy2=eprom_read_word(CELL(31));
        xy3=eprom_read_word(CELL(32));
        xy4=eprom_read_word(CELL(33));

        xy5=eprom_read_word(CELL(26));
        xy6=eprom_read_word(CELL(27));
        xy7=eprom_read_word(CELL(28));
        xy8=eprom_read_word(CELL(29));

        display_ADC_value(0x84,xy1);
        display_ADC_value(0x85,xy2);
        lcd_puts(0x86,".");
        display_ADC_value(0x87,xy3);
        display_ADC_value(0x88,xy4);

        display_ADC_value(0xC4,xy5);
        display_ADC_value(0xC5,xy6);
        lcd_puts(0xC6,".");
        display_ADC_value(0xC7,xy7);
        display_ADC_value(0xC8,xy8);
        lcd_delay(2000);
    }
    xy=eprom_read_word(CELL(4));
    lcd_clear();
    lcd_puts(0x80,"Time: sec");
    display_ADC_value(0x85,xy);
    lcd_delay(2000);
}
{
    lcd_clear();
    lcd_puts(LINE1,"Next Press START");
    lcd_puts(LINE2,"New Press MODE");
    lcd_delay(2000);
}
}

void
__attribute__((__interrupt__,auto_psv))
_IC1Interrupt(void)
{
    IFS0bits.IC1IF = 0;
    p1++;
    if(p1>9)
    {
}

```

```

    p1=0;                                readd = eeprom_read_word(CELL(4));
    p2++;                                 count++;
    }
    if(p2>9)                            if(count>=200);
    {
        p2=0;                           count = 0;
        p3++;                         k1++;
        }
        if(p3>9)                     if(k1>=200)
        {
            p3=0;                     {
            p4++;                     ii++;
            }
            if(p4>9)                 k1=0;
            {
                p4=0;                   if(ii == readd)
                p5++;                  {
                }
                if(p5>9)               ii = readd;
                {
                    p5=0;             seg[0]=p1;
                    p6++;             seg[1]=p2;
                    }
                    if(p6>9)             seg[2]=p3;
                    p6=0;               seg[3]=p4;
                    }
                    if(p6>9)             seg[4]=p5;
                    p6=0;               seg[5]=p6;
                    delay_ms(10);
                    p1=0;
                    p2=0;
                    }
                    if(p6>9)             p3=0;
                    p6=0;               p4=0;
                    }
                    p5=0;
                    p6=0;
                    }
                    //-----
                    void
                    __attribute__((__interrupt__,auto_psv))      }
                    _T1Interrupt(void)                         }
                    {
                    IFS0bits.T1IF = 0;                      //-----
                    WriteTimer1(0);                        Void Tim1_init()

```

```

}

T1_INT_ON);
INTCON1bits.NSTDIS = 0;
IFS0bits.T1IF = 0;
IEC0bits.T1IE = 0;
IPC0bits.T1IP = 0b011;
//-----config timer1-----
WriteTimer1(0);
T1CONbits.TON = 0; //Stop timer1
T1CONbits.TSIDL = 1; //When into
Idle Mode It stop
T1CONbits.TGATE = 0;
T1CONbits.TCKPS = 0b00;
//prescale 1:1
T1CONbits.TSYNC = 0; //close
synchronization
T1CONbits.TCS = 0;
PR1 = 20000;
}

//-----
void IC1_init()
{
INTCON1bits.NSTDIS = 0;
IFS0bits.IC1IF = 0;
IEC0bits.IC1IE = 0;
IPC0bits.IC1IP = 0b001;
IC1CONbits.ICSIDL = 1;
IC1CONbits.ICTMR = 0;
IC1CONbits.ICI = 0b00;
IC1CONbits.ICOV = 0;
IC1CONbits.ICBNE = 0;
IC1CONbits.ICM = 0b000;
T3CONbits.TON = 1;
}
//-----
void close_init()
{
IFS0bits.T1IF = 0;
IEC0bits.T1IE = 0;
IFS0bits.IC1IF = 0;
IEC0bits.IC1IE = 0;
// IFS0bits.IC2IF = 0;
// IEC0bits.IC2IE = 0;
}
//-----title IC-----
void dis_run()
{
lcd_clear();
lcd_puts(LINE1,"Time:");
lcd_puts(LINE2,"Count :");
display_ADC_value(0xC8, seg[5]);
display_ADC_value(0xC9, seg[4]);
display_ADC_value(0xCA, seg[3]);
display_ADC_value(0xCB, seg[2]);
display_ADC_value(0xCC, seg[1]);
display_ADC_value(0xCD, seg[0]);
}
void dis_resul()
{
lcd_clear();
lcd_puts(LINE1,"Time:");
lcd_puts(LINE2,"Result: ");
}

```

```

//lcd_puts(LINE2,"Press >>Save<<");
}

//-----
void save_fun()
{
    lcd_clear();
    lcd_puts(LINE1," Saving....");
    lcd_delay(1000);
    lcd_clear();
    lcd_puts(LINE1," Successed");
    lcd_delay(1000);
}

//-----
void Mode_init()
{
    lcd_clear();
    lcd_puts(LINE1," Wait....");
    lcd_delay(1000);
    do{
        lcd_clear();
        lcd_puts(LINE1,"Press select:");
        lcd_puts(LINE2,"1.LLD 2.DEL");
        lcd_delay(1000);
        lcd_clear();
        lcd_puts(LINE1,"3.Time 4.Start");
        lcd_delay(1000);
    }while((SwSelect==1)&&(SwSave==1));

    do
    {
        if(SwSelect == 0)
            lcd_clear();
            lcd_puts(LINE1,"Select: 1.LLD");
            lcd_puts(LINE2,"Press >>Save<<");
            delay_ms(100);
            k=1;
    }

    while((SwSelect==1)&&(SwSave==1));
    if(SwSelect == 0)
    {
        lcd_clear();
        lcd_puts(LINE1,"Select: 2.DEL");
        lcd_puts(LINE2,"Press >>Save<<");
        delay_ms(100);
        k=2;
    }

    while((SwSelect==1)&&(SwSave==1));
    if(SwSelect == 0)
    {
        lcd_clear();
        lcd_puts(LINE1,"Select: 3.Time");
        lcd_puts(LINE2,"Press >>Save<<");
        delay_ms(100);
        k=3;
    }

    while((SwSelect==1)&&(SwSave==1));
    if(SwSelect == 0)
    {
        lcd_clear();
        lcd_puts(LINE1,"Select: 4.Start Mode");
        lcd_puts(LINE2,"Press >>Save<<");
        delay_ms(100);
        k=4;
    }
}

```

```

}

while((SwSelect==1)&&(SwSave==1));
}

if(k==1)
{
    lcd_clear();
    lcd_puts(LINE1," Setting LLD");
    lcd_puts(LINE2," Processing..");
    j=0;
    lcd_delay(200);
}
if(k==2)
{
    lcd_clear();
    lcd_puts(LINE1," Setting DEL");
    lcd_puts(LINE2," Processing..");
    j=1;
    lcd_delay(200);
}
if(k==3)
{
    lcd_clear();
    lcd_puts(LINE1," Setting Time");
    lcd_puts(LINE2," Processing..");
    j=2;
    lcd_delay(200);
}
if(k==4)
{
    lcd_clear();
    lcd_puts(LINE1," Start Mode");
    lcd_puts(LINE2," Processing..");
}

j=3;
lcd_delay(200);

}

void Start_init()
{
    lcd_clear();
    lcd_puts(LINE1," Wait....");
    lcd_delay(1000);
    do{
        lcd_clear();
        lcd_puts(LINE1,"Press select:");
        lcd_puts(LINE2,"1.Start 2.Recall");
        lcd_delay(1000);
        lcd_clear();
        lcd_puts(LINE1,"3.Home");
        lcd_delay(1000);
    }while((SwSelect==1)&&(SwStart==1));
    do
    {
        if(SwSelect == 0)
        {
            lcd_clear();
            lcd_puts(LINE1,"Select: 1.Start");
            lcd_puts(LINE2,"Press >>Save<<");
            delay_ms(200);
            t=1;
        }
        while((SwSelect==1)&&(SwSave==1));
        if(SwSelect == 0)
        {
}
}
}

```

```

lcd_clear();                                {
lcd_puts(LINE1,"Select: 2.Recall");
lcd_puts(LINE2,"Press >>Save<<");
delay_ms(200);
t=2;
}
}

while((SwSelect==1)&&(SwSave==1));        }

if(SwSelect == 0)                          //-----
{
lcd_clear();
lcd_puts(LINE1,"Select: 3.Home");
lcd_puts(LINE2,"Press >>Save<<");
delay_ms(200);
t=3;
}

while((SwSelect==1)&&(SwSave==1));
}while(SwSave==1);
if(t==1)
{
lcd_clear();
lcd_puts(LINE1," Running....");
a=0;
lcd_delay(200);
}
if(t==2)
{
lcd_clear();
lcd_puts(LINE1," Processing...");          {
a=1;
lcd_delay(200);
}
if(t==3)
}

void fine_star()
{
unsigned int readd1;
readd1 = eeprom_read_word(CELL(4));
if((t==1)&&(a==0))
{
lcd_clear();
dis_run();
lcd_delay(1000);
}
while(ii != readd1)
{
IEC0bits.T1IE = 1;
T1CONbits.TON = 1;
IEC0bits.IC1IE = 1;
//IEC0bits.IC2IE = 1;
IC1CONbits.ICM =0b010;
// IC2CONbits.ICM =0b010;
if(ii != oi)
{
lcd_delay(10);
display_ADC_value(0x86,ii);
oi = ii;
}
}
}

```

```

if(p6 != old_p6)                                lcd_delay(10);

{
    lcd_delay(10);                               display_ADC_value(0xCD,p1);
    display_ADC_value(0xC8, p6);                  old_p1= p1;
    old_p6 = p6;                                 }

}

if(p5 != old_p5)                                while(SwSave==1){

{
    lcd_delay(10);                               ii=0;
    display_ADC_value(0xC9, p5);                 dis_resul();
    old_p5 = p5;                                display_ADC_value(0x86,readd1);
}                                                 display_ADC_value(0xC8, seg[5]);
                                                 display_ADC_value(0xC9, seg[4]);
                                                 display_ADC_value(0xCA, seg[3]);
                                                 display_ADC_value(0xCB, seg[2]);
                                                 display_ADC_value(0xCC, seg[1]);
                                                 display_ADC_value(0xCD, seg[0]);
                                                 eeprom_erase_word(CELL(20));
                                                 eeprom_write_word(CELL(20),seg[0]);
                                                 eeprom_erase_word(CELL(21));
                                                 eeprom_write_word(CELL(21),seg[1]);
                                                 eeprom_erase_word(CELL(22));
                                                 eeprom_write_word(CELL(22),seg[2]);
                                                 eeprom_erase_word(CELL(23));
                                                 eeprom_write_word(CELL(23),seg[3]);
                                                 eeprom_erase_word(CELL(24));
                                                 eeprom_write_word(CELL(24),seg[4]);
                                                 eeprom_erase_word(CELL(25));
                                                 eeprom_write_word(CELL(25),seg[5]);
}

if(p4 != old_p4)                                lcd_delay(1000);

{
    lcd_delay(10);                               lcd_clear();
    display_ADC_value(0xCA, p4);                 close_init();
    old_p4 = p4;                                }

}

if(p3 != old_p3)                                }

{
    lcd_delay(10);                               }
    display_ADC_value(0xCB, p3);                 }
    old_p3 = p3;                                }

}

if(p2 != old_p2)                                }

{
    lcd_delay(10);                               }
    display_ADC_value(0xCC, p2);                 }
    old_p2 = p2;                                }

}

if(p1 != old_p1)                                }

{

```

```

        lcd_clear();
        display_ADC_value(0x8D,readd11[0]);
        lcd_puts(LINE1," Saving....");
        lcd_delay(1000);
        lcd_clear();
        save_fun();
        lcd_puts(LINE1," Successed");
        lcd_delay(1000);
        }
        return(Start_init());
    }

void fine_star_1()
{
    unsigned long readd11[6];
    if((t==2)&&(a==1))
    {
        lcd_clear();
        lcd_puts(LINE1,"Result: ");
        lcd_puts(LINE2,"Press >>Save<<");
        lcd_delay(1000);
    }
    while(SwSave==1)
    {
        readd11[0]=eprom_read_word(CELL(20));
        readd11[1]=eprom_read_word(CELL(21));
        readd11[2]=eprom_read_word(CELL(22));
        readd11[3]=eprom_read_word(CELL(23));
        readd11[4]=eprom_read_word(CELL(24));
        readd11[5]=eprom_read_word(CELL(25));
        display_ADC_value(0x88,readd11[5]);
        display_ADC_value(0x89,readd11[4]);
        display_ADC_value(0x8A,readd11[3]);
        display_ADC_value(0x8B,readd11[2]);
        display_ADC_value(0x8C,readd11[1]);
    }
}

void fine_star_2()
{
    if((t==3)&&(a==2))
    {
        lcd_clear();
        lcd_puts(LINE1," <<Go to Home>>");
        lcd_delay(1000);
        lcd_clear();
        lcd_puts(LINE1," <<Go to Home>> ");
        lcd_delay(1000);
    }
    return(display_title());
}

//-----
void keep_data()
{
    for(n=0;n<4;n++)
    {
        ADCON1bits.SAMP =1;
        while(!ADCON1bits.SAMP);
        ADCON1bits.DONE =0;
        while(!ADCON1bits.DONE)
        ConvertADC10();
        while(BusyADC10());
        result[n] = ReadADC10(n);
    }
}

```

```

if(result[0] != old_result[0]) {
{
data[0] = result[0]*2; data[1] = result[3]*(2);
flo_1 = (data[0])*(0.0049071359); flo = (data[1])*(0.0049071359);
x1_1 = flo_1; x1 = flo;
x11_1 = x1_1%10; x11 = x1%10;
x12_1 = x1_1/10; x12 = x1/10;
x2_1 = x1_1; x2 = x1;
x3_1 = (flo_1 - x2_1); x3 = (flo - x2);
x33_1 = x3_1*10; x33 = x3*10;
x4_1 = x33_1; x4 = x33;
x5_1 = x3_1*100; x5 = x3*100;
x6_1 = x5_1%10 ; x6 = x5%10 ;
x7_1 = x3_1*1000; x7 = x3*1000;
x8_1 = x7_1/100; x8 = x7/100;
x9_1 = x8_1; x9 = x8;
x21_1 = x9_1; x21 = x9;
x10_1 = x8_1 - x21_1; x10 = x8 - x21;
x111_1 = x10_1 * 10; x111 = x10 * 10;
x112_1 = x111_1; x112 = x111;
EEPROM_erase_word(CELL(30));
EEPROM_write_word(CELL(30),x12);
EEPROM_erase_word(CELL(31));
EEPROM_write_word(CELL(31),x11);
EEPROM_erase_word(CELL(32));
EEPROM_write_word(CELL(32),x4);
EEPROM_erase_word(CELL(33));
EEPROM_write_word(CELL(33),x6);
old_result[3] = result[3];
}
}

old_result[0] = result[0];
}
delay_ms(100);
}
if(result[3] != old_result[3])
//-----

```

```

void fine()
{
    if((k==1)&&(j==0))
    {
        //re=0x84;
        display_ADC_value(0x88,x6);
        x6_old = x6;
    }
    lcd_clear();
    lcd_puts(0x80,"LLD:00.00");
    lcd_puts(0x8C,"V");
    lcd_puts(LINE2," Press >>Save<<");
    lcd_delay(1000);
    delay_ms(100);
}

while(SwSave==1)
{
    keep_data();
    // show_LLD();
    if(x12 != x12_old)
    {
        display_ADC_value(0x84,x12);
        x12_old = x12;
    }
    if(x11 != x11_old)
    {
        display_ADC_value(0x85,x11);
        x11_old = x11;
    }
    lcd_puts(0x86,".");
    if(x4 != x4_old)
    {
        display_ADC_value(0x87,x4);
        x4_old = x4;
    }
    if(x6 != x6_old)
    {
        display_ADC_value(0x88,x6);
        x6_old = x6;
    }
    if(x112 != x112_old)
    {
        display_ADC_value(0x88,x112);
        x112_old = x112;
    }
    delay_ms(100);
}

save_fun();
return(Mode_init());
}

//-----
void fine1()
{
    if((k==2)&&(j==1))
    {
        //re1=0x84;
        lcd_clear();
        lcd_puts(0x80,"DEL:00.00");
        lcd_puts(0x8C,"V");
        lcd_puts(LINE2," Press >>Save<<");
        lcd_delay(1000);
    }
    while(SwSave==1)
    {
        keep_data();
        if(x12_1 != x12_1_old)
        {
            display_ADC_value(0x84,x12_1);
        }
    }
}

```

```

x12_1_old = x12_1;           {
}
if(x11_1 != x11_1_old)      if( h > 0x89)
{
display_ADC_value(0x85,x11_1);    h = 0x86;
x11_1_old = x11_1;           }
}
lcd_puts(0x86,".");          delay_ms(80);
if(x4_1 != x4_1_old)         if (SwLeft == 0)
{
display_ADC_value(0x87,x4_1);   h--;
x4_1_old = x4_1;             if( h < 0x86)
}
if(x6_1 != x6_1_old)         h = 0x89;
{
display_ADC_value(0x88,x6_1);   }
x6_1_old = x6_1;             delay_ms(80);
}
if(x112_1 != x112_1_old)     void Up_Down()
{
display_ADC_value(0x89,x112_1); if(h==0x86)
x112_1_old = x112_1;        {
}
delay_ms(100);                do{
}
save_fun();                   lcd_command(0x86);
return(Mode_init());          lcd_command(0x0F);
}                                if(SwUp == 0)
//-----                         {
void Lef_Rigt()                 i1++;
{
if (SwRight == 0)              i1 = 0;
}

```

```

    delay_ms(80);
}

if(SwDown == 0)
{
    i1--;
    if(i1 == 255)
    {
        i1 = 9; //-----
    }
    delay_ms(80);
}
}

}while(h != 0x86);

//-----
if(h == 0x87)
{
    do{
        lcd_command(0x87);
        lcd_command(0x0F);
        if(SwUp == 0)
        {
            i2++;
            if(i2 > 9)
            {
                i2 = 0;
            }
            delay_ms(80);
        }
        if(SwDown == 0)
        {
            i3--;
            if(i3 == 255)
            {
                i3 = 9;
            }
            delay_ms(80);
        }
    }
    if(i2 == 255) //-----
}
}

}while(h!=0x88);

```

```

}

//-----
if(h == 0x89)
{
    do{
        lcd_command(0x89);
        lcd_command(0x0F);
        if(SwUp == 0)
        {
            i4++;
            if(i4 > 9)
            {
                i4 = 0;
            }
            delay_ms(80);
        }
        if(SwDown == 0)
        {
            i4--;
            if(i4 == 255)
            {
                i4 = 9;
            }
            delay_ms(80);
        }
    }while(h != 0x89);
}
void Cal_time()
{
    delay_ms(100);
    w = eeprom_read_word(CELL(0));
    x = eeprom_read_word(CELL(1));
    y = eeprom_read_word(CELL(2));
    z = eeprom_read_word(CELL(3));
    sum = ((1000*w)+(100*x)+(10*y)+(1*z));
    eeprom_erase_word(CELL(4));
    eeprom_write_word(CELL(4),sum);
}

void distime()
{
    lcd_puts(0x80,"time: sec");
    display_ADC_value(0x86,i1);
    display_ADC_value(0x87,i2);
    display_ADC_value(0x88,i3);
    display_ADC_value(0x89,i4);
}

void time_set()
{
    if(i1 != old_i1)
    {
        display_ADC_value(0x86,i1);
        old_i1 = i1;
        eeprom_erase_word(CELL(0));
        eeprom_write_word(CELL(0),i1);
    }
    if(i2 != old_i2)
    {
        display_ADC_value(0x87,i2);
        old_i2 = i2;
        eeprom_erase_word(CELL(1));
        eeprom_write_word(CELL(1),i2);
    }
    if(i3 != old_i3)

```

```

    {
        distime();
        display_ADC_value(0x88,i3);
        old_i3 = i3;
        eeprom_erase_word(CELL(2));
        eeprom_write_word(CELL(2),i3);
    }
    if(i4 != old_i4)
    {
        display_ADC_value(0x89,i4);
        old_i4 = i4;
        eeprom_erase_word(CELL(3));
        eeprom_write_word(CELL(3),i4);
    }
}

void Save_tim()
{
    lcd_clear();
    lcd_command(0x0C);
    lcd_delay(100);
    lcd_puts(LINE1," Saving..");
    lcd_delay(1000);
    Cal_time();
    keep = eeprom_read_word(CELL(4));
    lcd_puts(LINE1,"Time: sec");
    display_ADC_value(0x86,keep);
    lcd_delay(1000);
}

void fine2()
{
    if((k==3)&&(j==2))
    {
        lcd_clear();
        lcd_puts(LINE2," Press >>Save<<");
        while(SwSave == 1)
        {
            Lef_Rigt();
            Up_Down();
            time_set();
        }
        Save_tim();
        return(Mode_init());
    }
}

void fine3()
{
    if((k==4)&&(j==3))
    {
        lcd_clear();
        lcd_puts(LINE1," Running....");
        lcd_delay(1000);
        lcd_clear();
        lcd_puts(LINE1," Running....");
        lcd_delay(1000);
    }
}

void Out_init()
{
    ADPCFG = 0xFFFF;
    _TRISB1 = 1;
    _TRISB2 = 1;
    _TRISB4 = 1;
    _TRISB5 = 1;
}

```

```

    _TRISC13 = 1;           fine3();
    _TRISC14 = 1;           sw_index1 = 1;
    _TRISF4 = 1;           }
    _TRISF5 = 1;           }
}

//-----{ }

int main(void)
{
    unsigned int sw_index1;
    _TRISD2 = 0;
    _TRISD3 = 0;
    _LATD2 = 1;
    _LATD3 = 1;
    lcd_init();
    display_title();        Start_init();
    if(t== -1)fine_star(); if(t== -2)fine_star_10(); if(t== -3)fine_star_20();
    if(t== -4)delay_ms(10);
    return(0);
}

Out_init();
adc_init();
Tim1_init();
IC1_init();
ADCON1bits.ADON =1 ;
while(1)
{
    Scan_Sw();
    keep_data();
    if(sw_index == 1)
    {
        Mode_init();
        if(k== -1) fine();
        if(k== -2) fine1();
        if(k== -3) fine2();
        if(k== -4)
    }
}

```



ตารางที่ 1 ผลการทดลองของหัววัดรังสี
NaI(Tl) กับ เครื่องนับพัลส์รังสีที่พัฒนาขึ้น

Channel	LLD (Volt)	DEL (Volt)	Time (sec)	Count
1	0.02	0.02	60	404
2	0.04	0.02	60	450
3	0.06	0.02	60	476
4	0.08	0.02	60	942
5	0.1	0.02	60	1103
6	0.12	0.02	60	1687
7	0.14	0.02	60	1903
8	0.16	0.02	60	1871
9	0.18	0.02	60	1748
10	0.2	0.02	60	1262
11	0.22	0.02	60	1011
12	0.24	0.02	60	911
13	0.26	0.02	60	735
14	0.28	0.02	60	727
15	0.3	0.02	60	768
16	0.32	0.02	60	877
17	0.34	0.02	60	859
18	0.36	0.02	60	985
19	0.38	0.02	60	928
20	0.4	0.02	60	1099
21	0.42	0.02	60	1132
22	0.44	0.02	60	1195
23	0.46	0.02	60	1262
24	0.48	0.02	60	1301
25	0.5	0.02	60	1319
26	0.52	0.02	60	1310
27	0.54	0.02	60	1319
28	0.56	0.02	60	1369
29	0.58	0.02	60	1314
30	0.6	0.02	60	1316
31	0.62	0.02	60	1272
32	0.64	0.02	60	1282
33	0.66	0.02	60	1256
34	0.68	0.02	60	1248
35	0.7	0.02	60	1273

ตารางที่ 1 ผลการทดลองของหัววัดรังสี
NaI(Tl) กับ เครื่องนับพัลส์รังสีที่พัฒนาขึ้น
(ต่อ)

Channel	LLD (Volt)	DEL (Volt)	Time (sec)	Count
36	0.72	0.02	60	1246
37	0.74	0.02	60	1243
38	0.76	0.02	60	1254
39	0.78	0.02	60	1260
40	0.8	0.02	60	1200
41	0.82	0.02	60	1231
42	0.84	0.02	60	1199
43	0.86	0.02	60	1099
44	0.88	0.02	60	1105
45	0.9	0.02	60	1131
46	0.92	0.02	60	1141
47	0.94	0.02	60	1128
48	0.96	0.02	60	1058
49	0.98	0.02	60	1043
50	1	0.02	60	1067
51	1.02	0.02	60	1077
52	1.04	0.02	60	1064
53	1.06	0.02	60	1033
54	1.08	0.02	60	978
55	1.1	0.02	60	995
56	1.12	0.02	60	974
57	1.14	0.02	60	939
58	1.16	0.02	60	969
59	1.18	0.02	60	978
60	1.2	0.02	60	998
61	1.22	0.02	60	967
62	1.24	0.02	60	1035
63	1.26	0.02	60	1032
64	1.28	0.02	60	1053
65	1.3	0.02	60	1073
66	1.32	0.02	60	1001
67	1.34	0.02	60	1062
68	1.36	0.02	60	974
69	1.38	0.02	60	1009
70	1.4	0.02	60	1008

ตารางที่ 1 ผลการทดลองของหัววัดรังสี
NaI(Tl) กับ เครื่องนับพัลส์รังสีที่พัฒนาขึ้น
(ต่อ)

Channel	LLD (Volt)	DEL (Volt)	Time (sec)	Count
71	1.42	0.02	60	897
72	1.44	0.02	60	926
73	1.46	0.02	60	903
74	1.48	0.02	60	847
75	1.5	0.02	60	835
76	1.52	0.02	60	802
77	1.54	0.02	60	776
78	1.56	0.02	60	790
79	1.58	0.02	60	802
80	1.6	0.02	60	799
81	1.62	0.02	60	801
82	1.64	0.02	60	811
83	1.66	0.02	60	717
84	1.68	0.02	60	664
85	1.7	0.02	60	734
86	1.72	0.02	60	644
87	1.74	0.02	60	650
88	1.76	0.02	60	587
89	1.78	0.02	60	599
90	1.8	0.02	60	661
91	1.82	0.02	60	541
92	1.84	0.02	60	536
93	1.86	0.02	60	541
94	1.88	0.02	60	602
95	1.9	0.02	60	613
96	1.92	0.02	60	526
97	1.94	0.02	60	522
98	1.96	0.02	60	508
99	1.98	0.02	60	537
100	2	0.02	60	553
101	2.02	0.02	60	511
102	2.04	0.02	60	520
103	2.06	0.02	60	501
104	2.08	0.02	60	498
105	2.1	0.02	60	559

ตารางที่ 1 ผลการทดลองของหัววัดรังสี
NaI(Tl) กับ เครื่องนับพัลส์รังสีที่พัฒนาขึ้น
(ต่อ)

Channel	LLD (Volt)	DEL (Volt)	Time (sec)	Count
106	2.12	0.02	60	475
107	2.14	0.02	60	498
108	2.16	0.02	60	467
109	2.18	0.02	60	490
110	2.2	0.02	60	505
111	2.22	0.02	60	510
112	2.24	0.02	60	442
113	2.26	0.02	60	427
114	2.28	0.02	60	455
115	2.3	0.02	60	522
116	2.32	0.02	60	466
117	2.34	0.02	60	438
118	2.36	0.02	60	411
119	2.38	0.02	60	466
120	2.4	0.02	60	504
121	2.42	0.02	60	443
122	2.44	0.02	60	449
123	2.46	0.02	60	445
124	2.48	0.02	60	398
125	2.5	0.02	60	470
126	2.52	0.02	60	418
127	2.54	0.02	60	429
128	2.56	0.02	60	439
129	2.58	0.02	60	445
130	2.6	0.02	60	490
131	2.62	0.02	60	479
132	2.64	0.02	60	443
133	2.66	0.02	60	419
134	2.68	0.02	60	440
135	2.7	0.02	60	418
136	2.72	0.02	60	402
137	2.74	0.02	60	411
138	2.76	0.02	60	409
139	2.78	0.02	60	419
140	2.8	0.02	60	448

ตารางที่ 1 ผลการทดลองของหัววัดรังสี
NaI(T1) กับ เครื่องนับพัลส์รังสีที่พัฒนาขึ้น
(ต่อ)

Channel	LLD (Volt)	DEL (Volt)	Time (sec)	Count
141	2.82	0.02	60	401
142	2.84	0.02	60	406
143	2.86	0.02	60	422
144	2.88	0.02	60	422
145	2.9	0.02	60	430
146	2.92	0.02	60	473
147	2.94	0.02	60	418
148	2.96	0.02	60	430
149	2.98	0.02	60	413
150	3	0.02	60	466
151	3.02	0.02	60	432
152	3.04	0.02	60	443
153	3.06	0.02	60	417
154	3.08	0.02	60	402
155	3.1	0.02	60	408
156	3.12	0.02	60	419
157	3.14	0.02	60	396
158	3.16	0.02	60	395
159	3.18	0.02	60	391
160	3.2	0.02	60	332
161	3.22	0.02	60	363
162	3.24	0.02	60	343
163	3.26	0.02	60	328
164	3.28	0.02	60	280
165	3.3	0.02	60	225
166	3.32	0.02	60	265
167	3.34	0.02	60	281
168	3.36	0.02	60	234
169	3.38	0.02	60	239
170	3.4	0.02	60	184
171	3.42	0.02	60	164
172	3.44	0.02	60	216
173	3.46	0.02	60	183
174	3.48	0.02	60	193
175	3.5	0.02	60	170

ตารางที่ 1 ผลการทดลองของหัววัดรังสี
NaI(T1) กับ เครื่องนับพัลส์รังสีที่พัฒนาขึ้น
(ต่อ)

Channel	LLD (Volt)	DEL (Volt)	Time (sec)	Count
176	3.52	0.02	60	178
177	3.54	0.02	60	169
178	3.56	0.02	60	154
179	3.58	0.02	60	171
180	3.6	0.02	60	143
181	3.62	0.02	60	137
182	3.64	0.02	60	135
183	3.66	0.02	60	114
184	3.68	0.02	60	129
185	3.7	0.02	60	112
186	3.72	0.02	60	116
187	3.74	0.02	60	113
188	3.76	0.02	60	104
189	3.78	0.02	60	108
190	3.8	0.02	60	116
191	3.82	0.02	60	117
192	3.84	0.02	60	104
193	3.86	0.02	60	102
194	3.88	0.02	60	117
195	3.9	0.02	60	101
196	3.92	0.02	60	113
197	3.94	0.02	60	118
198	3.96	0.02	60	126
199	3.98	0.02	60	141
200	4	0.02	60	130
201	4.02	0.02	60	152
202	4.04	0.02	60	154
203	4.06	0.02	60	237
204	4.08	0.02	60	812
205	4.1	0.02	60	4019
206	4.12	0.02	60	6602
207	4.14	0.02	60	7742
208	4.16	0.02	60	8843
209	4.18	0.02	60	8925
210	4.2	0.02	60	9295

**ตารางที่ 1 ผลการทดลองของหัววัดรังสี
NaI(T1) กับ เครื่องนับพัลส์รังสีที่พัฒนาขึ้น**

(ต่อ)

Channel	LLD (Volt)	DEL (Volt)	Time (sec)	Count
211	4.22	0.02	60	10256
212	4.24	0.02	60	9275
213	4.26	0.02	60	8426
214	4.28	0.02	60	7617
215	4.3	0.02	60	6983
216	4.32	0.02	60	4393
217	4.34	0.02	60	1406
218	4.36	0.02	60	563
219	4.38	0.02	60	259
220	4.4	0.02	60	96
221	4.42	0.02	60	92
222	4.44	0.02	60	82
223	4.46	0.02	60	65
224	4.48	0.02	60	0
225	4.5	0.02	60	0
226	4.52	0.02	60	0
227	4.54	0.02	60	0
228	4.56	0.02	60	0

**ตารางที่ 2 ผลการทดลองหัววัดรังสีชนิด
CsI(T1) กับ เครื่องนับพัลส์รังสีที่พัฒนาขึ้น**

Channel	LLD (Volt)	DEL (Volt)	Time (sec)	Count
1	0.02	0.02	60	10573
2	0.04	0.02	60	7956
3	0.06	0.02	60	6575
4	0.08	0.02	60	6197
5	0.1	0.02	60	5808
6	0.12	0.02	60	5145
7	0.14	0.02	60	4375
8	0.16	0.02	60	3573
9	0.18	0.02	60	2736
10	0.2	0.02	60	1825
11	0.22	0.02	60	1686
12	0.24	0.02	60	1615
13	0.26	0.02	60	1472
14	0.28	0.02	60	1511
15	0.3	0.02	60	1442
16	0.32	0.02	60	1458
17	0.34	0.02	60	1407
18	0.36	0.02	60	1487
19	0.38	0.02	60	1429
20	0.4	0.02	60	1393
21	0.42	0.02	60	1398
22	0.44	0.02	60	1384
23	0.46	0.02	60	1299
24	0.48	0.02	60	1322
25	0.5	0.02	60	1313
26	0.52	0.02	60	1388
27	0.54	0.02	60	1310
28	0.56	0.02	60	1278
29	0.58	0.02	60	1301
30	0.6	0.02	60	1354
31	0.62	0.02	60	1236
32	0.64	0.02	60	1344
33	0.66	0.02	60	1194
34	0.68	0.02	60	1217
35	0.7	0.02	60	1220

ตารางที่ 2 ผลการทดลองหัววัดรังสี CsI(T1)
กับ เครื่องนับพัลส์รังสีที่พัฒนาขึ้น (ต่อ)

Channel	LLD (Volt)	DEL (Volt)	Time (sec)	Count
36	0.72	0.02	60	1226
37	0.74	0.02	60	1222
38	0.76	0.02	60	1191
39	0.78	0.02	60	1124
40	0.8	0.02	60	1173
41	0.82	0.02	60	1154
42	0.84	0.02	60	1180
43	0.86	0.02	60	1095
44	0.88	0.02	60	1200
45	0.9	0.02	60	1177
46	0.92	0.02	60	1043
47	0.94	0.02	60	1231
48	0.96	0.02	60	1195
49	0.98	0.02	60	1147
50	1	0.02	60	1201
51	1.02	0.02	60	1269
52	1.04	0.02	60	1244
53	1.06	0.02	60	1279
54	1.08	0.02	60	1275
55	1.1	0.02	60	1270
56	1.12	0.02	60	1267
57	1.14	0.02	60	1243
58	1.16	0.02	60	1215
59	1.18	0.02	60	1735
60	1.2	0.02	60	1223
61	1.22	0.02	60	1195
62	1.24	0.02	60	1189
63	1.26	0.02	60	1161
64	1.28	0.02	60	1126
65	1.3	0.02	60	1043
66	1.32	0.02	60	1154
67	1.34	0.02	60	1065
68	1.36	0.02	60	1131
69	1.38	0.02	60	980
70	1.4	0.02	60	973
71	1.42	0.02	60	959

ตารางที่ 2 ผลการทดลองหัววัดรังสี CsI(T1)
กับ เครื่องนับพัลส์รังสีที่พัฒนาขึ้น (ต่อ)

Channel	LLD (Volt)	DEL (Volt)	Time (sec)	Count
72	1.44	0.02	60	968
73	1.46	0.02	60	982
74	1.48	0.02	60	999
75	1.5	0.02	60	836
76	1.52	0.02	60	875
77	1.54	0.02	60	843
78	1.56	0.02	60	822
79	1.58	0.02	60	816
80	1.6	0.02	60	875
81	1.62	0.02	60	892
82	1.64	0.02	60	874
83	1.66	0.02	60	844
84	1.68	0.02	60	838
85	1.7	0.02	60	853
86	1.72	0.02	60	819
87	1.74	0.02	60	805
88	1.76	0.02	60	798
89	1.78	0.02	60	790
90	1.8	0.02	60	771
91	1.82	0.02	60	780
92	1.84	0.02	60	769
93	1.86	0.02	60	746
94	1.88	0.02	60	739
95	1.9	0.02	60	763
96	1.92	0.02	60	746
97	1.94	0.02	60	740
98	1.96	0.02	60	739
99	1.98	0.02	60	736
100	2	0.02	60	802
101	2.02	0.02	60	835
102	2.04	0.02	60	793
103	2.06	0.02	60	775
104	2.08	0.02	60	762
105	2.1	0.02	60	714
106	2.12	0.02	60	696

ตารางที่ 2 ผลการทดลองหัววัดรังสี CsI(T1)
กับ เครื่องนับพัลส์รังสีที่พัฒนาขึ้น (ต่อ)

Channel	LLD (Volt)	DEL (Volt)	Time (sec)	Count
107	2.14	0.02	60	718
108	2.16	0.02	60	724
109	2.18	0.02	60	730
110	2.2	0.02	60	858
111	2.22	0.02	60	717
112	2.24	0.02	60	703
113	2.26	0.02	60	690
114	2.28	0.02	60	683
115	2.3	0.02	60	755
116	2.32	0.02	60	712
117	2.34	0.02	60	771
118	2.36	0.02	60	675
119	2.38	0.02	60	660
120	2.4	0.02	60	664
121	2.42	0.02	60	672
122	2.44	0.02	60	659
123	2.46	0.02	60	576
124	2.48	0.02	60	551
125	2.5	0.02	60	543
126	2.52	0.02	60	523
127	2.54	0.02	60	510
128	2.56	0.02	60	491
129	2.58	0.02	60	456
130	2.6	0.02	60	479
131	2.62	0.02	60	488
132	2.64	0.02	60	449
133	2.66	0.02	60	385
134	2.68	0.02	60	378
135	2.7	0.02	60	352
136	2.72	0.02	60	343
137	2.74	0.02	60	311
138	2.76	0.02	60	405
139	2.78	0.02	60	300
140	2.8	0.02	60	272
141	2.82	0.02	60	255
142	2.84	0.02	60	278

ตารางที่ 2 ผลการทดลองหัววัดรังสี CsI(T1)
กับ เครื่องนับพัลส์รังสีที่พัฒนาขึ้น (ต่อ)

Channel	LLD (Volt)	DEL (Volt)	Time (sec)	Count
143	2.86	0.02	60	241
144	2.88	0.02	60	253
145	2.9	0.02	60	249
146	2.92	0.02	60	240
147	2.94	0.02	60	257
148	2.96	0.02	60	215
149	2.98	0.02	60	288
150	3	0.02	60	205
151	3.02	0.02	60	231
152	3.04	0.02	60	294
153	3.06	0.02	60	257
154	3.08	0.02	60	210
155	3.1	0.02	60	226
156	3.12	0.02	60	235
157	3.14	0.02	60	257
158	3.16	0.02	60	268
159	3.18	0.02	60	272
160	3.2	0.02	60	354
161	3.22	0.02	60	430
162	3.24	0.02	60	537
163	3.26	0.02	60	587
164	3.28	0.02	60	674
165	3.3	0.02	60	771
166	3.32	0.02	60	759
167	3.34	0.02	60	785
168	3.36	0.02	60	877
169	3.38	0.02	60	974
170	3.4	0.02	60	998
171	3.42	0.02	60	1147
172	3.44	0.02	60	1252
173	3.46	0.02	60	1325
174	3.48	0.02	60	1913
175	3.5	0.02	60	2076
176	3.52	0.02	60	2021
177	3.54	0.02	60	2354

ตารางที่ 2 ผลการทดลองหัววัดรังสี CsI(T1)
กับ เครื่องนับพัลส์รังสีที่พัฒนาขึ้น (ต่อ)

Channel	LLD (Volt)	DEL (Volt)	Time (sec)	Count
178	3.56	0.02	60	2408
179	3.58	0.02	60	2425
180	3.6	0.02	60	2541
181	3.62	0.02	60	2566
182	3.64	0.02	60	2586
183	3.66	0.02	60	2723
184	3.68	0.02	60	2626
185	3.7	0.02	60	2605
186	3.72	0.02	60	2564
187	3.74	0.02	60	2472
188	3.76	0.02	60	2331
189	3.78	0.02	60	2304
190	3.8	0.02	60	2257
191	3.82	0.02	60	1335
192	3.84	0.02	60	1320
193	3.86	0.02	60	1224
194	3.88	0.02	60	1267
195	3.9	0.02	60	1189
196	3.92	0.02	60	1142
197	3.94	0.02	60	1276
198	3.96	0.02	60	1295
199	3.98	0.02	60	1235
200	4	0.02	60	1227
201	4.02	0.02	60	1221
202	4.04	0.02	60	1247
203	4.06	0.02	60	1253
204	4.08	0.02	60	1267
205	4.1	0.02	60	1201
206	4.12	0.02	60	1196
207	4.14	0.02	60	1104
208	4.16	0.02	60	1082
209	4.18	0.02	60	975
210	4.2	0.02	60	958
211	4.22	0.02	60	861
212	4.24	0.02	60	734
213	4.26	0.02	60	675

ตารางที่ 2 ผลการทดลองหัววัดรังสี CsI(T1)
กับ เครื่องนับพัลส์รังสีที่พัฒนาขึ้น (ต่อ)

Channel	LLD (Volt)	DEL (Volt)	Time (sec)	Count
214	4.28	0.02	60	570
215	4.3	0.02	60	364
216	4.32	0.02	60	233
217	4.34	0.02	60	146
218	4.36	0.02	60	60
219	4.38	0.02	60	46
220	4.4	0.02	60	1
221	4.42	0.02	60	0
222	4.44	0.02	60	0
223	4.46	0.02	60	0
224	4.48	0.02	60	0
225	4.5	0.02	60	0
226	4.52	0.02	60	0
227	4.54	0.02	60	0
228	4.56	0.02	60	0
229	4.58	0.02	60	0
230	4.6	0.02	60	0

**ตารางที่ 3 ผลการทดสอบหัววัดรังสี NaI (T1)
กับ เครื่องนับพัลส์รังสีเชิงพาณิชย์**

Channel	LLD (Volt)	DEL (Volt)	Time (sec)	Count
1	0.02	0.02	60	43035
2	0.04	0.02	60	44349
3	0.06	0.02	60	44620
4	0.08	0.02	60	44381
5	0.1	0.02	60	44487
6	0.12	0.02	60	43978
7	0.14	0.02	60	40720
8	0.16	0.02	60	37484
9	0.18	0.02	60	35618
10	0.2	0.02	60	34087
11	0.22	0.02	60	32166
12	0.24	0.02	60	30397
13	0.26	0.02	60	27961
14	0.28	0.02	60	26002
15	0.3	0.02	60	24020
16	0.32	0.02	60	22072
17	0.34	0.02	60	20863
18	0.36	0.02	60	19320
19	0.38	0.02	60	18914
20	0.4	0.02	60	17265
21	0.42	0.02	60	16694
22	0.44	0.02	60	16151
23	0.46	0.02	60	15975
24	0.48	0.02	60	15768
25	0.5	0.02	60	14285
26	0.52	0.02	60	11103
27	0.54	0.02	60	3838
28	0.56	0.02	60	2258
29	0.58	0.02	60	2095
30	0.6	0.02	60	1810
31	0.62	0.02	60	1682
32	0.64	0.02	60	1527
33	0.66	0.02	60	1413
34	0.68	0.02	60	1360
35	0.7	0.02	60	1239
36	0.72	0.02	60	1128

**ตารางที่ 3 ผลการทดสอบหัววัดรังสี NaI (T1)
กับ เครื่องนับพัลส์รังสีเชิงพาณิชย์ (ต่อ)**

Channel	LLD (Volt)	DEL (Volt)	Time (sec)	Count
37	0.74	0.02	60	1076
38	0.76	0.02	60	1014
39	0.78	0.02	60	1005
40	0.8	0.02	60	930
41	0.82	0.02	60	865
42	0.84	0.02	60	871
43	0.86	0.02	60	788
44	0.88	0.02	60	742
45	0.9	0.02	60	718
46	0.92	0.02	60	656
47	0.94	0.02	60	578
48	0.96	0.02	60	507
49	0.98	0.02	60	509
50	1	0.02	60	439
51	1.02	0.02	60	477
52	1.04	0.02	60	439
53	1.06	0.02	60	400
54	1.08	0.02	60	372
55	1.1	0.02	60	359
56	1.12	0.02	60	377
57	1.14	0.02	60	352
58	1.16	0.02	60	338
59	1.18	0.02	60	346
60	1.2	0.02	60	325
61	1.22	0.02	60	322
62	1.24	0.02	60	302
63	1.26	0.02	60	344
64	1.28	0.02	60	340
65	1.3	0.02	60	325
66	1.32	0.02	60	364
67	1.34	0.02	60	346
68	1.36	0.02	60	345
69	1.38	0.02	60	324
70	1.4	0.02	60	349
71	1.42	0.02	60	328

ตารางที่ 3 ผลการทดลองหัววัดรังสี NaI (T1)
กับ เครื่องนับพัลส์รังสีเชิงพาณิชย์ (ต่อ)

Channel	LLD (Volt)	DEL (Volt)	Time (sec)	Count
72	1.44	0.02	60	331
73	1.46	0.02	60	301
74	1.48	0.02	60	280
75	1.5	0.02	60	282
76	1.52	0.02	60	265
77	1.54	0.02	60	252
78	1.56	0.02	60	243
79	1.58	0.02	60	256
80	1.6	0.02	60	265
81	1.62	0.02	60	254
82	1.64	0.02	60	236
83	1.66	0.02	60	253
84	1.68	0.02	60	252
85	1.7	0.02	60	223
86	1.72	0.02	60	195
87	1.74	0.02	60	219
88	1.76	0.02	60	191
89	1.78	0.02	60	188
90	1.8	0.02	60	197
91	1.82	0.02	60	172
92	1.84	0.02	60	175
93	1.86	0.02	60	211
94	1.88	0.02	60	162
95	1.9	0.02	60	192
96	1.92	0.02	60	170
97	1.94	0.02	60	172
98	1.96	0.02	60	169
99	1.98	0.02	60	181
100	2	0.02	60	177
101	2.02	0.02	60	163
102	2.04	0.02	60	130
103	2.06	0.02	60	139
104	2.08	0.02	60	121
105	2.1	0.02	60	145
106	2.12	0.02	60	140
107	2.14	0.02	60	123

ตารางที่ 3 ผลการทดลองหัววัดรังสี NaI (T1)
กับ เครื่องนับพัลส์รังสีเชิงพาณิชย์ (ต่อ)

Channel	LLD (Volt)	DEL (Volt)	Time (sec)	Count
108	2.16	0.02	60	115
109	2.18	0.02	60	102
110	2.2	0.02	60	158
111	2.22	0.02	60	136
112	2.24	0.02	60	104
113	2.26	0.02	60	127
114	2.28	0.02	60	114
115	2.3	0.02	60	124
116	2.32	0.02	60	109
117	2.34	0.02	60	117
118	2.36	0.02	60	124
119	2.38	0.02	60	115
120	2.4	0.02	60	148
121	2.42	0.02	60	141
122	2.44	0.02	60	147
123	2.46	0.02	60	139
124	2.48	0.02	60	140
125	2.5	0.02	60	136
126	2.52	0.02	60	131
127	2.54	0.02	60	128
128	2.56	0.02	60	125
129	2.58	0.02	60	113
130	2.6	0.02	60	118
131	2.62	0.02	60	120
132	2.64	0.02	60	136
133	2.66	0.02	60	127
134	2.68	0.02	60	122
135	2.7	0.02	60	126
136	2.72	0.02	60	119
137	2.74	0.02	60	105
138	2.76	0.02	60	117
139	2.78	0.02	60	105
140	2.8	0.02	60	110
141	2.82	0.02	60	93
142	2.84	0.02	60	88

**ตารางที่ 3 ผลการทดสอบหัววัดรังสี NaI (T1)
กับ เครื่องนับพัลส์รังสีเชิงพาณิชย์ (ต่อ)**

Channel	LLD (Volt)	DEL (Volt)	Time (sec)	Count
143	2.86	0.02	60	84
144	2.88	0.02	60	79
145	2.9	0.02	60	64
146	2.92	0.02	60	77
147	2.94	0.02	60	79
148	2.96	0.02	60	82
149	2.98	0.02	60	62
150	3	0.02	60	104
151	3.02	0.02	60	102
152	3.04	0.02	60	91
153	3.06	0.02	60	97
154	3.08	0.02	60	89
155	3.1	0.02	60	88
156	3.12	0.02	60	73
157	3.14	0.02	60	65
158	3.16	0.02	60	51
159	3.18	0.02	60	47
160	3.2	0.02	60	49
161	3.22	0.02	60	42
162	3.24	0.02	60	38
163	3.26	0.02	60	35
164	3.28	0.02	60	39
165	3.3	0.02	60	32
166	3.32	0.02	60	40
167	3.34	0.02	60	35
168	3.36	0.02	60	36
169	3.38	0.02	60	31
170	3.4	0.02	60	32
171	3.42	0.02	60	21
172	3.44	0.02	60	24
173	3.46	0.02	60	27
174	3.48	0.02	60	22
175	3.5	0.02	60	23
176	3.52	0.02	60	16
177	3.54	0.02	60	12
178	3.56	0.02	60	10

**ตารางที่ 3 ผลการทดสอบหัววัดรังสี NaI (T1)
กับ เครื่องนับพัลส์รังสีเชิงพาณิชย์ (ต่อ)**

Channel	LLD (Volt)	DEL (Volt)	Time (sec)	Count
179	3.58	0.02	60	11
180	3.6	0.02	60	8
181	3.62	0.02	60	13
182	3.64	0.02	60	6
183	3.66	0.02	60	8
184	3.68	0.02	60	13
185	3.7	0.02	60	7
186	3.72	0.02	60	9
187	3.74	0.02	60	17
188	3.76	0.02	60	5
189	3.78	0.02	60	9
190	3.8	0.02	60	8
191	3.82	0.02	60	2
192	3.84	0.02	60	6
193	3.86	0.02	60	4
194	3.88	0.02	60	7
195	3.9	0.02	60	3
196	3.92	0.02	60	11
197	3.94	0.02	60	10
198	3.96	0.02	60	16
199	3.98	0.02	60	19
200	4	0.02	60	14
201	4.02	0.02	60	20
202	4.04	0.02	60	21
203	4.06	0.02	60	30
204	4.08	0.02	60	28
205	4.1	0.02	60	21
206	4.12	0.02	60	33
207	4.14	0.02	60	46
208	4.16	0.02	60	43
209	4.18	0.02	60	38
210	4.2	0.02	60	53
211	4.22	0.02	60	61
212	4.24	0.02	60	63
213	4.26	0.02	60	61

**ตารางที่ 3 ผลการทดลองหัววัดรังสี NaI (T1)
กับ เครื่องนับพัลส์รังสีเชิงพาณิชย์ (ต่อ)**

Channel	LLD (Volt)	DEL (Volt)	Time (sec)	Count
214	4.28	0.02	60	81
215	4.3	0.02	60	80
216	4.32	0.02	60	81
217	4.34	0.02	60	98
218	4.36	0.02	60	99
219	4.38	0.02	60	96
220	4.4	0.02	60	79
221	4.42	0.02	60	87
222	4.44	0.02	60	70
223	4.46	0.02	60	86
224	4.48	0.02	60	80
225	4.5	0.02	60	56
226	4.52	0.02	60	34
227	4.54	0.02	60	31
228	4.56	0.02	60	29
229	4.58	0.02	60	24
230	4.6	0.02	60	27
231	4.62	0.02	60	18
232	4.64	0.02	60	13
233	4.66	0.02	60	8
234	4.68	0.02	60	7
235	4.7	0.02	60	4
236	4.72	0.02	60	0
237	4.74	0.02	60	0
238	4.76	0.02	60	2
239	4.78	0.02	60	0
240	4.8	0.02	60	0
241	4.82	0.02	60	0
242	4.84	0.02	60	0
243	4.86	0.02	60	0
244	4.88	0.02	60	0
245	4.9	0.02	60	2
246	4.92	0.02	60	0
247	4.94	0.02	60	0
248	4.96	0.02	60	0
249	4.98	0.02	60	0

**ตารางที่ 4 ผลการทดลองหัววัดรังสี CsI (T1)
กับ เครื่องนับพัลส์รังสีเชิงพาณิชย์**

Channel	LLD (Volt)	DEL (Volt)	Time (sec)	Count
1	0.02	0.02	60	342354
2	0.04	0.02	60	54871
3	0.06	0.02	60	46431
4	0.08	0.02	60	42966
5	0.1	0.02	60	41735
6	0.12	0.02	60	40479
7	0.14	0.02	60	39173
8	0.16	0.02	60	37945
9	0.18	0.02	60	37324
10	0.2	0.02	60	36118
11	0.22	0.02	60	33592
12	0.24	0.02	60	31716
13	0.26	0.02	60	30473
14	0.28	0.02	60	28820
15	0.3	0.02	60	27591
16	0.32	0.02	60	26498
17	0.34	0.02	60	25673
18	0.36	0.02	60	22521
19	0.38	0.02	60	21750
20	0.4	0.02	60	20898
21	0.42	0.02	60	19935
22	0.44	0.02	60	18707
23	0.46	0.02	60	17382
24	0.48	0.02	60	16931
25	0.5	0.02	60	16350
26	0.52	0.02	60	15983
27	0.54	0.02	60	15225
28	0.56	0.02	60	14893
29	0.58	0.02	60	14018
30	0.6	0.02	60	13100
31	0.62	0.02	60	11562
32	0.64	0.02	60	10733
33	0.66	0.02	60	9486
34	0.68	0.02	60	8244
35	0.7	0.02	60	6205

**ตารางที่ 4 ผลการทดลองหัววัดรังสี CsI (T1)
กับ เครื่องนับพัลส์รังสีเชิงพาณิชย์ (ต่อ)**

Channel	LLD (Volt)	DEL (Volt)	Time (sec)	Count
36	0.72	0.02	60	5748
37	0.74	0.02	60	4001
38	0.76	0.02	60	3390
39	0.78	0.02	60	2515
40	0.8	0.02	60	1809
41	0.82	0.02	60	1682
42	0.84	0.02	60	1224
43	0.86	0.02	60	1162
44	0.88	0.02	60	1030
45	0.9	0.02	60	872
46	0.92	0.02	60	793
47	0.94	0.02	60	757
48	0.96	0.02	60	680
49	0.98	0.02	60	649
50	1	0.02	60	624
51	1.02	0.02	60	577
52	1.04	0.02	60	532
53	1.06	0.02	60	510
54	1.08	0.02	60	495
55	1.1	0.02	60	470
56	1.12	0.02	60	454
57	1.14	0.02	60	430
58	1.16	0.02	60	352
59	1.18	0.02	60	374
60	1.2	0.02	60	339
61	1.22	0.02	60	360
62	1.24	0.02	60	326
63	1.26	0.02	60	311
64	1.28	0.02	60	296
65	1.3	0.02	60	280
66	1.32	0.02	60	245
67	1.34	0.02	60	238
68	1.36	0.02	60	263
69	1.38	0.02	60	280
70	1.4	0.02	60	235
71	1.42	0.02	60	293

**ตารางที่ 4 ผลการทดลองหัววัดรังสี CsI (T1)
กับ เครื่องนับพัลส์รังสีเชิงพาณิชย์ (ต่อ)**

Channel	LLD (Volt)	DEL (Volt)	Time (sec)	Count
72	1.44	0.02	60	214
73	1.46	0.02	60	205
74	1.48	0.02	60	191
75	1.5	0.02	60	193
76	1.52	0.02	60	182
77	1.54	0.02	60	176
78	1.56	0.02	60	173
79	1.58	0.02	60	185
80	1.6	0.02	60	182
81	1.62	0.02	60	169
82	1.64	0.02	60	182
83	1.66	0.02	60	180
84	1.68	0.02	60	181
85	1.7	0.02	60	177
86	1.72	0.02	60	168
87	1.74	0.02	60	162
88	1.76	0.02	60	164
89	1.78	0.02	60	151
90	1.8	0.02	60	171
91	1.82	0.02	60	155
92	1.84	0.02	60	149
93	1.86	0.02	60	147
94	1.88	0.02	60	144
95	1.9	0.02	60	133
96	1.92	0.02	60	151
97	1.94	0.02	60	144
98	1.96	0.02	60	137
99	1.98	0.02	60	140
100	2	0.02	60	129
101	2.02	0.02	60	133
102	2.04	0.02	60	138
103	2.06	0.02	60	143
104	2.08	0.02	60	146
105	2.1	0.02	60	144
106	2.12	0.02	60	132

**ตารางที่ 4 ผลการทดสอบหัววัดรังสี CsI (T1)
กับ เครื่องนับพัลส์รังสีเชิงพาณิชย์ (ต่อ)**

Channel	LLD (Volt)	DEL (Volt)	Time (sec)	Count
107	2.14	0.02	60	134
108	2.16	0.02	60	126
109	2.18	0.02	60	120
110	2.2	0.02	60	132
111	2.22	0.02	60	105
112	2.24	0.02	60	110
113	2.26	0.02	60	127
114	2.28	0.02	60	124
115	2.3	0.02	60	113
116	2.32	0.02	60	95
117	2.34	0.02	60	86
118	2.36	0.02	60	98
119	2.38	0.02	60	113
120	2.4	0.02	60	86
121	2.42	0.02	60	81
122	2.44	0.02	60	92
123	2.46	0.02	60	77
124	2.48	0.02	60	66
125	2.5	0.02	60	57
126	2.52	0.02	60	59
127	2.54	0.02	60	63
128	2.56	0.02	60	60
129	2.58	0.02	60	56
130	2.6	0.02	60	51
131	2.62	0.02	60	47
132	2.64	0.02	60	42
133	2.66	0.02	60	33
134	2.68	0.02	60	28
135	2.7	0.02	60	31
136	2.72	0.02	60	49
137	2.74	0.02	60	42
138	2.76	0.02	60	39
139	2.78	0.02	60	34
140	2.8	0.02	60	30
141	2.82	0.02	60	21
142	2.84	0.02	60	24

**ตารางที่ 4 ผลการทดสอบหัววัดรังสี CsI (T1)
กับ เครื่องนับพัลส์รังสีเชิงพาณิชย์ (ต่อ)**

Channel	LLD (Volt)	DEL (Volt)	Time (sec)	Count
143	2.86	0.02	60	41
144	2.88	0.02	60	37
145	2.9	0.02	60	39
146	2.92	0.02	60	50
147	2.94	0.02	60	58
148	2.96	0.02	60	54
149	2.98	0.02	60	41
150	3	0.02	60	69
151	3.02	0.02	60	72
152	3.04	0.02	60	78
153	3.06	0.02	60	96
154	3.08	0.02	60	113
155	3.1	0.02	60	138
156	3.12	0.02	60	136
157	3.14	0.02	60	164
158	3.16	0.02	60	141
159	3.18	0.02	60	210
160	3.2	0.02	60	211
161	3.22	0.02	60	261
162	3.24	0.02	60	262
163	3.26	0.02	60	270
164	3.28	0.02	60	304
165	3.3	0.02	60	300
166	3.32	0.02	60	278
167	3.34	0.02	60	328
168	3.36	0.02	60	307
169	3.38	0.02	60	293
170	3.4	0.02	60	292
171	3.42	0.02	60	291
172	3.44	0.02	60	284
173	3.46	0.02	60	260
174	3.48	0.02	60	307
175	3.5	0.02	60	272
176	3.52	0.02	60	253
177	3.54	0.02	60	215

ตารางที่ 4 ผลการทดลองหัววัดรังสี CsI (T1)

กับ เครื่องนับพัลส์รังสีเชิงพาณิชย์ (ต่อ)

Channel	LLD (Volt)	DEL (Volt)	Time (sec)	Count
178	3.56	0.02	60	211
179	3.58	0.02	60	165
180	3.6	0.02	60	162
179	3.58	0.02	60	165
180	3.6	0.02	60	162
181	3.62	0.02	60	131
182	3.64	0.02	60	117
183	3.66	0.02	60	121
184	3.68	0.02	60	113
185	3.7	0.02	60	93
186	3.72	0.02	60	87
187	3.74	0.02	60	54
188	3.76	0.02	60	69
189	3.78	0.02	60	64
190	3.8	0.02	60	58
191	3.82	0.02	60	33
192	3.84	0.02	60	28
193	3.86	0.02	60	29
194	3.88	0.02	60	27
195	3.9	0.02	60	23
196	3.92	0.02	60	20
197	3.94	0.02	60	18
198	3.96	0.02	60	12
199	3.98	0.02	60	18
200	4	0.02	60	11
201	4.02	0.02	60	10
202	4.04	0.02	60	8
203	4.06	0.02	60	3
204	4.08	0.02	60	7
205	4.1	0.02	60	5
206	4.12	0.02	60	3
207	4.14	0.02	60	0
208	4.16	0.02	60	0
209	4.18	0.02	60	0
210	4.2	0.02	60	0